

Y POLITECHNICZNE KRAKÓW

BLIOTEKA GŁÓWNA

1951

K. SKIBIŃSKI

OLITECHNIKI LWOWSKIEJ

RÓWNOWAGA SYPKICH MATERJAŁÓW

LWÓW MCMXXII

NAKŁADEM KSIĘGARNI NAUKOWEJ

POLSKIE TWO PEDAGOG., LWÓW — M. ARCT, WARSZAWA

KSIĘGARNIA POLSKA

S. Sławomirski

INŻ. K. SKIBIŃSKI

HON. PROFESOR POLITECHNIKI LWOWSKIEJ

RÓWNOWAGA
SYPKICH MATERJAŁÓW

WYDAWNICTWO SUBWENCJONOWANE PRZEZ MINISTERSTWO WYZNAŃ RELIGIJ,
NYCH I OŚWIECENIA PUBLICZNEGO ORAZ MINISTERSTWO ROBÓT PUBLICZNYCH

LWÓW MCMXXII

NÁKŁADEM KSIĘGARNI NAUKOWEJ

POLSKIE TWO PEDAGOG. — LWÓW — M. ARCT — WARSZAWA

BIBLIOTEKA POLITECHNICZNA
KRAKÓW

ZASTRZEGA SIĘ PRAWO TŁÓMACZENIA NA OBCE JĘZYKI

1951

Akc. Nr. _____

617/49

Na niniejsze dzieło składają się w różnych czasach pisane rozprawy. I. rozdział jest to rozszerzona, przed dłuższym czasem drukiem ogłoszona rozprawa*). II. rozdział, wykończony jeszcze z początkiem 1917 r., nie mógł być ogłoszony z powodu trudności wywołanych wojną. III. rozdział był wykończony w r. 1918.

Na tem miejscu chcę wyraźnie zaznaczyć, jako odpowiedź na wzmiankę uczynioną po ogłoszeniu powyższej rozprawy, że nie ustawiłem nowej teorii parcia ziemi. Rozpatrywałem jedynie stosunki równowagi zespołu kulowego, a na podstawie studjum przeprowadzonego nad doświadczeniami robionemi z piaskiem, badałem o ile wyniki otrzymane przy zespole kulowym dadzą się zużytkować do wyznaczenia parcia ziemi w spokoju.

Te wyniki dały pochop do badania stosunków równowagi materiału spoistego w II., a budowli podziemnych w III. rozdziale.

Jako zastosowanie teorii w tem dziele rozwiniętych ukaże się równocześnie studjum o murach oporowych i podporowych, jakoteż o przyczółkach mostowych.

Lwów 1918 r.

*) Wochenschrift f. d. oeffentl. Baudienst. Zeszyty 48. do 50, z r. 1916 i zeszyt 17. z r. 1917.

Równowaga materiałów sypkich niespoistych.

Wstęp. Od kilku dziesiątków lat istnieje teoria parcia ziemi, dająca po dzień dzisiejszy podstawę do wykonania znakomitych budowli inżynierskich. Ona jednak nie zadowala, gdyż jej wyniki nie są zgodne z prawami statyki, a tylko w najprostszych przypadkach są zgodne z doświadczeniami, zaś kwestji największego parcia ziemi — parcia w spokoju — nie rozwiązują.

Później pracowali najtężsi teoretycy nad rozwiązaniem tego zagadnienia i ustawili inne teorie, które jednak wykazały jeszcze większą niezgodność, a ich obszar zastosowania był jeszcze bardziej ścieśniony.

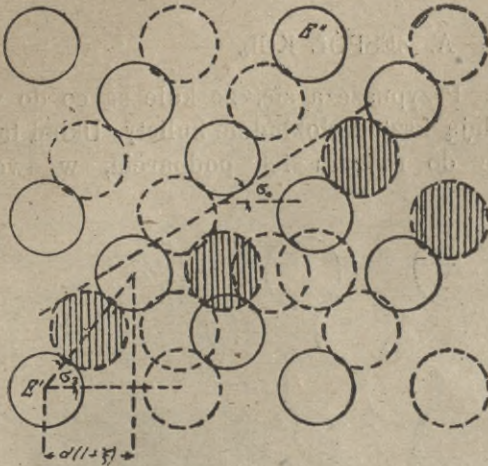
Przyczyny tych objawów należy w tem szukać, że materiał sypki chciano uważać jako stan fizyczny, pośredni między stałym a płynnym, dla którego daremnie starano się ustalić prawa międzycząstkowe, zamiast uważać każde ziarno jako ciało stałe i badać jego oddziaływanie na sąsiednie ziarna. W tym celu trzeba dla ziarna przyjąć postać geometrycznie określoną, a na taką nadaje się oczywiście jedynie kula. Próby takiego badania nad zbiorowiskiem kul pozostały jednak w stadium początkowem i tylko dozwalały wnioskować, że tą drogą możnaby dojść do rozwiązania zagadnienia.

Jeszcze bardziej sprawa się zaciemniła, gdy Müller-Breslau w dziele z r. 1906 ogłosił swoje doświadczenia, gdyż one do istniejących dodały nowe niewyjaśnione objawy.

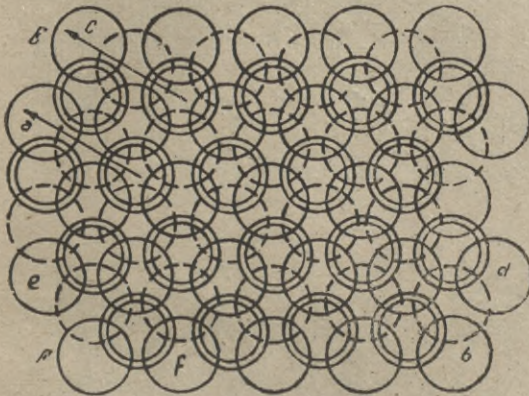
Te doświadczenia*) były głównie powodem, że postanowiłem ponowić badania nad zespołem kul. Te badania, już dla tego zespołu interesujące, mają jeszcze tę ważniejszą wartość, że niejeden objaw z dziedziny parcia ziemi wyjaśniają, a do

*) Niestety nie zostały dotychczas ogłoszone dalsze zapowiedziane doświadczenia.

Rycina 3. przedstawia układ B, w którym każda kula jest tylko dwoma kulami podparta. Tu powstają samodzielne rzędy



w kierunku JK. Podług stosunku odległości kul tych rzędów następuje podparcie kul w rzędach JK lub JL. Tylko wtedy, gdy te odległości są równe, następuje układ symetryczny, w którym każda kula na czterech kulach spoczywa. W tym wyjątkowym wypadku jest układ B stały.



Rycina 2.

W następnym oznaczymy układ A jako stały, układ B jako niestały.

§ 2. *Gęstość zespołu.* Tak gęsty układ, żeby wszystkie kule się dotykały, nigdy nie nastąpi*); przeciwnie okażą się większe lub mniejsze odstęp kul, stosownie do luźnie usypanego, lub do zgęszczonego zespołu. Oznaczmy literą d średnicę kul, to ζd niech oznacza wolną przestrzeń między kulami, tak że odstęp środków kul wyniesie $d(1 + \zeta)$. Ilość ζ nazwiemy modułem gęstości.

*) Wspomniana próba badania nad zespołem kul, właśnie dlatego nie doprowadziła do możliwego wyniku, że taki gęsty układ wprowadzono.

Jeżeli w zespole, jak przy układzie B, są w dwóch kierunkach różne odstępki kul, to ten drugi odstępki środków kul oznaczymy przez $d(1 + \zeta_1)$.

Moduł gęstości ma miarodajny wpływ na stosunki równowagi zespołu. Później zobaczymy, jaką wartość w danym wypadku dla ζ obrać należy; tymczasem oznaczymy prawdopodobne granice tej ilości. Trudno przypuścić, żeby przy luźnym sypianiu ζ mogło wynosić więcej niż 0.15, zaś przy silnem ubijaniu mniej niż 0.05. W następstwie te granice jeszcze bardziej się zacieśniają.

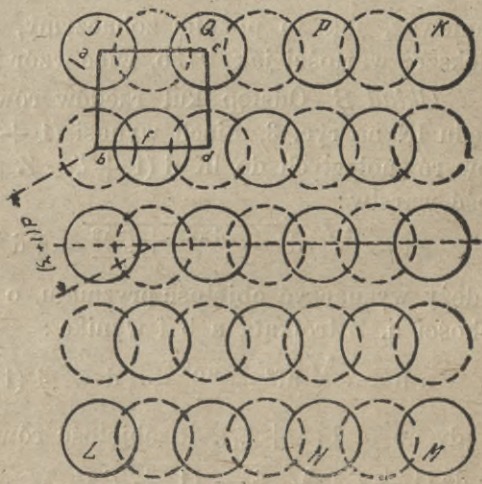
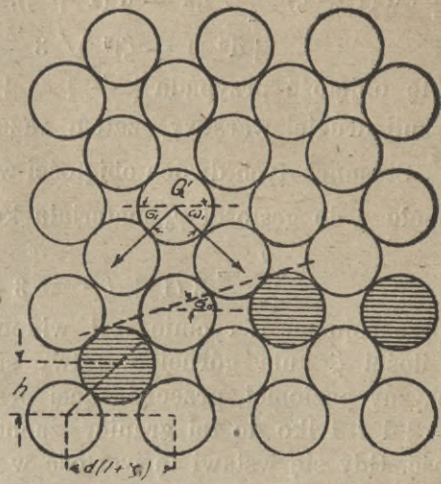
Na gęstość γ zespołu wpływa tak gęstość γ_0 materiału kul, jak też rodzaj układu.

Układ A. Środki trzech obok siebie położonych kul jednej warstwy tworzą trójkąt równoramienny o długości $d(1 + \zeta)$ boku. Z ryciny 1. wynika wprost:

$$oo_1 = \frac{oe}{2 \cos 30^\circ} = \frac{d(1 + \zeta)}{\sqrt{3}}$$

a wysokość h warstwy:

$$1. \quad h = \sqrt{d^2 - oo_1^2} = \frac{d\sqrt{3 - (1 + \zeta)^2}}{\sqrt{3}}$$



Ryc. g.

W pryzmacie, którego podstawa $g h i k$, a wysokość h jest $gh = d(1 + \zeta) \frac{\sqrt{3}}{2}$, $gk = d(1 + \zeta)$, zatem objętość pryzmatu

$$\frac{1}{3} d^3 (1 + \zeta)^2 \sqrt{3 - (1 + \zeta)^2}$$

Na tę objętość przypada $\frac{1}{4} + \frac{3}{8} = \frac{5}{8}$ kuli najniższej warstwy i $\frac{3}{8}$ kuli drugiej warstwy, zatem razem cała kula o objętości $\frac{\pi d^3}{6}$. Stosunek tych dwóch objętości wyznacza stosunek gęstości zespołu γ do gęstości γ_0 materiału kul, a mianowicie:

$$2. \quad \frac{\gamma}{\gamma_0} = \frac{\pi}{3(1 + \zeta)^2 \sqrt{3 - (1 + \zeta)^2}}$$

Z przekroju na 1. rycinie jest widoczne, że ze zwiększaniem się ilości ζ kula górnej warstwy się obniża, aż dotknie płaszczyzny poziomej, przechodzącej przez środki kul. Wtedy jest $h = \frac{1}{2} d$ i tylko do tej granicy zachowuje powyższy wzór ważność. Gdy się wstawi tę wartość w wzór 1, to będzie

$$3 - (1 + \zeta)^2 \leq \frac{3}{4}, \text{ albo } (1 + \zeta) \leq 1.5$$

Ponieważ, jak to później zobaczymy, $(1 + \zeta)$ nie przybierze większej wartości jak 1.135, więc wzór 2. będzie zawsze ważny.

Układ B. Odstęp kul rzędów równoległych do ukośnego rzędu IN na ryc. 3, niech wynosi $(1 + \zeta)$, zaś odstęp kul rzędów równoległych do IK $d(1 + \zeta_1)$. Z przekroju wynika wysokość warstw:

$$3. \quad h = \sqrt{d^2 - \frac{d^2(1 + \zeta_1)^2}{4}} = \frac{1}{2} d \sqrt{4 - (1 + \zeta_1)^2}$$

Należy wyznaczyć objętość pryzmatu, o podstawie $a b c d$ i wysokości h . Z trójkąta $a b f$ wynika:

$$\overline{a b} = \sqrt{\overline{a f^2} - \overline{a c^2}} = \frac{1}{2} d \sqrt{4(1 + \zeta)^2 - (1 + \zeta_1)^2}$$

a gdy $\overline{a c} = d(1 + \zeta_1)$, to objętość równa

$$\frac{1}{3} d^3 (1 + \zeta_1) \sqrt{4 - (1 + \zeta_1)^2} \sqrt{4(1 + \zeta)^2 - (1 + \zeta_1)^2}$$

Na tę objętość wypada $\frac{3}{8} + \frac{1}{8}$ kuli najniższej i tyleż kuli następnej wyższej warstwy, więc razem jedna kula, zatem

$$4. \quad \frac{\gamma}{\gamma_0} = \frac{2\pi}{3(1 + \zeta_1) \sqrt{4 - (1 + \zeta_1)^2} \sqrt{4(1 + \zeta)^2 - (1 + \zeta_1)^2}}$$

Ten wzór zatrzymuje również ważność do granicy

$$h \geq \frac{d}{2}, \text{ czyli } 1 + \zeta, \leq \sqrt{3} \leq 1.732$$

Pomiędzy ζ a ζ_1 istnieje zależność. Może być $(1 + \zeta_1)^2 \leq 2(1 + \zeta)^2$. Gdy lewa strona jest mniejszą od prawej, to podparcie kul następuje w rzędach do IK równoległych, a gdy jest większą, to podparcie istnieje w rzędach równoległych do IL. Jeżeli obie strony są równe, to każda kula spoczywa na czterech kulach i wtedy jest układ stały. Dla tego przypadku jest

$$5. \quad \frac{\gamma}{\gamma_0} = \frac{\pi}{3 \sqrt{2}(1 + \zeta)^2 \sqrt{2 - (1 + \zeta)^2}}$$

Ten wzór wyznacza największą wartość dla układu B, nawet cokolwiek większą, niż wynika z wz. 2, jednakże przy drobnej zmianie ilości ζ_1 wypada gęstość równa lub mniejsza.

§ 3. Luźne sypanie i zgęszczenie.

a. Luźno usypane kule. Tak dokładne układy, jak je przedstawiają ryciny 1., 2 i 3. nigdy nie nastąpią w luźnie usypanym zespole. Układy A i B znajdują się pomieszane, przyczem układ A, jako stały, będzie przeważać. Następnie znajdują się próżne miejsca, otoczone niestałe ułożonemi kulami, które spowodują mniejszą gęstość niż tę, którą wyznaczają wz. 2. i 4. Ponieważ tworzenie się próżnych miejsc jest przypadkowe, więc tem bardziej będą ilości γ dla tego samego materiału się różnić i mogą być tylko przez pomiar wyznaczone. Stanowczo można tylko twierdzić, że w dolnych warstwach przesypanych górnemi mniej się znajdzie niestałych układów i próżni, że zatem te warstwy okażą większą gęstość i większe zbliżenie do stałego układu A. Przy sypaniu w ukośnych warstwach niestałe układy i próżnie nie zdołają się wytworzyć, zatem gęstość będzie większa i jednostajniejsza niż przy poziomem usypaniu.

b. Usypanie zgęszczane. Jeżeli każdą warstwę poddamy ubijaniu, to kule górnej warstwy wcisną się pomiędzy kule dolnej, a wtedy odstęp kul ζ d przeważnie zniknie. Ponieważ ani niestałe układy ani próżnie wytworzyć się nie mogą, to wytworzy się przeważnie stały układ A, z wartością ζ mało różniącą się od zera. Tabela I. okazuje, że przez ubijanie można uzyskać 12% zwiększenia gęstości.

§ 4. Rozkład ciśnień we wnętrzu zespołu. Kąt rozdzielczy τ . Ciężar kuli rozkłada się przy układzie A symetrycznie na trzy, przy układzie B na dwie składowe na kule podpierające. W ten

sposób każda kula otrzymuje od kul górnych trzy, względnie dwie składowe ciężaru kul. Ponieważ przyjmujemy, że te składowe są symetrycznie ułożone, to ich wypadkowa jest pionowa, zaczem w zespole kul górą poziomo odgraniczonym i na wszystkie strony nieograniczonym, przenoszą się tylko pionowe ciśnienia od warstwy do warstwy.

Nachylenie owych składowych ma w następstwie wielkie znaczenie. Kąt, który one zawierają z poziomem, nazwiemy kątem rozdzielczym i oznaczymy go literą τ .

Dla układu A wynika z ryc. 1., że kąt w przekroju oznaczony przez σ_1 równa się kątowi rozdzielczemu. Z warunku, że $\tan \sigma_1 = h : oo_1$, wynika

$$6. \quad \tan \tau_a = \frac{\sqrt{3 - (1 + \zeta)^2}}{1 + \zeta}$$

Przyjmijmy, że w układzie B podparcie kul następuje w rzędach równoległych do IK, więc jest $(1 + \zeta_1)^2 < 2(1 + \zeta)^2$, to w przekroju ryc. 3. jest σ_1 także równe kątowi rozdzielczemu, którego

$$7. \quad \tan \tau_b = \frac{\sqrt{4 - (1 + \zeta_1)^2}}{1 + \zeta_1}$$

Dla symetrycznego układu na czterech kulach otrzyma się, po wstawieniu $(1 + \zeta_1) = (1 + \zeta) \sqrt{2}$

$$8. \quad \tan \tau_b = \frac{\sqrt{2 - (1 + \zeta)^2}}{1 + \zeta}$$

jako najmniejszą wartość dla układu B; jest ona znacznie mniejszą niż w układzie A.

Z powyższego wynika, że wielkość kąta rozdzielczego zależy od rodzaju układu i od ζ .

§ 5. *Skarpa zespołu. Kierunki.* Na równowagę skarpy wpływa: 1. rodzaj układu; 2. moduł gęstości ζ ; 3. kierunek stopy skarpy względem układu. Rozpatrzmy na razie ten ostatni wpływ.

Układ A. Jeżeli się przypatrzymy trzem kulom, stanowiącym podporę górnej kul w układzie A, to zobaczymy na ryc. 4. trzy charakterystyczne położenia stopy skarpy, stycznie do kul poprowadzone, które nazwiemy kierunkami. Prostopadłe do trzech osi symetrii, poprowadzonych przez środki kul, przebiega kierunek AI, AI' i AI"; stycznie do dwóch kul kierunki

AII, AII' i AII''; nareszcie kierunek AIII (AIII', AIII'') stoi prostopadle do linii łączących środki dwóch kul. Na ryc. 1. spada kierunek stopy skarpy AI z prostą AC po lewej, AII z BD po prawej stronie rzutu układu, zaś na ryc. 2. AIII z prostą EF. Takie same kierunki posiadają proste tworzące z poprzecznymi kąt 120°.

Układ B. Na ryc. 3. spada kierunek BI z prostą JK lub KM, zależnie od tego, czy podparcie kul następuje według prostej prostopadłej

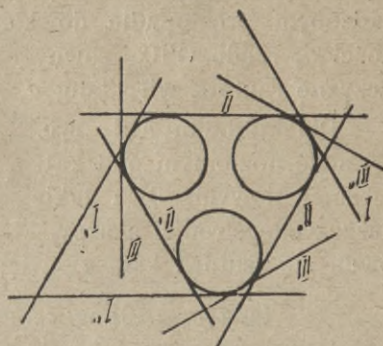
do JK lub do KM. Kierunek BII podług LP lub JN.

Możnaby jeszcze odróżnić kierunki JK lub JL, jeżeli podparcie kul w równoległej do tych prostych następuje. Wtedy wytwarzają się jednakże wzdłuż skarpy pionowe odosobnione rzędy, niemożliwe do utrzymania stanu równowagi, dlatego tych kierunków nie uwzględnimy.

§ 6. *Stroma skarpa. Kąt stromości σ .* Gdy na ryc. 1. prostopadle do kierunku AI stopy skarpy wykonamy przekrój III, to się ukażą ukośne rzędy jak A'A'', nachylone pod jednakowym kątem. Jeżeli usuniemy kule nad taką warstwą się znajdujące, to powstanie podług A'A'' nachylona skarpa, która utrzyma się w równowadze. Każda na powierzchni tej skarpy położona kula, jak Q, Q', przenosi jedną podług kąta τ nachyloną składową swego ciężaru ku A', zatem wszystkie na powierzchni skarpy leżące kule są pod ciśnieniem, stale ku dołowi wzrastającym.

Taką skarpe nazwiemy *stromą* a jej kąt nachylenia do poziomu kątem *stromości*, oznaczonym stale literą σ . Dla kierunku AI jest $\sigma_1 = \tau_a$. Dwie pozostałe składowe ciężaru kuli Q, Q' jakoteż każdej kuli na stromej skarpie położonej, przebiegają w wnętrze zespołu.

Dla kierunku AII (ryc. 1.) okażą się dwa względem tego kierunku symetrycznie ułożone, w rzucie poziomym pod kątem 30° nachylone rzędy GH i GJ w rzucie poziomym, a G'H' w rzucie



Ryc. 4.

łowym, zresztą takie same rzędy jak A'A"; w ich kierunkach leżą składowe ciężaru kul. Ponieważ te rzędy są również nachylone pod kątem rozdzielczym τ_a , to w przekroju II I, poprowadzonym prostopadłe do kierunku AII, występuje kąt stromości σ_2 rzędu G'H', równy rzutowi kąta τ_a na pionową płaszczyznę rzutów, więc $\text{tang } \sigma_2 = \text{tang } \tau_a \sec 60^\circ = 2 \text{ tang } \tau_a$.

Dla kierunku AIII (ryc. 2.) okazują się rzędy, nachylone w rzucie poziomym pod kątem 60° do stopy skarpy, jak E'E'' w rzucie łowym. Dwa takie rzędy, jak ab i ef wyznaczają płaszczyznę stromej skarpy, której nachylenie w przekroju E'E'' równa się rzutowi kąta τ_a , więc

$$\text{tang } \sigma_3 = \text{tang } \tau_a \sec 30^\circ = \frac{2 \text{ tang } \tau_a}{\sqrt{3}}$$

Stosunek $\text{tang } \sigma_1 : \text{tang } \sigma_2 : \text{tang } \sigma_3 = 1 : 2 : (2 : \sqrt{3})$.

Dla układu B i kierunku I jest $\sigma_1 = \tau_b$. Dla kierunku BII jest σ_2 rzutem kąta τ_b . A gdy podparcie następuje na czterech kulach, to $\text{tang } \sigma_2 = \text{tang } \tau_b \sqrt{2}$.

Jeżeli za $\text{tang } \tau$ wstawi się wartości z wz. 6. i 8., to się otrzyma następujące wzory:

Układ A:

$$9. \quad \left\{ \begin{array}{l} \text{Kierunek I, I' lub I'' : } \text{tang } \sigma_1 = \frac{\sqrt{3 - (1 + \zeta)^2}}{1 + \zeta} \\ \text{„ II, II' lub II'' : } \text{tang } \sigma_2 = \frac{2\sqrt{3 - (1 + \zeta)^2}}{1 + \zeta} \\ \text{„ III, III' lub III'' : } \text{tang } \sigma_3 = \frac{2\sqrt{3 - (1 + \zeta)^2}}{(1 + \zeta)\sqrt{3}} \end{array} \right.$$

Układ B:

$$10. \quad \left\{ \begin{array}{l} \text{Kierunek I, I' : } \text{tang } \sigma_1 = \frac{\sqrt{4 - (1 + \zeta_1)^2}}{1 + \zeta_1} \\ \text{Układ symetryczny :} \\ \text{Kierunek II, II' : } \text{tang } \sigma_2 = \frac{\sqrt{2}\sqrt{2 - (1 + \zeta)^2}}{1 + \zeta} \end{array} \right.$$

Dla układu A obrachowane wartości, są zestawione w III. tabeli.

Skarpa nachylona pod kątem stromości znajduje się teoretycznie w stanie stałej równowagi. Jednakże ukośne na jej powierzchni położone rzędy, znajdują się, jak widzieliśmy, pod

ciśnieniem stale ku dołowi wzrastającym, zaczem niedokładny kształt kulisty, lub choćby drobny wpływ zewnętrzny mogą tą równowagę zniweczyć. Skarpa stromości znajduje się zatem na granicy równowagi, więc nie może być skarpią stałej równowagi, ma jednak dla zespołu inne bardzo ważne znaczenie.

§ 7. *Skarpa równowagi. Kąt σ_0 .* Skarpą równowagi nazwiemy skarpię nachyloną pod największym kątem, pod którym jej zupełna równowaga jest zapewniona. Gdy, jak poprzednio wykazano, stroma skarpa dlatego nie jest stałą, że kule na jej powierzchni znajdują się pod ciśnieniem, to tylko wtedy uzyska się zupełnie stałą skarpię, jeżeli na niej ułożone kule nie będą podlegać żadnemu ciśnieniu, a przytem układ kul będzie taki, żeby trzeba użycia siły zewnętrznej dla naruszenia ich równowagi.

Dla każdego układu, a w nim dla każdego kierunku można taką skarpię wyznaczyć. Ona jest ułożona w stopniach. Jej kąt nachylenia nazwiemy kątem równowagi i oznaczymy literą σ_0 . Na ryc. 1. i 2 jest ta skarpa uwydatniona kreskowanemi kulami. Kropkowane wyciągnięte kule na ryc. 1. nie znajdują się w przekroju. Kule skarpy nie doznają żadnego obciążenia, a tylko z wysiłkiem można je ruszyć z miejsca.

Podług rycin wyznaczy się dla kąta σ_0 następujące wartości:

$$11. \begin{cases} \text{AI : } \operatorname{tang} \sigma_0 = 0.4 \operatorname{tang} \sigma_1 = \frac{0.4 \sqrt{3 - (1 + \zeta)^2}}{1 + \zeta} \\ \text{AII : } \operatorname{tang} \sigma_0 = 0.25 \operatorname{tang} \sigma_2 = \frac{\sqrt{3 - (1 + \zeta)^2}}{2(1 + \zeta)} \\ \text{AIII : } \operatorname{tang} \sigma_0 = 0.5 \operatorname{tang} \sigma_3 = \frac{\sqrt{3 - (1 + \zeta)^2}}{(1 + \zeta) \sqrt{3}} \end{cases}$$

Stosunek jak 1 : 1.25 : 1.45.

Obrachowane wartości okazuje III. tabela.

Dla BI:

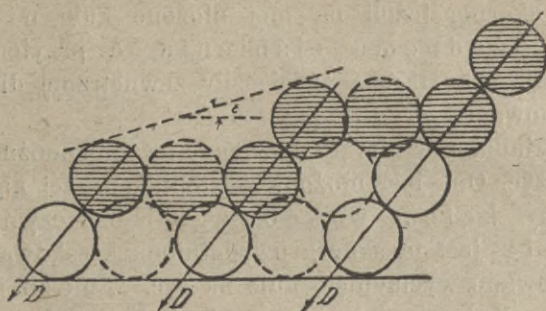
$$11. a. \quad \operatorname{tang} \sigma_0 = \frac{1}{3} \operatorname{tang} \sigma_1 = \frac{\sqrt{4 - (1 + \zeta_1)^2}}{3(1 + \zeta_1)}$$

Gdy w wzór 11. wstawi się za ζ powyżej ustanowione wartości dla luźno sypanego i dla zgęszczonego zespołu, to się otrzyma:

dla $\zeta = 0.05 : \sigma_0 = 27^{\circ}40'$ do $37^{\circ}8'$, średnio $32^{\circ}24'$
 dla $\zeta = 0.15 : \sigma_0 = 24^{\circ}15'$ do $33^{\circ}2'$, średnio $28^{\circ}30'$.

W rzeczywistości może kąt σ_0 otrzymać większą wartość, gdyż dla każdego kąta między tą wartością a kątem stromości jest równowaga możebna, lecz mniej pewna. Tym stromszym skarpom będzie równowaga zapewniona, skoro na powierzchnię skarpy będzie wywarty choćby nie wielki nacisk.

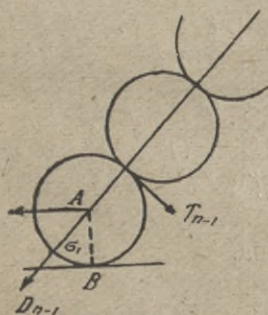
Z powyższego wynika, że na równowagę skarpy wpływa jedynie wzajemny układ kul, natomiast jest ona od kąta tarcia materiału kul zupełnie niezależna.



Ryc. 5.

Należy jeszcze zauważyć, że od każdej naróżnej kuli stopnia skarpy przebiega jedna składowa (lub dwie przy układzie AII) jej ciężaru aż do podstawy, gdyż brakuje

śsiedniej kuli, której składowa mogłaby dać z nią wypadkową pionową. Na ryc. 5. jest ta składowa D dla układu AI uwidoczniiona.



Ryc. 6.

§ 8. *Równowaga zeskarpowanego zespołu na jego podstawie.* Przystępujemy do zbadania warunków, pod jakimi może istnieć równowaga zeskarpowanego zespołu na podstawie, na której spoczywa. Rozpatrzmy naprzód skarpe stromą.

Na ryc. 6. przedstawiono dolną część stromej skarpy dla układu AI. Jeżeli zespół posiada n poziomych warstw, to na dolną kulę jest wywarte ciśnienie składowych $n-1$ ciężarów K kul. Kąt

stromości σ_1 dla tego układu równa się kątowi rozdzielczemu τ , zaś suma składowych

$$D_{n-1} = \frac{(n-1)K}{3 \sin \sigma_1}$$

Równowaga dolnej kuli może być naruszona albo przez stoczenie się, albo przez przesunięcie.

Stoczenie. Siła D_{n-1} działająca w A wywiera około punktu B moment stoczenia $D_{n-1} \frac{d}{2} \cos \sigma_1$. Temu momentowi przeciwstawia się moment tarcia T_{n-1} . Jeżeli r oznacza współczynnik tarcia materiału kul, to $T_{n-1} = r D_{n-1}$, zaś ramię momentu tarcia względem B równa się $\frac{d}{2} (1 + \sin \sigma_1)$. Zatem równanie równowagi:

$$D_{n-1} \frac{d}{2} \cos \sigma_1 \leq D_{n-1} \frac{d}{2} r (1 + \sin \sigma_1)$$

z którego wynika:

$$12. \quad r \geq \frac{\cos \sigma_1}{1 + \sin \sigma_1} = \frac{1 + \zeta}{\sqrt{3} + \sqrt{3 - (1 + \zeta)^2}} \quad (\text{podług wz. 9.})$$

jako najmniejsza wartość potrzebna dla utrzymania równowagi. Ona jest od ilości warstw niezależna.

Otrzymuje się dla

$$12 \text{ a.} \quad \begin{cases} \zeta = 0.05 & 0.10 & 0.15 \\ r \geq 0.338 & 0.358 & 0.380 \end{cases}$$

Przesunięcie. Jeżeli ciśnienie D_{n-1} w punkcie środka dolnej kuli rozłożymy na pionową i poziomą składową, to pierwsza równa się $\frac{(n-1)K}{3}$, zaś druga równa $\frac{(n-1)K}{3} \cotang \sigma_1$ jest siłą, która stara się kulę przesunąć. Jej opiera się pozioma składowa tarcia T_{n-1} , równa $D_{n-1} r \sin \sigma_1 = \frac{(n-1)K}{3} r$ i tarcie na podstawie, pochodzące z powyższej pionowej składowej, zwiększonej o ciężar dolnej kuli. Oznaczmy literą r_1 współczynnik tarcia między kulą a podstawą, to istnieje warunek:

$$\frac{(n-1)K}{3} \cotang \sigma_1 \leq \frac{(n-1)Kr}{3} + \left[\frac{(n-1)K}{3} + K \right] r_1, \text{ lub}$$

$$13. \quad r + \frac{n+2}{n-1} r_1 \geq \cotang \sigma_1$$

Podług tego wzoru otrzyma się przeciw przesunięciu:

$$13 \text{ a.} \quad \begin{cases} \text{dla } \zeta = & 0.05 & 0.10 & 0.15 \\ r + \frac{n+2}{n-1} r_1 \geq & 0.762 & 0.822 & 0.888 \end{cases}$$

Wzór 13. pokazuje, że równowaga nawet dla $r_1 = 0$, to znaczy na zupełnie gładkiej podstawie istnieć może, jeżeli współczynnik tarcia r kul otrzyma odpowiednio wysokie wartości

z wz. 13 a. Natomiast r nie może otrzymać wartości mniejszych, niż wynikają z wz. 12. Jeżeli wartości liczebne wz. 12 a. odejmiemy od wartości wz. 13 a., to przy tych najmniejszych wartościach dla r musi wyraz $\frac{n+2}{n-1} r_1$ otrzymać większe wartości niż

$$13 \text{ b. } \begin{cases} \text{dla } \zeta = & 0\cdot05 & 0\cdot10 & 0\cdot15 \\ \frac{n+2}{n-1} r_1 > & 0\cdot424 & 0\cdot464 & 0\cdot508 \end{cases}$$

Jeżeli są tylko dwie warstwy kul ($n=2$), to dla r_1 wystarczy czwarta część tych wartości; jeżeli zaś n jest wielkie, to wyraz $\frac{n+2}{n-1}$ zbliża się do jedności, a wtedy r_1 otrzyma wartości wykazane wz. 13 b. Gdy r jest większe i wynosi np. dla kwarcu 0·6, wtedy r_1 otrzymuje małe wartości między 0·162 a 0·288.

Powyższe badanie odnosiło się do stromej skarpy. Dla skarpy równowagi (σ_0) wchodzi w grę nacisk tylko jednej kuli (ryc. 5.), to znaczy $n=2$, więc bardzo korzystne. Przeciw stoczeniu pozostaje wz. 12.

Dla kierunków AII i AIII jest σ większe, zatem stosunki korzystniejsze niż dla AI.

Dla układu B otrzymuje się większe wartości dla r i r_1 , lecz ten układ w dolnych warstwach nie może powstać.

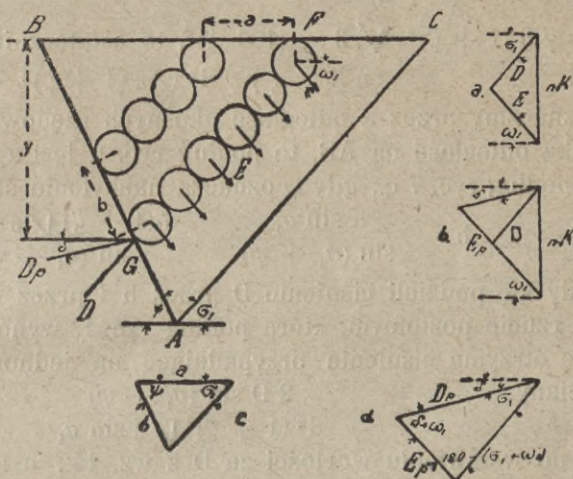
Jeżeli podstawa jest o $p\%$ na zewnątrz pochyłona, to powyżej otrzymane wartości o około $p\%$ się zwiększą.

§ 9. *Ciśnienie zespołu kul na ścianę dowolnie nachyloną, przy poziomem odgraniczeniu powierzchni.* Różne układy i różne kierunki, jakie wprowadzono do poprzednich badań, wchodzi także w grę przy wyznaczeniu ciśnienia zespołu na ścianę. Na razie przyjmujemy poziome odgraniczenie powierzchni.

Widzieliśmy, że ciężar każdej kuli rozkłada się na dolne kule podpierające za pomocą składowych nachylonych pod kątem rozdzielczym τ . Te składowe zwiększają się stosownie do ilości warstw. Przeto powstają w kierunku składowych ukośne rzędy kul. W nieograniczonym zespole takie ukośne rzędy nie uwydatnią się, gdyż składowe działające na kulę składają się na pionowe ciśnienie (§ 4.). Jeżeli jednak część zespołu oddzieli się za pomocą ściany, to odpadają kule, które przyjmowały ciśnienie ukośnych rzędów, wtedy to ciśnienie przenosi się na ścianę. Ono jest proporcjonalne do ilości warstw składających się na rząd, zresztą zależne od układu i od wartości ζ . Opór ściany zależy oprócz tego od jego nachylenia do ściany.

Układ A, kierunek I. Ukośny, pod kątem stromości σ_1 nachylony rząd przekroju III na ryc. 1, jest przedstawiony na FG ryc. 7. Gdy tu jest $\sigma_1 = \tau$, to w ten rząd wpada składowa ciężaru kul. Dalsze

dwie składowe każdej kulirzędu przebiegają aż do stromej płaszczyzny AC. Na każdą kulę tej płaszczyzny działają one parami, symetrycznie względem płaszczyzny przekroju ułożonymi; one się łączą w wypadkową (rzut poziomy ryc. 1. koło B),



Ryc. 7.

którą nazwiemy przeciwskładową i oznaczymy literą ω_1 , jej nachylenie do poziomu. Z wyznaczenia kąta σ_2 w § 6. wynika, że $\sigma_2 = \omega_1$, że zatem $\tan \omega_1 = 2 \tan \tau_a$.

Jeżeli na wysokość y ściany przypada n warstw, to należy n ciężarów K kul na składowe rozłożyć. Składowa ma wartość

$\frac{n K}{3 \sin \tau_a}$, a ponieważ $\sigma_1 = \tau_a$, to i D posiada tę samą wartość. Sumę wszystkich rzędowi FG przynależnych przeciwskładowych oznaczymy literą E. Ciężar n K należy na D i E rozłożyć. Z trójkąta sił a. na ryc. 7. wynika:

$$14. D = n K \frac{\cos \omega_1}{\sin (\sigma_1 + \omega_1)}, E = n K \frac{\cos \sigma_1}{\sin (\sigma_1 + \omega_1)} = D \frac{\cos \sigma_1}{\cos \omega_1}$$

Inne wyrażenie dla tych ilości można uzyskać z warunku, że D podług $\frac{1}{3} n K$, zaś E podług $\frac{2}{3} n K$ się obrachowuje:

$$14 a. \quad D = \frac{n K}{3 \sin \sigma_1}, E = \frac{2 n K}{3 \sin \omega_1}$$

Porównanie tych dwóch wzorów doprowadza do wyniku powyżej podanego, że $\tan \omega_1 = 2 \tan \sigma_1$. Suma ciężarów kul

$$n K = \frac{n d^3 \pi \gamma_0}{6} = n d \frac{d^2 \pi \gamma_0}{6}. \text{ Z wz. 1. wynika, że } d =$$

$$= \frac{h \sqrt{3}}{\sqrt{3 - (1 + \zeta)^2}}, \text{ a gdy } nh = y, \text{ zaś podług wz. 2. } \pi \gamma_0 =$$

$$= \gamma 3 (1 + \zeta)^2 \sqrt{3 - (1 + \zeta)^2}, \text{ to ostatecznie}$$

$$15. \quad n K = \frac{1}{2} y \gamma d^2 \sqrt{3} (1 + \zeta)^2$$

Oznaczmy przez a odległość ukośnych rzędów na BC , przez b taką odległość na AB , to podług ryc. 1. jest $a = d (1 + \zeta) \sqrt{3}$, a podług ryc. 7 c., gdy ψ oznacza nachylenie ściany do poziomu

$$b = \frac{a \sin \sigma_1}{\sin (\sigma_1 + \psi)} = \frac{d (1 + \zeta) \sqrt{3} \sin \sigma_1}{\sin (\sigma_1 + \psi)}$$

Gdy się podzieli ciśnienie D przez b i przez odległość rzędów w rzucie poziomym, która podług ryc. 1. wynosi $\frac{1}{2} d (1 + \zeta)$, to się otrzyma ciśnienie przypadające na jednostkę kwadratową ściany:

$$\frac{2 D \sin (\sigma_1 + \psi)}{d^2 (1 + \zeta)^2 \sqrt{3} \sin \sigma_1}$$

a po wstawieniu wartości za D z wz. 14., a za $n K$ z wz. 15. otrzyma się

$$16. \quad y \gamma \frac{\cos \omega_1 \sin (\sigma_1 + \psi)}{\sin \sigma_1 \sin (\sigma_1 + \omega_1)}$$

Pomnożmy ten wyraz przez element długości ściany, t. j. przez

$\frac{dy}{\sin \psi}$ i zcałkujmy w granicach od zera do całkowitej wysokości

ściany H , to otrzymamy całkowite ciśnienie ΣD na jednostkę wgląb ściany, które nazwiemy X :

$$17. \quad X = \frac{H^2 \gamma}{2} \frac{\cos \omega_1 \sin (\sigma_1 + \psi)}{\sin \sigma_1 \sin (\sigma_1 + \omega_1) \sin \psi}$$

Podług wz. 14. jest $\Sigma E = \Sigma D \frac{\cos \sigma_1}{\cos \omega_1}$. Oznaczmy tę sumę na jednostkę ściany wgląb literą Y , to

$$17 a. \quad Y = X \frac{\cos \sigma_1}{\cos \omega_1}$$

Dolna kula rzędu FG , przylegająca do ściany, postradała przez włączenie ściany podparcie trzecią kulą. To podparcie uskutecznia ściana siłą D_p , działającą w tym punkcie, w którym dolna kula dotyka ściany i pod tem nachyleniem δ do poziomu, które odpowiada elementowi ściany podpierającemu kulę (ob. § 14). Druga podpierająca siła E_p pochodzi od dwóch pozosta-

łych podpierających kul, więc jest podobnie jak siła E nachylona pod kątem ω_1 (rys. 7 b.). Siły D_p i E_p są składowymi ciśnienia D, więc podług trójkąta sił d, na rys. 7. jest

$$18. \quad D_p = D \frac{\sin(\sigma_1 + \omega_1)}{\sin(\omega_1 + \delta)}, \quad E_p = D \frac{\sin(\sigma_1 - \delta)}{\sin(\omega_1 + \delta)}$$

Gdy się podstawią ΣD zamiast D, to się otrzyma ΣD_p i ΣE_p , które oznaczymy literami P i Y_p , wtedy

$$19. \quad P = X \frac{\sin(\sigma_1 + \omega_1)}{\sin(\omega_1 + \delta)}, \quad Y_p = X \frac{\sin(\sigma_1 - \delta)}{\sin(\omega_1 + \delta)}$$

gdą X podług wz. 17. P jest szukanem parciem na ścianę, zaś Y_p przezeń wywołanem ciśnieniem dodatkowem, obie rozumiane na jednostkę ściany wgląb. Można zauważyć, że Y_p zrówna się z zerem, lub nawet będzie ujemne, skoro nastąpi $\delta > \sigma_1$ dla małych wartości kąta ψ .

Układ A II. W przekroju III ryc. 1. jest D pod σ_2 E pod ω_2 nachylone, przytem $\omega_2 = \sigma_1$ a $\sigma_2 = \omega_1$. Zresztą przeprowadzenie w celu uzyskania wzorów jest takie same, tak że wzory 17. i 19. znajdują zastosowanie, gdy się wstawi σ_2 i ω_2 zamiast σ_1 i ω_1 .

Układ A III. W § 6. wykazano, że na kule na ryc. 2., przytkające do EF, przenoszą się ukośne ciśnienia w kierunku b a. Ukośne, pod tym samym kątem τ nachylone ciśnienia istnieją także wzdłuż EF. Na pionową ścianę rzędy EF nie wywierają ciśnienia, bo one są ułożone równoległe do ściany. Natomiast na pochyłonej ścianie nie mają bocznego oparcia, nie mogą przeto utrzymać się w równowadze. Zatem przy usypywaniu zespołu układ A III nie może się wytworzyć. Dla jedynego możliwego przypadku ściany pionowej, parcie na ścianę otrzymuje wartość pośrednią między parciem dla AI i AII, za-czem jest także bez znaczenia.

Układ B I. Ściana wzdłuż IL (ryc. 3.), a podparcie kul następuje w rzędach do niej prostopadłych. Przekrój wykazuje ukośne, pod kątem stromości nachylone rzędy. Kąt ω równy kątowi σ . Zresztą wzory 17. i 19. mają i tu zastosowanie. Ponieważ kąty σ i ω są małe, to parcie P i ciśnienie Y_p będzie większe jak w układzie A. Dla układu symetrycznego są te ilości znacznie mniejsze, jednakże ten układ nie wchodzi w grę, z powodu swojej wyjątkowości.

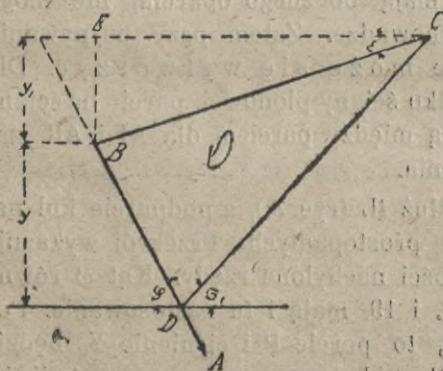
Układ B II. Ściana wzdłuż LP. Tu także istnieją ukośne ciśnienia wzdłuż ściany, więc utworzenie takiego układu jest z tych samych przyczyn niemożliwe, co przy układzie A III.

Z powyższego przedstawienia wynika, że dla wyznaczenia parcia na ścianę tylko układy AI, AII i BI są ważne, następnie, że dla każdego z tych układów i kierunków inne wartości dla kąta ω wynikają, mianowicie

$$20. \left\{ \begin{array}{l} \text{dla A, I, I', I'': } \operatorname{tang} \omega_1 = 2 \operatorname{tang} \tau_a = \frac{2 \sqrt{3 - (1 + \zeta)^2}}{1 + \zeta} \\ \text{dla A, II, II', II'': } \operatorname{tang} \omega_2 = \operatorname{tang} \tau_a = \frac{\sqrt{3 - (1 + \zeta)^2}}{1 + \zeta} \\ \text{dla B, I, I': } \operatorname{tang} \omega_1 = \operatorname{tang} \tau_b = \frac{\sqrt{4 - (1 + \zeta_1)^2}}{1 + \zeta_1} \end{array} \right.$$

Dalej okazuje się, że dla wszystkich trzech przypadków są ważne wzory 17. i 19. w następującej ogólnej postaci:

$$21. \left\{ \begin{array}{l} X = \frac{H^2 \gamma}{2} \frac{\cos \omega \sin(\sigma + \psi)}{\sin \sigma \sin(\sigma + \omega) \sin \psi}, \quad Y = X \frac{\cos \sigma}{\cos \omega} \\ Y_p = X \frac{\sin(\sigma - \delta)}{\sin(\omega + \delta)} \\ P = X \frac{\sin(\sigma + \omega)}{\sin(\omega + \delta)} = p H^2 \gamma, \\ \text{gdz } p = \frac{\cos \omega \sin(\sigma + \psi)}{2 \sin \sigma \sin(\omega + \delta) \sin \psi} \end{array} \right.$$



Ryc. 8.

Za σ i ω należy w te wzory wstawić wartości każdemu układowi przynależne podług wzorów 9., 10. i 20., lub też wyjąć z III. tabeli.

Zaznaczyć wypada, że wszystkie ilości w wz. 21. są od współczynnika tarcia niezależne.

§ 10. *Parcie na dowolnie pochylą ścianę, gdy powierzchnia zespołu jest pod kątem ϵ pochyloną płaszczyzną.* Nachylona powierzchnia zespołu wykazuje

Nachylona powierzchnia zespołu wykazuje

stopnie, więc parcie musi przy zmianie stopnia doznać skoku. Czem mniejsza średnica kul, tem mniej linia stopniowana różni się od prostej. W dalszym ciągu wprowadzimy jako odgraniczenie powierzchni w przekroju zawsze prostą linię.

Ryc. 8. okazuje, że dla wysokości y ściany ciśnienie odnośnego ukośnego rzędu DC jest tak wielkie, jakie odpowiada wysokości ściany $y + y_1$. Otóż jest $CE = y_1 \cotg \varepsilon = y \cotg \psi + (y + y_1) \cotg \sigma$; stąd

$$y_1 = y \frac{\cotg \psi + \cotg \sigma}{\cotg \varepsilon - \cotg \sigma}, \text{ zaś}$$

$$22. \quad y + y_1 = y \frac{\cotg \psi + \cotg \varepsilon}{\cotg \varepsilon - \cotg \sigma} = y \frac{\sin \sigma \sin (\psi + \varepsilon)}{\sin \psi \sin (\sigma - \varepsilon)} = y [\varepsilon]$$

Tę wartość należy zamiast y wstawić w wz. 15., czyli nK należy symbolem $[\varepsilon]$ pomnożyć. Gdy podług nK tak D jak X się obrachowuje, to X z wz. 21. przedstawi się jak następuje:

$$23. \quad X = \frac{H^2 \gamma \cos \omega \sin (\psi + \sigma) \sin (\psi + \varepsilon)}{2 \cdot \sin^2 \psi \sin (\omega + \sigma) \sin (\sigma - \varepsilon)}$$

Tę nową wartość należy wstawić w wz. 21., albo też wszystkie ilości tego wzoru, obrachowane dla powierzchni poziomej. pomnożyć symbolem $[\varepsilon]$.

W szczególnym przypadku, gdy powierzchnia zespołu jest nachylona pod kątem równowagi skarpy $\pm \sigma_0$, otrzymuje $[\varepsilon]$ następujące proste wartości:

	$\varepsilon =$	$+$	σ_0	$-$	σ_0
24.	dla AI :	$[\varepsilon] =$	$\frac{5}{3} (+ 67\%)$	$\frac{5}{7} (- 29\%)$	
	" II :	$[\varepsilon] =$	$\frac{4}{3} (+ 33\%)$	$\frac{4}{5} (- 20\%)$	
	" BI :	$[\varepsilon] =$	$\frac{3}{2} (+ 50\%)$	$\frac{3}{4} (- 25\%)$	

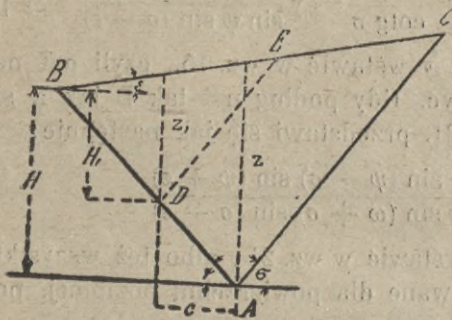
W nawiasach jest zaznaczone zwiększenie lub zmniejszenie ciśnienia przy poziomej powierzchni.

§ 11. *Szczególne przypadki. Parcie gdy kąt ψ jest mały.* Gdy $\psi = 180 - \sigma$, to podług wz. 23. jest $X = 0$, więc i $P = 0$. to znaczy, że jeżeli ściana jest ku wnętrzu pod kątem stromości σ nachylona, wtedy parcie równe zeru, co jest oczywiste, bo płaszczyzna stroma stanowi granicę równowagi zespołu.

Dla szczególnego przypadku, gdy ściana jest pionowa ($\psi = 90^\circ$), uproszczą się wzory. Podług wz. 23. i 21.:

$$25. \left\{ \begin{array}{l} X = H^2 \gamma \frac{\cos \omega \cos \sigma \cos \varepsilon}{2 \sin (\omega + \sigma) \sin (\sigma - \varepsilon)} \\ P = H^2 \gamma \frac{\cos \omega \cos \sigma \cos \varepsilon}{2 \sin (\omega + \delta) \sin (\sigma + \varepsilon)} \\ \text{a gdy } \varepsilon = 0: \\ P = H^2 \gamma \frac{\cos \omega \cotg \sigma}{2 \sin (\omega + \delta)} \end{array} \right.$$

Trzeci szczególny przypadek, gdy ψ otrzyma małe wartości, wymaga bliższego rozpatrzenia. Tu powstaje długa ściana; dla $\psi = 0$ są długość ściany i parcie nieskończenie wielkie. W zastosowaniu praktycznym rozchodzi się o wyznaczenie parcia tylko na



Ryc. 9.

element ściany (ryc. 9). Niech AD będzie tym elementem, odgraniczonym pionowemi z i z_1 , o szerokości poziomej c . Ciśnienie X przypadające na element AD otrzyma się, gdy w wz. 23, wstawi się $H^2 - H_1^2$ zamiast H^2 . Otóż jest

$$z = H (1 + \cotg \psi \operatorname{tang} \varepsilon) = H \frac{\sin (\psi + \varepsilon)}{\sin \psi \cos \varepsilon}$$

a stąd:

$$\frac{H}{\sin \psi} = \frac{z \cos \varepsilon}{\sin (\psi + \varepsilon)}, \text{ więc } \frac{H^2 - H_1^2}{\sin^2 \psi} = \frac{(z^2 - z_1^2) \cos^2 \varepsilon}{\sin^2 (\psi + \varepsilon)}$$

Następnie jest $z - z_1 = c (\operatorname{tang} \psi + \operatorname{tang} \varepsilon) = c \frac{\sin (\psi + \varepsilon)}{\cos \psi \cos \varepsilon}$

Z górnego wyrazu jest $z^2 - z_1^2 = (z + z_1)(z - z_1)$, a gdy za $z - z_1$ wstawimy powyższą wartość, to będzie

$$\frac{H^2 - H_1^2}{\sin^2 \psi} = \frac{c (z + z_1) \cos \varepsilon}{\cos \psi \sin (\psi + \varepsilon)}$$

a ostatecznie podług wz. 23,

$$26. \quad X = \frac{c (z + z_1) \gamma \cos \omega \sin (\psi + \sigma) \cos \varepsilon}{2 \cos \psi \sin (\omega + \sigma) \sin (\sigma - \varepsilon)}$$

Tą wartością obliczy się reszta ilości wz. 21. W szczególności otrzyma się

$$P = \frac{c(z+z_1)\gamma}{2} \cdot \frac{\cos \omega \sin(\psi + \sigma) \cos \varepsilon}{\cos \psi \sin(\omega + \delta) \sin(\sigma - \varepsilon)}$$

a dla przypadku $\psi = \varepsilon = 0$, a $\delta = 90^\circ$ jest $P = \frac{1}{2} c(z+z_1)\gamma$, tak jak być powinno.

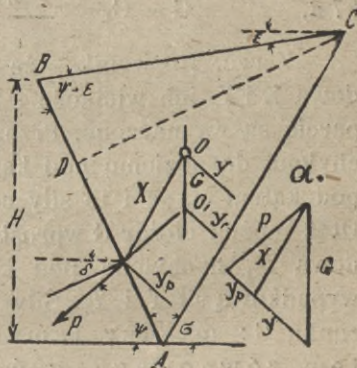
Pionowy odstęp s punktu przyłożenia parcia od dolnej krawędzi ściany wynosi

$$26 a. \quad s = \frac{H^2 + HH_1 - 2H_1^2}{3(H+H_1)}$$

a gdy H i H_1 zastąpi się ilościami z i z_1 :

$$26 b. \quad s = \frac{z^2 + zz_1 - 2z_1^2 \sin \psi \cos \varepsilon}{3(z+z_1) \sin(\psi + \varepsilon)}$$

§ 12. *Odmienne pojęcie parcia na ścianę. Równowaga sił. Parcie w spokoju.* Ciśnienie D i E przynależne do ukośnego rzędu kul, są składowymi całkowitego ciężaru kul tego rzędu, zatem sumy X i Y składowych wszystkich rzędów, zawartych między ścianą AB , stromą płaszczyzną AC i powierzchnią zespołu BC (ryc. 10.), są zarazem składowymi całego ciężaru kul, zawartego między temi płaszczyznami, na jednostkę głębokości ściany. W tem pojęciu jest ABC płaszczyzną odłamu. Jeżeli więc ciężar G pryzmatu odłamu rozłożyło się na takie same składowe X i Y , to one powinny otrzymać te same wartości, jakieśmy przedtem wyznaczyli.



Ryc. 10.

Gdy poprowadzimy CD prostopadle do AB (ryc. 10.), to powierzchnia $ABC = \frac{1}{2} \overline{AB} \cdot \overline{CD}$; $\overline{AB} = \frac{H}{\sin \psi}$; $\overline{BC} = \frac{H \sin(\sigma + \psi)}{\sin \psi \sin(\sigma - \varepsilon)}$

$$\overline{CD} = \overline{BC} \sin(\psi + \varepsilon) = H \frac{\sin(\sigma + \psi) \sin(\psi + \varepsilon)}{\sin \psi \sin(\sigma - \varepsilon)}, \text{ zatem}$$

$$27. \quad G = H^2 \gamma \frac{\sin(\sigma + \psi) \sin(\psi + \varepsilon)}{2 \sin^2 \psi \sin(\sigma - \varepsilon)} = g H^2 \gamma$$

Składowe X i Y ciężaru G podług trójkąta sił a . na ryc. 10.:

$$28 \text{ a.} \quad X = G \frac{\cos \omega}{\sin(\omega + \sigma)}, \quad Y = G \frac{\cos \sigma}{\sin(\omega + \sigma)}$$

a przez rozkład siły X na P i Y_p otrzyma się

$$28 \text{ b.} \quad \left\{ \begin{array}{l} P = X \frac{\sin(\omega + \sigma)}{\sin(\omega + \delta)} = G \frac{\cos \omega}{\sin(\omega + \delta)} \\ p = g \frac{\cos \omega}{\sin(\omega + \delta)} \\ Y_p = X \frac{\sin(\sigma - \delta)}{\sin(\omega + \delta)} = G \frac{\cos \omega \sin(\sigma - \delta)}{\sin(\omega + \sigma) \sin(\omega + \delta)} \end{array} \right.$$

Jeżeli w wzory 28 a. i b. wstawi się za G wartość z wz. 27., to się otrzyma te same wartości co w wzorze 23. względnie 21.

Dla przypadku przedstawionego na ryc. 9. należy za G wprowadzić różnicę $G - G_1$, jeżeli G_1 oznacza ciężar przyzmatu BDE. Ta różnica zawiera podług wz. 27. ilość $\frac{H^2 - H_1^2}{\sin^2 \psi}$ wyrażoną już poprzednio, zaczem

$$27 \text{ a.} \quad G - G_1 = \frac{c(z + z_1) \gamma}{2} \cdot \frac{\cos \varepsilon \sin(\sigma + \psi)}{\cos \psi \sin(\sigma - \varepsilon)}$$

Z ryc. 10. wynika, że przez rozkład ciężaru G na składowe X i Y , ich wielkość i kierunek, jakoteż punkt przyłożenia parcia są wyznaczone. Przez rozkład siły X na składową P , nachyloną do poziomu pod kątem δ i na składową Y_p , nachyloną pod kątem ω , są i te siły co do wielkości i położenia ustalone. Otóż można ciężar G wprost rozłożyć na składową P i na składową Y_r , nachyloną pod kątem ω ; wtedy jest Y oczywiście wypadkową sił Y i Y_p . Siły P i Y_r przecinają się w O_1 na kierunku G ; między temi trzema siłami istnieje zatem równowaga, zaś o ile kąt δ jest znany, są siły P i Y_r co do wielkości, kierunku i położenia niedwuznacznie ustalone.

Ten ważny wynik uzyskano bez wprowadzenia jakichkolwiek oporów tarcia, zatem parcie w spokoju jest od współczynnika tarcia materiału kul niezależne. Dlatego zwiemy je parciem w spokoju, w przeciwieństwie do parcia wyznaczonego podług istniejącej teorii, która zużytkowuje całkowite tarcie na powierzchni odłamu, zatem przyjmuje tendencję do ruchu.

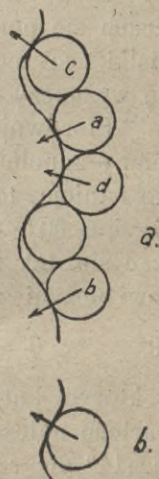
§ 13. *Usypywanie zespołu w ukośnych warstwach.* W dotychczasowych dociekaniach przypuszczano, że zespoły kulowe

są usypywane w poziomych warstwach. Jeżeli tak nie jest, to stosunki równowagi zespołu się zmieniają.

Usypywanie w ukosie jest teoretycznie równoznaczne z przekręceniem poziomo usypanego zespołu o kąt $\pm \varphi$. Stosownie do pochylenia na zewnątrz ($+\varphi$), czy też na wewnątrz ($-\varphi$), następuje zwiększenie lub zmniejszenie kąta stromości σ o φ . Odwrotnie rzecz się ma z kątem ω . Dla tego samego nachylenia ε naziomu przez zwiększenie kąta stromości zmniejszy się powierzchnia odłamu, a zatem i parcie. To wynika wprost z wzorów, skoro się w nie wstawi za σ i ω wartości $\sigma + \varphi$ i $\omega - \varphi$. Przy sypaniu w ukosie od ściany ($-\varphi$) parcie się zwiększy. Czy w zespole, gdzie różne układy i kierunki znajdują się pomieszane, ta zasada teoretyczna znajdzie w całości potwierdzenie, musiałyby wyjaśnić doświadczenia.

§ 14. *Kierunek parcia na ścianę.* Na ścianę zupełnie gładką może kula przenieść ciśnienie tylko prostopadle do niej, dlatego kąt δ , który parcie zawiera z poziomem, jest zawsze równy $90^\circ - \psi$. Jeżeli ściana nie jest gładka, a jej nierówności są w stosunku do średnicy kul wielkie, to każda kula znajdzie na ścianie podparcie na inaczej pochyłym elemencie (ryc. 11.). Przeniesione ciśnienie stoi prostopadle na tym elemencie. Kąt δ , który całkowite parcie zawiera z poziomem, jest zatem jakąś przeciętną wartością, której wielkość jest nieoznaczona. To jedno jest pewne, że przy pierwotnie usypanym, zewnętrznym wpływowi nie podległym zespołu, kierunek parcia jest zupełnie niezależny od kąta tarcia między kulą a ścianą. Oczywiście jest on także niezależny od pochylenia górnego odgraniczenia zespołu, co Müller-Breslau na podstawie własnych doświadczeń skonstatował na str. 152. swego we wstępie podanego dzieła.

Natomiast inne czynniki na kierunek wpływają. Rzut oka na ryc. 11. poucza, że czem większe są nierówności tem większe różnice w nachyleniu podpierających elementów. Kule c i d opierają się tylko o ścianę, a główne ciśnienie przenoszą na



Ryc. 11.

kule pod niemi położone, one zatem nie wiele wpływają na kierunek δ . Natomiast są elementy, jak przy a i b, które przyjmują całe ciśnienie ukośnego rzędu; ich nachylenie musi się znacznie różnić od przeciętnego. Takim elementom należy przypisać odchyłkę parcia od prostopadłej do ściany. Kąt δ będzie tem większy niż $90^\circ - \psi$, im mniej gładka jest powierzchnia ściany.

Następnie wpływa na wielkość kąta δ pochylenie ściany, gdyż czem mniejszy kąt ψ , tem mniej znajdzie się takich elementów jak przy c i d, tem mniejsza będzie odchyłka parcia od prostopadłej do ściany tak, że dla ściany poziomej ($\psi = 0$) przeciętny kierunek parcia chyba nieznacznie się odchyli od pionu.

Poziomy przekrój przez kulę na ryc. 11 b. okazuje, że kierunek ciśnienia także od normalnej płaszczyzny przekroju się odchyli, przeto kierunek i wielkość ciśnienia doznają zmiany.

Niepewność co do kierunku może tylko w ciasnych granicach się pomieścić, a jej wpływ na wielkość parcia nie jest wielki, co można sprawdzić na trójkącie sił ryc. 10 a., jeżeli się wyznaczy P dla nie wiele zmienionego kąta δ .

Stosownie do powyższych rozważań należy przyjąć dla ściany zupełnie gładkiej $\delta = 90^\circ - \psi$; gdy jednak takie ściany nie istnieją, to można dla obu rodzajów ścian wprowadzić ogólnie $\delta = 90^\circ - \psi + \alpha$, przyczem α powinno stale z ψ zmniejszać się, tak żeby dla $\psi = 0$ było także $\alpha = 0$. Temu warunkowi uczyni zadosyć wzór

$$29. \quad \delta = 90^\circ - \psi + \frac{\psi\alpha}{90} = 90^\circ - \psi \left(1 - \frac{\alpha}{90}\right)$$

w którym kąt α jest wyznaczony dla pionowej ściany. Jego wartość należy podług mego zapatrywania przyjąć nie większą niż 14° dla szorstkiej ściany, a nie mniejszą niż 5° dla gładkiej ściany. Zatem

$$29 \text{ a. } \begin{cases} \text{dla gładkiej ściany } \delta = 90^\circ - \psi \left(1 - \frac{5}{90}\right) = 90^\circ - 0.944 \psi \\ \text{dla szorstkiej ściany } \delta = 90^\circ - \psi \left(1 - \frac{14}{90}\right) = 90^\circ - 0.844 \psi \end{cases}$$

§ 15. *Położenie punktu przyłożenia parcia.* Jeżeli się rozważy każdy układ zespołu osobno, to przy płaskim odgraniczeniu powierzchni leży punkt przyłożenia w dolnej trzeciej części ściany, bo jednostkowe ciśnienie jest do wysokości ściany proporcjonalne. Jednakże w usypanym zespole występują układy

Powierzchnia DEC:

$$\frac{1}{2} \overline{DE} \cdot y = \frac{1}{2} u H \eta^2 \cotg \tau = \frac{H^2 \eta^2 \cotg^2 \tau}{2 \Delta}$$

Różnica obydwu powierzchni wyznacza powierzchnię odłamu F:

$$F = \frac{H^2 \cotg \tau}{2 \Delta} (\cotg \alpha - m - \eta^2 \cotg \tau) = \\ = \frac{H^2 \cotg^2 \tau}{2 \Delta} [\text{tang } \tau (\cotg \alpha - m) - \eta^2]$$

30 a.
$$\frac{F}{H^2} = \frac{\cotg^2 \tau}{2 \Delta} (\beta - \eta^2)$$

Następnie jest $u - y = u (1 - \eta) = \frac{H \cotg \tau}{\Delta} (1 - \eta) = aH$; stąd

30 b.
$$\eta = 1 - a \text{ tang } \tau$$

Ciężar odłamu wynosi $F\gamma$, zaś podług § 12. parcie ziemi

30 c.
$$P : H^2 \gamma = p = \frac{F \cos \omega}{H^2 \sin(\omega + \delta)} = \frac{\cotg^2 \tau \cos \omega}{2 \Delta \sin(\omega + \delta)} (\beta - \eta^2)$$

Jego składowe są $p_1 = p \cos \delta$ i $p_2 = p \sin \delta$.

Trudniej przedstawia się wyznaczenie położenia punktu przyłożenia parcia. Jest to ten punkt, w którym składowa powierzchni odłamu, pod stromym kątem nachylona, przecina ścianę. Jeżeli się znajdzie przecięcie składowych powierzchni ABC i DCE ze ścianą, jeżeli się pomnoży te składowe przez odstępów punktów przecięcia, utworzy różnice tych iloczynów i podzieli przez różnicę powierzchni, to się otrzyma odstęp punktu przyłożenia odłamu.

Ramię dla momentu powierzchni ABC wynosi $\frac{1}{3} H$, więc iloczyn ABC $\cdot \frac{1}{3} H = \frac{H^3 \cotg \tau}{6 \Delta} (\cotg \alpha - m)$.

Jeżeli się oznaczy odstęp środka ciężkości trójkąta DEC od stromej linii literą x , to $x = \frac{1}{3} \overline{DE} \cdot \sin \sigma$, a podług ryc. 12 a. wynosi ramię momentu

$$\frac{x \sin \psi}{\sin(180^\circ - \psi - \sigma)} = \frac{\overline{DE}}{3 (\cotg \sigma + \cotg \psi)}$$

Ponieważ $\cotg \psi = -m$, a $\cotg \sigma - m = \cotg \tau$; ponieważ $\overline{DE} = H \eta \cotg \tau$, to ramię momentu równe $\frac{1}{3} H \eta$.

Zatem moment powierzchni DEC wynosi $\frac{H^3 \eta^3 \cotg^2 \tau}{6 \Delta}$.

Ostatecznie otrzyma się

$$s = \frac{H}{3} \cdot \frac{\cotg \tau (\cotg \alpha - m) - \eta^3 \cotg^2 \tau}{\cotg \tau (\cotg \alpha - m) - \eta^2 \cotg^2 \tau} =$$

$$= \frac{H}{3} \cdot \frac{\text{tang } \tau (\cotg \alpha - m) - \eta^3}{\text{tang } \tau (\cotg \alpha - m) - \eta^2}, \text{ więc}$$

$$30 \text{ d. } s = \frac{H}{3} \cdot \frac{\beta - \eta^3}{\beta - \eta^2}, \quad 3s = \frac{\beta - \eta^3}{\beta - \eta^2}$$

Dla pewnej wartości η otrzyma s największą wartość. W tym celu zrównamy pierwszą pochodną ze zerem:

$$\frac{d \left(\frac{3s}{H} \right)}{d\eta} = \frac{-3\eta^2(\beta - \eta^2) + 2\eta(\beta - \eta^3)}{(\beta - \eta^2)^2} = 0$$

To doprowadza do równania $\eta^3 - 3\beta\eta + 2\beta = 0$, z którego dla s_{\max} otrzyma się

$$30 \text{ e } \quad \eta_m = 2 \sin \varphi \sqrt{\beta}$$

gdę φ z $\sin 3\varphi = \frac{1}{\sqrt{\beta}}$ się wyznaczy. Wartością η_m obrachuje się s_{\max} z wz. 30 d.

§ 17. *Obrachowanie do § 16. parcia na ścianę i położenia punktu przyłożenia dla pionowej ściany.* Należy przyjąć usypanemu materiałowi odpowiednią wartość dla ζ , dla niej obrachować parcie ziemi dla kierunków AI i AII i urobić średnią arytmetyczną (ob. § 19.). Zamiast poprzednio wprowadzonej wartości $\zeta = 0.13$, przyjmujemy dla późniejszego zastosowania $\zeta = 0.135$. Dla tej wartości jest podług III. tabeli:

$$\text{dla AI : } \sigma = 49^{\circ}04', \quad \text{tang } \sigma = 1.1528, \quad \omega = 66^{\circ}33'$$

$$\text{dla AII : } \sigma = 66^{\circ}33', \quad \text{tang } \sigma = 2.3056, \quad \omega = 49^{\circ}04'$$

Tang α przyjęto na 1.5. Podług wz. 30 a. do 30 e., w których podstawiono $m = 0$, a więc $\tau = \sigma$, obrachowano dla różnych wartości a naprzód η , potem p_1 , p_2 i s . Obrachowanie dało następujący wynik:

Dla AI : $\eta_m = 0.75$, $\left(\frac{s}{H} \right)_{\max} = 1.1205$, zatem powiększenie ponad $\frac{1}{3} H$ o 12%; przytem $a = 0.343$. Następnie $u : H = 1.37$.

Dla AII : $\eta_m = 0.70$, $\left(\frac{s}{H} \right)_{\max} = 1.105$, więc zwiększenie 10.5%; przytem $a = 0.122$, $u : H = 0.407$.

Wyniki rachunku okazuje VI. tabela.

§ 18. *Obrachowanie do § 16. parcia na ścianę i położenia punktu przyłożenia dla nachylonej ściany.* W celu późniejszego zastosowania przeprowadzimy obrachowanie dla ściany według $2.5 : 1$ ($m = 0.4$) ku wewnątrz nachylonej. Dla punktu przyłożenia otrzymano:

Dla AI: $\eta_m = 0.725$, $\left(\frac{3s}{H}\right)_{\max} = 1.079$, przytem $a = 0.2033$,
zaś $u : H = 0.739$.

Dla AII pochylenie ściany tak mało się różni od pochylenia stromej skarpy, że parcie można postawić równe zero. Wtedy należy wprowadzić zamiast średni arytmetycznej parć, tylko połowę parcia przypadającego dla AI.

Wyniki rachunku zestawiono w VII. tabeli.

§ 19. *Ważność wzorów. Najprawdopodobniejsza wartość parcia na ścianę.* Jeżeli w przekroju I II na ryc. 1., np. w kierunku AC wrysuje się ścianę, to się okaże, że ona jest styczną do dolnych kul wszystkich ukośnych rzędów tego przekroju. Taki przypadek zajdzie w uważanym przekroju tylko dla tang ψ równe ∞ , tang ω , $\frac{1}{2}$ tang σ i 0. Dla innych pochyień ściany będą niektóre kule styczne, inne zaś ścianą przecięte. Także nierówności niegładkiej ściany mogą spowodować, że niektóre kule utracą podparcie na ścianie. Zatem mogą zajść przypadki, że warunek dla naszych rozważań, by dolne kule każdego rzędu przenosiły ciśnienie na ścianę, nie będzie spełniony. W tych wypadkach nastąpi jednakże już podczas sypania zespołu obok ściany jakiś możliwy układ, ograniczony do wąskiego pasu, który nie może mieć żadnego wpływu na prawidłowe wyrobienie się stromej powierzchni, więc przyjęcie ważności wzorów dla wszelkich nachyleń ściany jest dopuszczalne.

To przypuściwszy, przystępujemy do wyznaczenia najprawdopodobniejszej wartości parcia zespołu w spokoju. Trudność przytem występująca polega na tem, że wielkość parcia jest od wielu czynników zależną. Mianowicie od rodzaju układu, a w każdym układzie od „kierunku“, następnie od tego, jak te układy są w zespole pomieszane; nareszcie od tego, czy usypanie jest luźne lub zgęszczone, czy nastąpiło w warstwach poziomych czy nachylonych. Oprócz tego zachodzą się próżne miejsca, otoczone kulami w stanie niestalej równowagi; ich wielkość jest zależną od współczynnika tarcia kul. Otóż jeżeli

się usypuje jedną warstwę na drugą, to niestałe układy będą coraz bardziej zanikać; można zatem przypuścić, że w luźno usypanym zespole dolne warstwy wykażą przeważnie stały układ A, a tylko w górnych warstwach znajdzie się układ B i utrzymają się próżnie. Ponieważ każdy układ posiada inną stromą płaszczyznę, a układy są pomieszane, więc zamiast płaszczyzny powstanie stroma powierzchnia, której przebieg wykaże bezładnie zmieniające się kąty stromości. Wypadkowe ciśnienie otrzyma wartość pośrednią układów AI i AII, na którą niestałe układy, znajdujące się tylko w górnych warstwach, wielkiego wpływu mieć nie mogą. Ponieważ nie istnieje przyczyna, dla której układ AI czy AII miałby otrzymać przewagę, przeto wprowadzimy średnią arytmetyczną parę tym układom właściwych. Różnica tych parę zresztą nie jest wielka, gdyż wynosi np. dla $\psi = 90^\circ$ i $\varepsilon = 0$ dla gładkiej ściany ($\delta = 5^\circ$) 3,6%, zaś dla szorstkiej ściany ($\delta = 14^\circ$) 10% (ob. tabelę V.); zatem odchylenie od średniej wartości nie przeniesie 3 do 4%. Z tą niepewnością należy się liczyć. Doświadczenia robione z piaskiem wykazują większe różnice. Ob. 7. przypisek.

W zespole przez ubijanie zgęszczonym nie mogą się utrzymać ani niestałe układy, ani próżnie; układ A stosuje się wtedy do całego zespołu, a parcie również podług średniej arytmetycznej będzie obrachowane.

Ponadto wielkość parcia zależną jest od modułu gęstości ζ . Jeżeli dla danego materiału wyznaczy się γ i γ_0 , to podług wz. 2. lub z tabeli I. wyznaczy się przynależne ζ , a potem σ , ω i p.

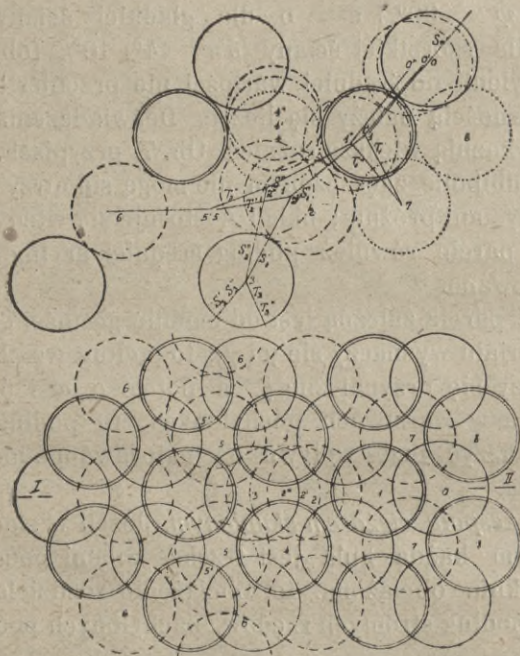
Co do usypywania w warstwach pochyłonych, to podług § 13. nie można wyznaczyć jego wpływu na najprawdopodobniejszą wartość parcia.

§ 20. *Obciążenie zespołu ciężarem skupionym.* Jeżeli w stałym układzie, w którym każda kula jest trzema kulami podparta, zostanie jedna kula obciążona, to obciążenie rozdziela się na trzy składowe podług stromych rzędów, nachylonych pod kątem rozdzielczym.

a. *Materiał niesprężysty.* W stałym układzie A przechodzi składowa przez stromy rząd, nie doznając żadnej zmiany. Dlatego nie będzie naruszona równowaga wewnątrz zespołu z powodu obciążenia. Strome rzędy znajdują się jednakże w skrajnym stanie równowagi, który może być skutek drobnej przy-

czyni naruszony. Rozważmy przypadek, gdy jedna kula rzędu zostanie wysunięta.

Na ryc. 13. widzimy powtórzenie ryc. 1. z przekrojem I II w rzucie tłowym, gdzie rząd kul 0123 przedstawia stromy rząd. W tym rzucie są kule leżące za lub przed przekrojem, jak 4, 7 i 8, oznaczone linią kropkowaną, gdy kule z pierwotnego położenia przesunięte oznaczono linią perlowaną. Przyjmuemy że kula 2 została z rzędu wysunięta, to ona pod wpływem obciążenia przesunie się w położenie 2', w którym znajdzie opór na dwóch kulach 5 (ob. rzut poziomy). Z powodu tego przesunięcia obsuną się kule 0 i 1 w położenie 0' i 1', gdy przeciwnie kula 4 podniesie się w położenie 4'. Składowa S_0 obciążenia,

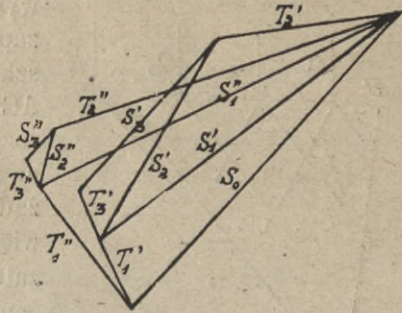


Ryc. 13.

która wraca w pierwotny [kierunek stromego rzędu, i na siłę T_3' wypadkową ciśnień wywartych na dwie kule podpierające 3. kulę. Owe rozkłady sił są uwidocznione na ryc. 13 a.

przechodząca przez górną kulę 0, dozna na kuli 1' rozkładu na składowe S_1' w kierunku 1'2' i na T_1' (nachyloną pod przeciwkątem) w kierunku 1'7' podług dwóch kul 7 podpierających kulę 1. Siła S_1' dozna dalszego rozkładu na składowę T_2' , jako wypadkową ciśnień wywartych na dwie kule 5 (ob. rzut poziomy), i w kierunku 2'3' wpadającą składowę S_2' . Ta doznaje przez kulę 3 dalszego rozkładu na składowę S_3' ,

Jeżeli obciążenie jest większe, to kula 2 przesunie również obie kule 5 w położenie 5', aż się oprą o kule 6 (ob. rzut poziomy). Wtedy kula 2 przejdzie w położenie 2'', kule 0 i 1 obniżą się do położenia 0'' i 1'', zaś kula 4 (i kule nad nią położone) dozna wzniesienia do położenia 4''. Rozkłady sił nastąpią jak przedtem na składowe S_1'' , T_1'' , S_2'' , T_2'' i S_3'' , T_3'' .



Ryc. 13 a.

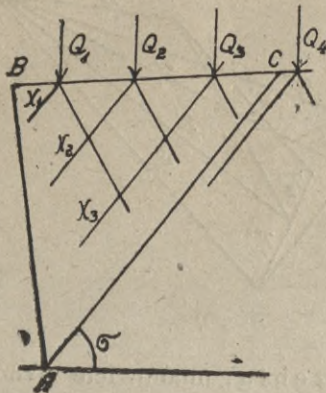
Pierwotna składowa S_0 ciężaru doznała przez te rozkłady znacznego zmniejszenia; mianowicie wynosi np. dla wartości $\zeta = 0.13$, dla której ryc. 13. została wykonana, $S_3' : S_0 = 0.518$, $S_3'' : S_0 = 0.104$. Gdy S_0 przenosi jedną trzecią obciążenia, to składowa S_3' przenosi 0.173, a S_3'' tylko 0.035 obciążenia. Suma pionowych składowych sił T_1' , T_2' i T_3' lub T_1'' , T_2'' , T_3'' obejmują zatem 0.161 lub 0.299 ciężaru, który rozpraszają na wewnątrz i na zewnątrz. Ponieważ zmniejszenie składowej S_0 jest zależne od wielkości przesunięcia wysuniętej z rzędu kuli, to w zgęszczonym materiale nastąpi ono powolniej.

Siły T_1' i T_1'' przenoszą się także przez strome rzędy, mogą zatem doznać takich samych rozkładów jak S_0 i rozpraszać ku wnętrzu.

Obok sił pionowych przenoszących obciążenie ku dołowi, wytwarzają takie siły jak T_2 i T_2'' poziome siły rozpierające na zewnątrz i na wewnątrz piramidy składowych ciężaru. Z tych pierwsze mogą być bardzo znaczne, gdyż stosunek poziomej składowej siły T_2' do S_0 wynosi 0.46, zaś siły $T_2'' : S_0 = 0.87$, albo 0.21 i 0.39 całego ciężaru. Powyższe przedstawienie daje pojęcie o rozpraszaniu się ciężaru wewnątrz zespołu, gdy jedna kula zostaje obciążona. Należy jeszcze rozpatrzyć działanie ciężaru skupionego na podpierającą ścianę.

Ciężary na ryc. 14. działają na ścianę AB z mniejszemi składowemi X, a gdy zmniejszenie z głębokością rośnie, t. zn. czem dłuższy jest stromy rząd, to wielkość wpływu ciężaru na ścianę maleje, czem większy odstęp ciężaru od kra-

węzli B ściany. Podobnie wpływ ciężaru maleje, czem wyższa jest ściana. Natomiast ciężar Q_4 , leżący poza pryzmatem odłamu, wywiera jeszcze wpływ o tyle, że



Ryc. 14.

zapomocą siły rozpierającej przeskadza wytworzeniu powierzchni AC odłamu (ob. ryc. 22.). Na boki rozpraszające składowe, jak T_1 i T_2 , na ryc. 13. nie wywierają prawie żadnego wpływu na ścianę. Największe parcie na ścianę wywierają zatem ciężary najbliższej niej położone; przy takich ciężarach także i poziome rozparcie jeszcze działa, a to powoduje, że punkt przyłączenia parcia leży powyżej punktu przecięcia składowej X z ścianą. Ten objaw w połączeniu ze stałym zmniejszeniem się wpływu ciężaru w kierunku od B ku A powoduje, że dla obciążenia jednostajnie wzdłuż BC rozłożonego, punkt przyłożenia parcia wypada powyżej środka ściany.

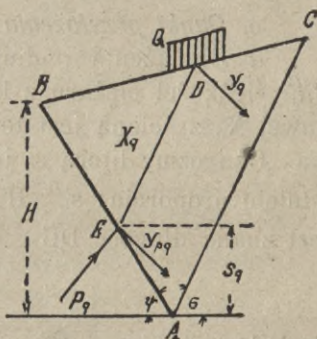
b. *Materiał sprężysty.**) W takim materiale choćby zespół był dokładnie podług układu A ułożony, nastąpi odchylenie składowej S_0 ciężaru, bez wysunięcia kuli z szeregu. Z powodu obciążenia doznają kule sprężyste skrócenia w kierunku stromego rzędu a rozszerzenia w kierunku do tamtego prostopadłym. Skrócenie spowoduje wgłębienie pod ciężarem i w najbliższym otoczeniu, zaś poprzeczne rozszerzenie przeniesie na dwie boczne podpierające kule część ciężaru, tak że z kuli na kulę stromego rzędu przejdzie coraz bardziej zmniejszona składowa ciężaru. Reakcja owych obciążonych kul ułatwi wysuwanie się kul z stromego rzędu, a wtedy okażą się objawy pod a. opisane. Przytem należy zauważyć, że skrócenie stromego rzędu może nastąpić tylko po przewyciężeniu tarcia, wywołanego obciążeniem owych bocznych kul. Z tego powodu nastąpi pod ciężarem i w jego sąsiedztwie stałe wgłębienie.

*) Interesujące doświadczenia o rozpraszaniu się ciężaru w piasku przynosi Engineering Record, May 30, 1914, str. 608. Distribution of Vertical Soil Pressures. By I. A. Moyer.

c. *Zespół usypany*. Gdy zespół nie był regularnie układany lecz usypany, to zamiast prostolinijnych wytwarzają się strome rzędy o zmiennem nachyleniu. Wtedy każda kula przedstawia się tak, jak gdyby była wysunięta z prostolinijnego rzędu, więc przy każdej kuli rzędu nastąpi odchylenie składowej ciężaru ze wszystkimi powyżej opisanymi objawami. Dlatego powinno tu zmniejszenie wpływu obciążenia z wzrostem głębokości szybciej nastąpić. Rozpraszanie obciążenia nastąpi we wszystkich kierunkach, tak że ma się tu do czynienia ze stożkiem rozpraszającym.

§ 21 *Obciążenie rozłożone wzdłuż ściany podpierającej.*

a. *Parcie na ścianę*. Obciążenie na ryc. 15. niech wynosi Q na jednostkę wgłęb. Ono rozłoży się na składowe podług tych samych prawideł jak nK na D i E podług wz. 14., lub jak ciężar G odłamu na składowe X i Y podług wz. 28 a. i b. Także rozkład składowej X na parcie P_q i na dodatkową składową Y_{pq} podpada pod te same prawidła, tak że wielkość składowych ciężaru i parcia na ścianę otrzyma się, jeżeli się wstawi w powyższe wzory Q zamiast G . Dla sumarycznego parcia należy $Q + G$ wstawić w wzór 28 b.



Ryc. 15.

W § 20. udowodniono, że tylko część składowej X ciężaru skupionego działa na ścianę. Przy rozłożonym ciężarze parcie na ścianę skombinuje się ze składowej X_q również zmniejszonej i z rozparcia poziomego zmniejszającego się w miarę oddalenia obciążenia od krawędzi ściany. Z powyższego wynika, że w cytowane wzory należy wprowadzić Q w zmniejszonej wartości, lecz że wielkość tego zmniejszenia nie jest znana. Tyle tylko jest wiadome, że parcie na ścianę wywołane obciążeniem jest większe dla partji obciążenia bliżej ściany położonych i tem większe im większa gęstość zespołu.

Dla przypadku, gdy cała powierzchnia odłamu jest obciążona, jest wielkość parcia wyznaczona poniżej, wzorami 32 a. i b.

b. *Kąt nachylenia δ parcia na ścianę.* Kąt δ ustalony w § 15 nie dozna z reguły żadnej zmiany w materiale niesprężystym. Tylko nie wiele kul, jak c i d na ryc. 11. może z powodu obciążenia doznać przesunięć w położenie bardziej stałe, co wpływa na drobne zwiększenie tego kąta. W materiale sprężystym zostaje pod wpływem obciążenia pryzmat odłamu skrócony, przyczem kule przytykające do ściany absorbują część tarcia między kulami a ścianą i to tem bardziej, czem szersza jest powierzchnia obłożona obciążeniem. Jeżeli obciążenie rozpościera się na całej szerokości odłamu, może przeto kąt δ znacznie wzrosnąć, szczególnie przy mało sprężystym materiale aż blisko kąta tarcia. Przy silnie sprężystym materiale może być tarcie w znacznej części przewyciężone, wtedy kąt δ zbliży się do wartości z § 15.

c. *Punkt przyłożenia parcia na ścianę.*

a. Obciążenie podług ryc. 15. Jeżeli D jest przecięciem linii ciężkości ciężaru z linią BC, to punkt przecięcia E składowej X_q z ścianą jest teoretycznym punktem przyłożenia parcia. Oznaczmy literą s_q jego pionowy odstęp od podstawy, to istnieje proporcja: $s_q : H = \overline{DE} : \overline{BC}$. Dane jest $\overline{BD} = a$, wtedy jest znana długość $\overline{DC} = \overline{BC} - a$, a wtedy z proporcji

$$s_q = H \left(1 - \frac{a}{\overline{BC}} \right)$$

Za \overline{BC} wartość z § 12., wtedy jest

$$30. \quad s_q = H \left[1 - \frac{a \sin \psi \sin (\sigma - \varepsilon)}{H \sin (\sigma + \psi)} \right]$$

Niech P_p oznacza parcie zespołu, s_p wysokość położenia jego punktu przyłożenia, to otrzyma się ostatecznie dla sumarycznego parcia:

$$31 a. \quad s_{pq} = H \frac{P_p s_p + P_q s_q}{P_p + P_q}, \text{ lub } s_{pq} = H \frac{G s_p + Q s_q}{G + Q}$$

W ten wzór należy wstawić zmniejszone wartości za P_p i Q , natomiast cośkolwiek większą wartość za s_q , w myśl § 20 a. Zatem położenie punktu przyłożenia parcia jest również nieokreślone.

β. Obciążenie jednostajne jest na całej szerokości odłamu rozłożone. Obciążenie, stosownie do wielkości, zgęści górnej warstwy kul, przyczem niestałe układy znikną, a punkt przyło-

żenia zespołu cośkolwiek się obniży. Jeżeli obciążenie na ryc. 16. wynosi q na poziomą jednostkę powierzchni, to $Q = q \overline{BD} = q \overline{BC} \cos \varepsilon$, a po wstawieniu wartości \overline{BC} podług § 12. otrzyma się

$$Q = H q \frac{\sin(\psi + \sigma) \cos \varepsilon}{\sin \psi \sin(\sigma - \varepsilon)}$$

Podług wz. 28 b. jest całkowite parcie

$$P_{pq} = (G + Q) \frac{\cos \omega}{\sin(\omega + \delta)}$$

a z powyższą wartością Q , a wartością G z wz. 27:

$$32. P_{pq} = \frac{\cos \omega \sin(\psi + \sigma)}{\sin \psi \sin(\omega + \delta) \sin(\sigma - \varepsilon)} H \left[H \gamma \frac{\sin(\psi + \varepsilon)}{2 \sin \psi} + q \cos \varepsilon \right]$$

Zastąpmy obciążenie materiałem zespołu o wysokości h , to $q = h \gamma$; gdy jeszcze literą C oznaczymy wyraz przed H w wz. 32, to otrzymamy nareszcie

$$32 a. P_{pq} = C H^2 \gamma \left[\frac{\sin(\psi + \varepsilon)}{2 \sin \psi} + \frac{h \cos \varepsilon}{H} \right]$$

Gdy w uważanym wypadku jest $s_p = \frac{1}{3} H$, s_q teoretycznie równe $\frac{1}{3} H$, to wz. 31 a. się uprości:

$$31 b. \frac{s_{pq}}{H} = \frac{\frac{1}{3} G + \frac{1}{3} Q}{G + Q}$$

Dla poziomego odgraniczenia zespołu, więc dla $\varepsilon = 0$ jest

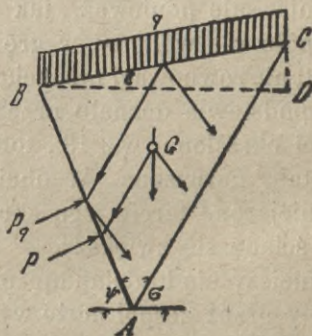
$$P_{pq} = \frac{1}{3} C H^2 \gamma \left[1 + \frac{2h}{H} \right]$$

Ponieważ $\frac{1}{3} C H^2 \gamma = P_p$, więc sumaryczne parcie otrzyma się, jeżeli się pomnoży parcie zespołu

ilością $\left[1 + \frac{2h}{H} \right]$. Jak wiadomo, jest

to ten sam wynik, jaki otrzymujemy dla ziemi podług istniejącej teorii.

Powyższe wzory mają jednakże w myśl poprzednich rozważań tylko przybliżoną wartość, gdyż w rzeczywistości jest P_{pq} mniejsze, zaś s_q więc i s_{pq} większe. (Ob. doświadczenie 6. i 7. Müller-Breslau'a w § 36. wykazujące, że podług tych wzorów obrachowane parcie jest oczywiście za wielkie.)



Ryc. 16.

§ 22. *Odciążenie zespołu.*

a. *Materiał niesprężysty.* Po zdjęciu obciążenia nie powróci całkiem poprzedni stan zespołu, bo przez obciążenie nastąpiły przesunięcia kul i zwiększyła się gęstość zespołu która spowoduje drobne zmiany w wielkości parcia i w położeniu jego punktu przyłożenia. Zresztą wpływ obciążenia zniknie.

b. *Materiał sprężysty.* Inaczej się przedstawia wpływ odciążenia na materiał sprężysty. W § 20. wspomniano, że skrócenie stromego rzędu nastąpić może tylko po przewyciężeniu tarcia na kulach podpierających kule rzędu. Po odciążeniu będą skrócone kule dążyć do odzyskania pierwotnego stanu, — zechcą się wyprostować, — czemu jednak stanie na przeszkodzie to samo tarcie, działające teraz w odwrotnym kierunku. Pozostanie zatem część skrócenia, a z nim część parcia wywołanego obciążeniem; także i punkt przyłożenia parcia nie wróci w poprzednie położenie. (Ob. doświadczenie 7 Müller Breslau'a w § 34.)

Prostowanie pryzmatu odłam wywoła tarcie kul o ścianę, także w odwrotnym kierunku, co znów wpłynie na zmniejszenie kąta δ . (Ob. to samo doświadczenie, które wykazuje zmniejszenie kąta nachylenia parcia z $26^{\circ}30'$ na $16^{\circ}30'$.) Zatem stosunki istniejące przed obciążeniem pogorszą się. Ten stan potrwa tak długo, dopóki zewnętrzne wpływy (wstrząśnienia i t. d.) nie dopomogą do nowego układu zespołu.

§ 23. *Wpływ wody.* Woda może zespół zwilżyć lub przepoić. W pierwszym przypadku dozna spólczynnik tarcia zmniejszenia, ale ponieważ, jak widzieliśmy, tarcie dla równowagi zespołu nie wchodzi w grę, więc zwilżenie kul nic nie zmieni w stanie równowagi nieobciążonego zespołu. Tylko jeżeliby tarcie na podstawie doznało przez zwilżenie zmniejszenia poniżej wartości określonej wz. 13., toby równowaga zespołu na podstawie została naruszona. W obciążonym zespole sprężystym ułatwi zmniejszone tarcie jego skrócenie, zatem działanie obciążenia na ścianę się zwiększy, — natomiast ułatwiając wyprostowanie zmniejszy się to działanie przy odciążeniu. Zresztą przeciekanie wody przez zespół może wywołać ruch kul korzystny ze względu na osiadanie, a przeto przyczynić się do bardziej stałego układu zespołu.

Jeżeli zaś zespół ścianą podparty jest wodą przesiąkniętą, to znaczy jeżeli puste miejsca między kulami są wodą wypełnione, to stosunki równowagi się zmieniają. Gdy podstawimy podług wz. 2. gęstość $\gamma = a \gamma_0$, to gęstość wodą przepojonego zespołu równa się

$$34. \quad \gamma_w = a \gamma_0 + (1 - a)$$

Parcie wywołane wodą ma być tak obrachowane, jakby dla gęstości $1 - a$ wody. Zatem do parcia zespołu należy dodać

$$35. \quad \frac{H^2 (1 - a)}{2 \sin \psi}$$

Gdy podstawimy $p H^2 \gamma$ za parcie zespołu, zaś $p' H^2$ za parcie wody, to sumaryczne parcie

$$36. \quad P_w = p_w H^2 = p \left(1 + \frac{p'}{p \gamma} \right) H^2 \gamma$$

Jeżeli woda sięga tylko do wysokości H_1 , to tylko tę wysokość należy w wz. 35. wprowadzić.

Parcie wody jest prostopadle do ściany skierowane, pod kątem $\delta = 90^\circ - \psi$, więc na zupełnie gładką ścianę kierunek parcia sumarycznego się nie zmieni, natomiast na niegładkie ścianie dozna kąta δ zmniejszenia. Z równowagi momentów parcie np. względem dolnej krawędzi ściany wynika dla $H_1 = H$:

$$37. \quad \sin(\delta_w + \psi) = \frac{p \gamma \sin(\delta + \psi) + p'}{p \gamma + p'}$$

skąd zmieniony kąt δ_w może być wyznaczony.

Wielkość wpływu przepojenia uwidoczni przykład. Przyjmujemy $\psi = 90^\circ$, $\delta = 0$ (gładka ściana), γ dla zgęszczonego zespołu 1.65 i $\zeta = 0.05$, dla luźnego $\gamma = 1.5$, $\zeta = 0.13$, $\gamma_0 = 2.4$.

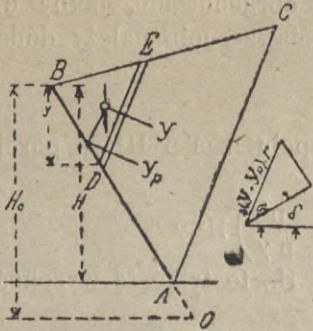
Dla zgęszczonego zespołu wynosi zatem $a = 0.69$, $p' = \frac{1 - a}{2} = 0.155$, $p = 0.1454$, $1 + \frac{p'}{p \gamma} = 1.65$. Dla luźnego zespołu $a = 0.625$, $p' = 0.1875$, $p = 0.1852$ a $1 + \frac{p'}{p \gamma} = 1.67$. Zwię-

kszenie parcia przez przepojenie wynosi zatem średnio 66%. Dla niegładkiej ściany istnieją te same stosunki.

§ 24. *Odpór zespołu.* Pod odporem rozumiemy największy przed wszelkim ruchem, a więc jeszcze w stanie spokoju objawiony opór zespołu, przeciwstawiony sile z zewnątrz — a ścianę działającą. Jest to opór tarcia na tej powierzchni,

wzdłuż której najpierw ruch by nastąpił, po przewyciężeniu tarcia.

Jeżeli się przyjmie na razie jeden z układów A lub B, to rzut oka np na ryc. 1. pouczy, że przesunięcie najłatwiej może nastąpić w kierunku ukośnych rzędów, bo tylko na nich jest w razie ruchu jedynie tarcie do przewyciężenia. Jeżeli DE na ryc. 17. przedstawia taką pod kątem stromości nachyloną warstwę, to na kule pod nią położone działa składowa Y odłamu BDE i dodatkowa składowa Y_p . Tym składowym jest tarcie wprost proporcjonalne. Jeżeli w zespole znajdują się układy pomieszane, to zamiast stromej płaszczyzny utworzy się powierzchnia, która obejmie jej rolę.



Ryc. 17.

Dla praktyki posiada znaczenie przypadek, gdy siła z zewnątrz na ścianę działająca przenosi ciśnienie na zespół zapomocą obrotu około osi poziomej i równoległej do ściany, zresztą dowolnie położonej. Tu rozpatrzmy prostszy przypadek, gdy oś obrotu leży w płaszczyźnie ściany. Ta oś O na ryc. 17. posiada od górnej krawędzi ściany pionową odległość H_0 .

Dla dowolnej wysokości y należałoby wprowadzić tarcie na przynależnym rzędzie kul; gdy jednak we wszystkich dotychczasowych badaniach średnica kul nie wchodziła w grę, to przyjmijmy ją nieskończenie małą, czyli innymi słowy wprowadzimy zamiast rzędu kul nieskończenie wąski element DE o pionowej wysokości dy . Jako opór wystąpi różnica tarć między górną a dolną powierzchnią tego elementu. Dla składowej Y odpowiada to tarcie ciśnieniu d Y , wynosi zatem r d Y . Podstawmy $Y = A y^2$, to r d $Y = 2 A r y dy$. Największy opór otrzyma się, gdy się przypuści na górnej krawędzi ściany całkowite zużycie tarcia, wtedy na elemencie DE wystąpi tylko część tarcia odpowiadająca stosunkowi $H_0 - y$ do H_0 , mianowicie

38.
$$2 A r y dy \left(1 - \frac{y}{H_0} \right)$$

Z tego przypadku na jednostkę wysokości

$$38 \text{ a.} \quad 2 A r y \left(1 - \frac{y}{H_0} \right)$$

Ten wzór oznacza na ryc. 18 a. parabolę a b c, jako odgraniczenie powierzchni odporu, z największą wartością w środku wysokości H_0 . Gdy się zesumuje opory z wz. 38. na całą wysokość ściany H , to się otrzyma opór tarcia całego odłamu:

$$2 A r \int_0^H y \left(1 - \frac{y}{H_0} \right) dy = A H^2 r \left(1 - \frac{2 H}{3 H_0} \right) = r Y \left(1 - \frac{2 H}{3 H_0} \right)$$

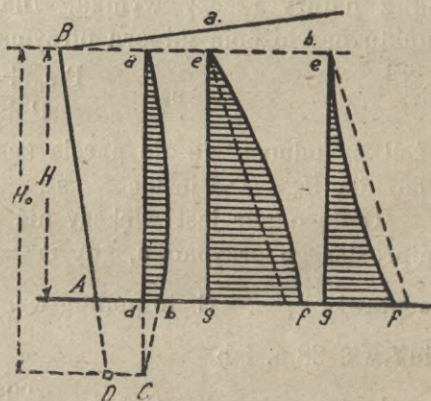
Y oznacza tu składową dla całego odłamu.

Gdy się wprowadzi jeszcze dodatkową składową Y_p i oznaczy $Y + Y_p = B H^2$, to całkowity opór wyniesie

$$39. \quad B r H^2 \left(1 - \frac{2 H}{3 H_0} \right)$$

Jeżeli H_0 jest nieskończenie wielkie, to przesunięcie ściany nastąpiłoby równoległe do siebie; wtedy opór tarcia różni się $B r H^2$. Jeżeli oś obrotu spadnie z dolną krawędzią ściany, to $H_0 = H$, a opór tarcia wyniesie $\frac{1}{3} B r H^2$, czyli jedną trzecią poprzedniego.

Opór tarcia może przebieść się na ścianę li tylko zapomocą kul do ściany przylegających, zatem tak samo pod kątem δ jak parcie zespołu. Zaczem wejdzie w działanie tylko składowa tarcia nachylona pod



Ryc. 18.

kątem δ . Jeżeli na ten kierunek i na kierunek do niego prostopadły rozłożymy opór tarcia, to ta druga składowa nie działa, zaś pierwsza wyniesie podług ryc. 17 a.

$$40. \quad R = (Y + Y_p) r \left(1 - \frac{2 H}{3 H_0} \right) \cos (\sigma - \delta)$$

Jeżeli się do tego dosumuje parcie P zespołu, to ostatecznie wyniesie odpór W :

41. $W = P + R$
działający na ścianę pod kątem δ , a przedstawiony w efg na ryc. 18 a.

W celu wyznaczenia punktu przyłożenia oporu R utwórzmy moment oporu tarcia przypadającego na wysokość elementu dy względem dolnej krawędzi ściany i zsumujmy go na wysokość H :

$$\frac{2 B r}{H_0} \int_0^H y (H_0 - y) (H - y) dy = \frac{B r H^3}{6} \left(2 - \frac{H}{H_0} \right)$$

Jeżeli ten moment podzieli się przez cały opór tarcia z wz. 39, to się otrzyma pionowy odstęp s_r punktu przyłożenia od dolnej krawędzi ściany:

42.
$$s_r = \frac{H}{2} \cdot \frac{\left(2 - \frac{H}{H_0} \right)}{3 - 2 \frac{H}{H_0}}$$

Gdy $H_0 = \infty$ (równoległe przesunięcie ściany), to $s_r = \frac{1}{3} H$, tak jak z natury rzeczy wynika. Dla $H_0 = H$ jest $s_r = \frac{1}{2} H$. Dla punktu przyłożenia odporu otrzyma się

43.
$$s_w = \frac{P s_p + R s_r}{P + R}$$

jeżeli s_p odnosi się do parcia zespołu. Wogóle jest $s_w > s_p$, tylko dla $H_0 = \infty$ jest $s_w = s_p$.

O ile odpór jest większy niż parcie P , okaże rozpatrzenie najprostszego przypadku, gdy $\psi = 90^\circ$ a $\varepsilon = \delta = 0$. Jeżeli się podstawi $\frac{H^2 \gamma}{2} = C$, to podług wz. 27. jest $G = C \cotg \sigma$, a podług wz. 28 a. i b.

$P = C \cotg \omega \cotg \sigma$, $Y = C \cotg \sigma \frac{\cos \sigma}{\sin(\omega + \sigma)}$, $Y_p = C \cotg \omega \frac{\cos \sigma}{\sin(\omega + \sigma)}$,
zatem podług wz. 40.

$$R = C r \frac{\cos^2 \sigma}{\sin(\omega + \sigma)} [\cotg \sigma + \cotg \omega] \left(1 - \frac{2 H}{3 H_0} \right) =$$

$$= C r \frac{\cos^2 \sigma}{\sin \sigma \sin \omega} \left(1 - \frac{2 H}{3 H_0} \right).$$

Nareszcie

44.
$$W = C \frac{\cotg \sigma}{\sin \omega} \left[\cos \omega + r \cos \sigma \left(1 - \frac{2 H}{3 H_0} \right) \right]$$

W nawiasie należy cos ω do parcia zespołu, więc będzie $W \geq 2 P$, podług tego, czy $r \cos \sigma \left(1 - \frac{2 H}{3 H_0}\right) \geq \cos \omega$. Ponieważ znak \geq będzie chyba wyjątkowy, to wogóle będzie $W < 2 P$. Dla luźnego zespołu, więc $\zeta = 0.13$ wypada dla średniej układów AI i AII i dla równoległego przesunięcia ściany

$$\text{gdy } r = 0.4, W = 1.45 P$$

$$\text{„ } r = 0.6, W = 1.60 P$$

Jeżeli kule nie są sprężyste, to przy wywieraniu ciśnienia na ścianę nie śmie ruch nastąpić, gdyż przy najmniejszym ruchu zostaje całkowity opór tarcia pokonany. Gdy kule są sprężyste, to nastąpi mały ruch, odpowiadający ściśnieniu kul, poczem dopiero wystąpi cały opór tarcia.

Co się tyczy zewnętrznej na ścianę działającej siły, to ona powinna działać w tym samym punkcie przyłożenia i w tym samym kierunku co odpór. Jeżeli się jednak przypuści, że ściana jest sztywnie z osią obrotu połączona, to punkt przyłożenia i kierunek siły są obojętne. Dopuszczalną wielkość siły obračuje się wtedy z równowagi momentów siły i odporu względem osi obrotu.

Odpór wywołała tendencja ściany do ruchu ku wnętrzu zespołu. Gdyby jednak ściana wskutek jakichkolwiek wpływów była zmuszona do ruchu na zewnątrz, czyli jeżeliby ściana się poddała, ale tylko o tyle, o ileby sprężystość kul bez poruszenia się zespołu na to pozwoliła, wtedy opór tarcia działa w odwrotnym kierunku, czyli staje się wobec poprzedniego ujemnym. Otrzyma się więc

$$W = P - R \text{ i } s_w = \frac{P s_p - R s_r}{P - R}$$

Powierzchnia ciśień przedstawi się jak efg na ryc. 18 b. Następnie będzie $s_w < s_p$, zatem punkt przyłożenia ciśnienia obniży się wobec punktu przyłożenia pierwotnego parcia zespołu, a parcie zespołu się zmniejszy. Dla powyższego przykładu nastąpi zmniejszenie parcia na 0.55 P i 0.4 P.

§ 25. *Wpływ poddania się ściany.* Ten wpływ przy końcu poprzedniego paragrafu rachunkowo przedstawiony rozpatrzmy bliżej dla przypadku, gdy ściana po usypaniu zespołu się podda.

To rozpatrzenie będzie potrzebne dla wytlómaczenia zjawisk, podanych w § 36.

Gdy materiał kul nie jest sprężysty, to przy najmniejszym poddaniu się ściany zesunie się cały odłam. Przy silniejszym poddaniu się utworzy się nowy układ wogóle korzystniejszy, jednakże o parciu nie wiele różniącym się od poprzedniego.

Przy sprężystym materiale wywoła najmniejsze poddanie się ściany zmianę równowagi. W wnętrzu zespołu każda kula doznaje pod wpływem ciśnienia sprężystego ściśnienia. W miarę poddawania się ściany te ściśnienia zmniejszają się, następuje ruch kul, a tarcie między rzędami tym ruchem wywołane absorbuje część ciśnienia działającego na kule, tak że przy najmniejszym ruchu ściany parcie na ścianę raptownie się zmniejsza. Wielkość tego zmniejszenia była już omówiona. Niektóre kule przylegające do ściany znajdują się w położeniu chwiejnym, więc zużytkują do otrzymania równowagi tarcie na ścianie, przezco kąt δ dozna zwiększenia.

Jeżeli ruch ściany jest większy niż wymiar ściśnienia zespołu, co przy górnych, mało ściśnionych warstwach już przy drobnym ruchu ściany nastąpi, to objawi się zsuwanie się rzędów równoległe do stromej powierzchni. Wytwarza się nowy układ. Jeżeli on się ograniczy do górnych warstw, to w miarę poddawania się ściany nastąpi zwiększanie się zmniejszonego parcia, a punkt przyłożenia będzie do pewnej granicy podwyższać się. Ostatecznie poddanie się ściany osiągnie taką wielkość, że cały odłam się zesunie, wtedy nastąpi nowy układ z wyłączeniem niestałych układów, a z parciem wobec pierwotnego jeszcze o tyle mniejszem, o ile zesuujące się kule na opór tarcia natrafiły. Dopiero wstrząśnienia doprowadzą do układu zupełnie nowego, korzystniejszego niż pierwotny, zatem o parciu trochę zmniejszonym.

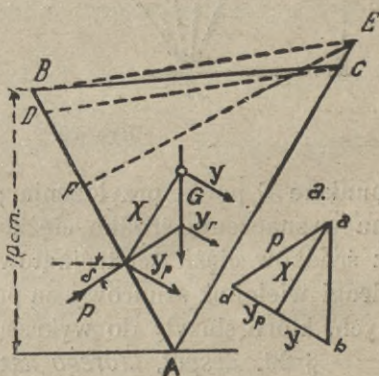
Z powyższego przedstawienia wynika przedewszystkiem objaw, sprawdzony wieloma doświadczeniami robionemi z suchym piaskiem, że po najmniejszym poddaniu się ściany parcie raptownie się zmniejsza, że zatem parcie w spokoju jest największe, jakie zespół jest w stanie na ścianę wytworzyć. Następnie wynika, że poddanie się ściany wpływa korzystnie na stosunki równowagi.

§ 26. *Wpływ osiadania.* Wpływy zewnętrzne, jak wstrząśnienia, obciążenia i przesiąkająca woda, wywołują ruch kul wewnątrz zespołu, którego wynikiem usunięcie niestałych układów i próżni. Gęstość zwiększy się, parcie zmniejszy się a punkt przyłożenia parcia zbliży się do dolnej trzeciej części ściany. Zatem wpływ osiadania jest korzystny.

§ 27. *Wpływ wstrząśnień.* Początkowo wytworzą się podczas wstrząśnień większe parcia, jednakże po wytworzeniu się stałszych układów chyba nie wiele różnić się będą od parcia w spokoju.

§ 28. *Wyznaczenie parcia sposobem wykreślnym.* Najprostsze wykresy uzyska się, jeżeli wszystkie ilości wyznaczy się przez ciężar G odłamu (wz. 27., 28 a. i b.) Gdy $G : H^2 \gamma = g$, to g jest powierzchnią odłamu pomnożoną przez głębokość ściany równą 1, o wysokości $H = 1$. Tę jednostkę wygodnie jest przyjąć równą 1 dm.

Dla najprostszego przypadku przedstawionego na ryc. 19., gdy zespół jest prostą linią odgraniczony, naniesie się $AD = = 1$ dm i poprowadzi $BE \parallel DC$, to prostopadła poprowadzona z E do ściany przedstawia podwójną w decimetrach odczytaną wartość ilości g . Jeżeli połowę tej długości przeniesiemy na ab (ryc. 19 a.), poprowadzimy ac pod kątem σ , bd pod kątem ω , zaś ad pod kątem δ , to $ac = X : H^2 \gamma$, $bc = Y : H^2 \gamma$, $ad = P : H^2 \gamma$, $cd = Y_p : H^2 \gamma$, wszystko odczytane w dm. Kąty σ i ω wyznaczy się stosownie do obranej wartości ζ , δ wyznaczy się z wz. 29.

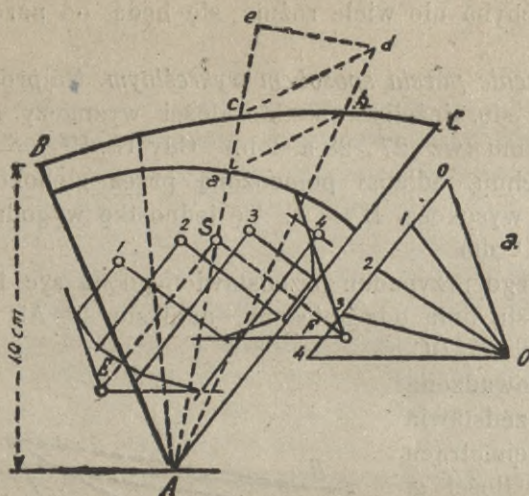


Ryc. 19.

Dla przypadku przedstawionego na ryc. 9. należy wyznaczyć g i g_1 a różnicę tych ilości przenieść na ab na ryc. 19. W celu wyznaczenia punktu przyłożenia parcia należy od środków ciężkości obydwu odłamów poprowadzić równoległe do AC , a między nimi wykreślić wielobok sznurowy na podstawie

wieloboku sił $g - g_1$, wykreślonego równoległe do AC. Ten wielobok wyznaczy punkt przyłożenia.

Dla krzywoliniowego odgraniczenia zespołu należy w krzywą linię wrysować wielobok a naroża połączyć z punktem A (ryc. 20). Jeżeli z A jako środka zatoczy się łuk koła o promieniu równym 1 dm, to wyznaczy się g np. dla 3. trójkąta, gdy się poprowadzi $cd \parallel ab$, $de \perp Ac$. Wtedy de wyznacza p o d w ó j n ą



Ryc. 20.

wartość g_3 . Z wieloboku sił utworzonego z wartości g wszystkich trójkątów wyznaczy się wszystkie ilości jak powyżej. Jeżeli z środków ciężkości 1., 2., 3. trójkątów poprowadzi się równoległe do AC i wykreśli wielobok sznurowy na podstawie wieloboku sił 04, to się otrzyma w

punkcie E punkt przyłożenia parcia. Jeżeliby jeszcze zależało na wyznaczeniu środka ciężkości S odłamu, to się poprowadzi z środków ciężkości trójkątów prostopadłe do AC i wykreśli drugi wielobok sznurowy za pomocą promieni prostopadłych do tych, które służyły do wykresu wieloboku pierwszego.

§ 29. *Zespół, którego kształt ziarna nie jest kulisty.* Jeżeli zespół składa się z elipsoidów dwuosiowych, o pionowej osi wydłużonej lub skróconej, to pionowy przekrój przez zespół może być uważany jako rzut przekroju przez zespół kulowy. Kierunek rzutu wyznaczy się ze stosunku pionowej do poziomej osi elipsoidu. Jeżeli się wprowadzi kąt rozdzielnicy τ i kąty σ i ω wynikające z tego rzutu, to wszystkie dla zespołu kulowego ustawione wzory zachowują ważność. Dla elipsoidu o skróconej osi pionowej wypadają powyższe kąty mniejsze niż dla

zespołu kulowego, zatem kąt równowagi skarpy σ_0 będzie także mniejszy. Przy wydłużonej osi rzecz się ma odwrotnie.

Jeżeli w zespole obydwa rodzaje elipsoidów się znachodzą, to stosunki równowagi nie mogą wiele się różnić od takich stosunków w zespole kulowym.

B. SYPKA ZIEMIA.

Przystępujemy do rozpatrzenia, o ile wyniki otrzymane przy zespole kulowym mogą mieć zastosowanie dla sypkiej ziemi.

§ 30. *Doświadczenia.* Dotychczas wykonano niestety za mało doświadczeń z piaskiem i nie z taką ścisłością, żeby dozwoliły na wyznaczenie największego parcia wywartego na ścianę. Mimo to doprowadza ich studjowanie do ustawienia pewnych prawideł i do wykazania analogij z zespołem kulowym, które dozwolą niejedno wyświecić, czego obecną teorią nie da się uskutecznić, a do wartości największego parcia się zbliżyć.

Rozpatrzmy następujące doświadczenia:

1. Darwin'a, opisane w sprawozdaniu „Annales de ponts et chaussées“ z r. 1883/2, str. 477 do 487.

2. Gobin'a, „Annales de pont et chaussées“ z r. 1883/2, str. 184 do 212.

3. Forchheimer'a, „Zeitschrift des oesterr. Ingenieur- und Architekten-Vereins“ z r. 1882 i 1883.

4. Müller-Breslau'a, w jego dziele pt. „Erddruck auf Stützmauern“, Stuttgart 1906.

5. Inne odosobnione doświadczenia*).

W celu umożliwienia porównania wartości parcia otrzymanych z doświadczeń, będą one przerachowane na wysokość równą jedności i podzielone przez gęstość γ materiału; nazwiemy je p (ob. wz. 28 b.).

§ 31. *Doświadczenia Darwina z r. 1877.* Darwin użył do swoich doświadczeń kurzu z drogi szutrowanej rogowcem (Silex). Lekko usypany miał wykazał gęstość 1.40, a należycie ubity 1.55. Stosunek obu wynosi 1.107. Gęstość ziarna (γ_0) niestety nie została podana. Przez usypanie skarpy wyznaczony kąt tar-

*) W czasopiśmie „Transactions of the American Society of Civ. Ing.“ z r. 1911, szuka się za najmniejszą wartością parcia, więc te doświadczenia nie są dla naszych celów przydatne.

cia wynosił 35° , ma być jednakże większy. Podług pana Bousinesq (sprawozdanie str. 498) jest możliwe, że ten kąt wynosił 40° .

Darwin badał li tylko wielkość parcia i tylko na pionową ścianę o wysokości 0.35 m, obracalną o dolną krawędź. Za to stosował sypanie o różnych nachyleniach, a dla każdego sypania wyznaczał parcie dla różnych wysokości ściany. Wyrównująca krzywa dozwoliła na ustawienie wzoru dla wielkości poziomej składowej parcia.

Ściana była ręką przytrzymana za pomocą sznura ułożonego na dwa krążki. W sznur włączono dynamometr. Przy zwalnianiu sznura robiono odczyt na dynamometrze w chwili pierwszego poddania się ściany. Otrzymano dla poziomej składowej parcia $p \cos \delta$ następujące wartości:

Sypanie poziome, powierzchnia pozioma	0.090
To samo przy ubitym materiale	0.066
Sypanie od ściany spadające pod kątem tarcia ϱ , powierzchnia pozioma	0.083
Sypanie od ściany wznoszące się pod kątem tarcia, powierzchnia pozioma	0.095
Sypanie od ściany spadające pod kątem tarcia, po- wierzchnia tak samo nachylona	0.074
Sypanie od ściany wznoszące się pod kątem, po- wierzchnia tak samo nachylona	0.146

Te wyniki są o wiele mniejsze niż parcie w spokoju, gdyż nie jest łatwe uchwycenie chwili pierwszego ruchu ściany. Dowodem tego jest czwarty rząd doświadczeń, który wykazał parcie 0.126 dla tego samego przypadku, dla którego przedtem znaleziono 0.095. Te liczby są i z tego powodu za małe, że nie uwzględniono tarcia sznura na krążkach. Chociaż te doświadczenia nie są przydatne do wyznaczenia wielkości parcia, to jednak dają cenne wyniki. Przedewszystkiem należy zauważyć, że po pierwszym ruchu ściany parcie odrazu się zmniejsza*), że zatem parcie w spokoju jest największe. Drugi objaw, o ile sądzić można skonstatowany, jest wpływ sypania ukośnego po wyrównaniu do poziomemu, Parcie jest większe lub mniejsze niż sypanie w poziomych

*) Uzasadnienie tego objawu w § 25.

warstwach, stosownie do ukosu od ściany wznoszącego się, lub spadającego.

§ 32. *Doświadczenia Gobin'a*. Użyto suchego piasku rzeczynego, który luźno sypany posiadał gęstość 1·56. Kąt tarcia wyznaczono na 34°. Wielkość parcia wyznaczano podobnie jak Darwin, tylko zamiast dynamometru układano ciężarki na zawieszanej miseczce. Przez odejmowanie ciężarków skonstatowano ten ciężar, przy którym pierwszy ruch ściany nastąpił. Wysokość ściany wynosiła 0·5 m.

1. Dla naszych celów może być uwzględnione drugie doświadczenie (str. 199 i 200), przy którym skonstatowano ledwo dostrzegalne ruchy ściany i uwzględniono tarcie na krążkach i na bocznych ścianach. Ściana była pionowa, piasek poziomo odgraniczony. Poziomą składową parcia wyznaczono na 25·44 kg. Gdy $\gamma = 1560$, $H = 0·50$, szerokość 0·50, należy wyznaczoną wartość podzielić liczbą 195. Zatem $p \cos \delta = 25·44 : 195 = 0·130$. Ta wartość przekracza przez Darwina otrzymaną o 44% i pewno nie wiele się różni od parcia w spokoju; mimoto sam Gobin przyznaje, że ono powinno być jeszcze większe, bo pierwszy ruch ściany nie mógł być uchwycony.

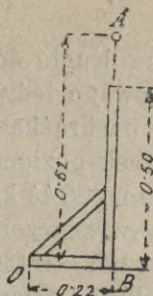
2. Czwarte doświadczenie wykonano z trójkątnym pryzmatem. Ściana była ku wnętrzu odchylna od pionu o 30° (podług naszego oznaczenia wynosiło $\psi = 120^\circ$). Otrzymano $p \cos \delta = 0·029$.

3. Piąte doświadczenie (str. 206 i 207) było powtórzeniem interesującego doświadczenia generała Ardant. Pryzmat trójkątny był tak ustawiony, że linja ciężkości przechodziła przez dolną krawędź. Ściana była pochylona pod kątem tarcia $\varphi = 34^\circ$ na zewnątrz. Gdy usypano piasek poziomo aż po górną krawędź ściany, pryzmat pozostał właśnie w równowadze. Ta równowaga mogła być uzyskana przez wyzyskanie prawie całkowitego tarcia na ścianie. W tym wypadku musiał wynosić kąt, który zawierało parcie z prostopadłą do ściany, około 27°.

4. Z doświadczenia przytoczonego w § 5 (str. 207) z tym samym pryzmatem, lecz z gładką ścianą, tylko to przytoczymy, że kąt tarcia na ścianę wynosił trochę mniej niż 24°. Tu było z pewnością całkowite tarcie dla równowagi wyzyskane.

5. Drewniana ściana (ryc. 21.) była około krawędzi O obracalna. Wysokość usypania 0·5 m, $\overline{AB} = 0\cdot62$ m*), $\overline{OB} = 0\cdot22$ m, szerokość ściany 0·47 m. Na sznurze prowadzonym na krążkach była zawieszona miseczką z ciężarkami. Ciężarki ostrożnie zdejmowano, aż się okazał pierwszy ruch ściany.

Wykonano dwa doświadczenia z szorstką i gładką ścianą. Pierwsze wykazało ciężar 0·85 kg, drugie 1·63 kg. Tarcie na



Ryc. 21.

krążkach nie było podane; jeżeli się je wprowadzi stosownie do poprzednich doświadczeń równe jednej piątej ciężaru na miseczce, to powyższe ciężary zwiększą się na 1·02 i 1·98 kg. Nie podano ani ciężaru miseczki, ani też wielkości momentu ciężaru ściany o krawędź O. Jeżeli pierwszy oznaczymy przez a, drugi przez A, to cały moment, któremu moment parcia piasku stawia opór, będzie

$$(1\cdot98 + a) 0\cdot62 + A \text{ dla gładkiej ściany}$$

$$(1\cdot02 + a) 0\cdot62 + A \text{ dla szorstkiej ściany}$$

zaś $0\cdot96 \cdot 0\cdot62 = 0\cdot595$ kgm jako różnica momentów.

Jeżeli podzielimy przez szerokość 0·47 i $H^3 = 0\cdot5^3$, to dla $H = 1$ i szerokości 1 wyniesie różnica momentów $\Delta M = 10\cdot0$ kgm.

Z tych doświadczeń wynika, podobnie u Darwina, że po pierwszym ruchu ściany parcie się zmniejsza. Następnie otrzymał Gobin bardzo ważny wynik, że położenie powierzchni odłamu jest dla wszystkich nachyleń ściany niezmiennie. Ten wynik stwierdził Gobin niezlicznie wieloma doświadczeniami, przedsięwzięciami dwoma różnymi materiałami (str. 187). Nareszcie sprawdził Gobin, że gdy ściana jest pionowa, płaszczyzna odłamu połowi kąt między ścianą a skarpą naturalną. Dla suchego piasku wynosił kąt zawarty między ścianą a płaszczyzną odłamu 61° i 62° .

Niestety nie przeprowadzał Gobin doświadczeń z pochyłym odgraniczeniem naziomu, tak że dla tego przypadku nie można było stwierdzić prawidła stałości położenia płaszczyzny odłamu.

§ 33. *Doświadczenia Forchheimera.* Użyto piasek z Renu o gęstości ziarna 2 65**), luźnie sypanego piasku 1·445 a silnie

*) Wymiar mnie przez p. Gobina podany.

**) Ta liczba jest za wielka wobec gęstości luźnie sypanego zespołu.

ubitego 1'60. Stosunek obu wynosi 1'107, a więc dokładnie tyle, co otrzymał Darwin. Pochylenie skarpy naturalnej wyznaczono na sypanych stożkach 33°40'. Obok piasku stosowano ołowiany śrut o gęstości 6'91 i nachyleniu 26°0' skarpy naturalnej. Trzeci stosowany materiał, składający się z płytek złota, nie wchodzi tu w rachubę, gdyż okazywał spójność.

Doświadczenia ograniczały się li tylko do położenia powierzchni odłamu dla przypadków, gdy ścianę poddawano ruchom i obrotom w różnych kierunkach. Te bardzo zmyślnie przeprowadzone doświadczenia wykazują ruchy ściany, przeważnie przekraczające znacznie miarę ruchów dla naszych celów rozważanych. Dlatego ich wyniki należy ostrożnie wyzyskać.

a) *Poziome odgraniczenie powierzchni.* Tabela 16 rozprawy Forchheimera pokazuje, że przy wszelkich ruchach pionowej ściany pozostał kąt nachylenia do poziomu płaszczyzny odłamu w ciasnych granicach stały. Wynosił 58 do 62°. W tych granicach jest zawarta wartość $\frac{\varphi + 90^\circ}{2} = 61^\circ 50'$, który zawiera z poziomem płaszczyzna połowiąca kąt między ścianą a skarpią naturalną. Szorstkość ściany na ten wynik nie wpływała. Prawie ten sam wynik otrzymano przy przesuwaniu ściany ku dołowi (19 tabela), jak długo przesuwania były drobne. Dla usypania między blisko ustawionemi ścianami otrzymano ten sam wynik (17. tabela).

Przy powyższych doświadczeniach była ściana pionowa. Dla ściany na zewnątrz pochylonej możemy zużytkować tylko przypadek na ryc. 21. rozprawy przedstawiony. Jemu przynależna 20. tabela wykazuje dla wszystkich nachyleń ściany aż do poziomej stały kąt 62°, zgodnie z doświadczeniem Gobina. Dalsze ryciny 22. do 25. przedstawiają ruchy ściany, leżące po za obrębem naszych rozpatrywań, dlatego nie uwzględnimy dotyczących tabel 21. i 22. Zdaje się, że tu wytwarzają się dwie powierzchnie odłamu, z których druga jest bliżej ściany położona. Możliwość takiego objawu nie jest wykluczona, gdyż przy pierwszym najmniejszym ruchu ściany wytworzy się naprzód ta druga powierzchnia, a skoro przy dalszym ruchu materiał wzdłuż tej powierzchni się zesunie, dalsze zesunięcie nastąpi wzdłuż pierwszej powierzchni. Dla parcia w spokoju ta druga powierzchnia oczywiście nie ma znaczenia.

W serji doświadczeń ze ścianą ku wnętrzu pochyloną (24. tabela) okazało się zmniejszanie kąta z 60° na 43° . Ten kąt mniej więcej zgadza się z kątem, który płaszczyzna połowiąca kąt między ścianą a skarpią naturalną zawiera z poziomem.

Ubijany piasek okazał dla pionowej ściany kąt 70° , a dla silnie na zewnątrz pochylonej ściany 74° i 75° (?).

b. *Wznoszące się odgraniczenie powierzchni.* Zestawienie doświadczeń zdaje się na to wskazywać, że trudno dla tego przypadku otrzymać dokładne wyniki. Bo jeżeli przy tem samym nachyleniu ściany otrzymuje się kąty 44° i 53° (30. tabela), a między mało różniącemi się nachyleniami kąty 45° i 58° (34. tabela), to niknie zaufanie do doświadczeń. Ale właśnie 30. tabela okazuje zresztą, że nachylenie płaszczyzny odłamu dla wszystkich kątów nachylenia powierzchni ϵ , jakoteż dla wszystkich nachyleń ściany na zewnątrz, tylko nieznacznie się zmienia. Przy poziomie przesuwaniu ściany jest on mniejszy niż dla poziomego odgraniczenia, jednakże przy przesuwaniu w dół znów otrzymuje się kąt 59° (32. tabela) i to dla wielkiego kąta $\epsilon = 30^\circ$. W każdym razie jest twierdzenie, jakoby przy pochyleniu odgraniczenia pod kątem tarcia płaszczyzna odłamu spadała ze skarpią naturalną, nieprawdziwe; także nie zgadza się podawana wartość $\gamma = \frac{\nu + \varphi}{2}$ z doświadczeniami (Ob. § 35,3).

c. *Spadające odgraniczenie powierzchni.* Wyniki są zanadto niepewne (34. tabela). Należy jednak stwierdzić, że przy pionowej ścianie i nachyleniu odgraniczenia pod kątem $\epsilon = -22^\circ$ uzyskano dla śrutu kąt 58° (34. tabela).

d. *Odpór.* Dotyczące doświadczenia są dla nas zupełnie nieprzydatne. My rozpatrujemy stan poprzedzający wszelki ruch w zespole; tu jednak naciskano na ścianę tak długo, jak długo jeszcze nowe powierzchnie odłamu się tworzyły. Zdarzało się aż do sześciu takich powierzchni, a ich nachylenia schodziły poniżej kąta tarcia.

§ 34. *Doświadczenia Müller-Breslau'a.* Te doświadczenia wykonane doskonałymi przyrządami są jedyne, na których dokładności można polegać. Szkoda tylko, że sypanie piasku uskuteczniano w ukośnych warstwach, przezco wprowadzono nie-

potrzebną komplikację, która i z rzeczywistością nie ma wspólności, gdyż poza murami oporowymi i przyczółkami sypianie poziome i ugniecione środkami transportowymi okazało się najlepsze.

Gęstość stosowanego, lekko usypanego piasku wynosiła 1·58, a wzruszanego 1·60. Ponieważ gęstość w większym zespole bardziej się zbliża do gęstości wzruszanego piasku, to wprowadzimy gęstość 1·60. Kąt skarpy naturalnej wyznaczono na 32° , kąt tarcia był zdaje się większy.

Właściwości przeprowadzenia doświadczeń będą później omawiane (§ 35,5); na razie podamy tylko wyniki. Wysokość usypanego piasku w skrzyni wynosiła 0·744 m, szerokość 1·015 m. Ciśnienie na 1 m wysokości i szerokości otrzyma się przez podzielenie wyników doświadczeń liczbą $(0·744)^2 \cdot 1·015 \cdot 1600 = 930$. Parcie wyznaczono tylko na pionową ścianę.

1. Doświadczenie (str. 139). Powierzchnia nachylona pod kątem ϱ na wewnątrz ($\varepsilon = -\varrho$). Parcie wyniosło 89 kg + 5 kg dodatku na tarcie o boczne ściany*), razem 94 kg, więc $p = 94 : 930 = 0·101$ kg. Gdy δ wyniosło średnio 27° , to $p \cos \delta = 0·090$. Dla punktu przyłożenia parcia otrzymano $s = 0·313$ H.

2. Doświadczenie (str. 140). Na poprzednie usypanie nadsypano do $\varepsilon = -\frac{1}{2}\varrho$. Średnio otrzymano 106·5 + 7 kg dodatku, razem 113·5 kg; zatem $p = 0·122$, a dla $\delta = 27^\circ$, $p \cos \delta = 0·109$ kg; $s = 0·33$ 1 H.

3. Doświadczenie (str. 141). Dalej nadsypano do $\varepsilon = 0$. Średnia z sześciu odczytów dała 127·3 + 10 kg dodatku, razem 137·3 kg. Jest więc $p = 0·1476$, $p \cos \delta = 0·1313$, $s = 0·352$ H.

Dalsze doświadczenia dla tego przypadku (str. 145 do 148) wykazały 132 do 137 kg bez dodatku; jeżeli stosownie do powyższego wprowadzimy dodatek 10·8 kg, to otrzymamy p między 0·1476 i 0·1580 kg**); $p \cos \delta$ 0·1313 do 0·1406. Średnio $p = 0·153$, $p \cos \delta = 0·136$, $s = 0·354$ H.

4. Doświadczenie (str. 151). Dla przypadku wznoszenia się odgraniczenia powierzchni pod kątem $\varepsilon = +\frac{1}{2}\varrho$ otrzymano 195 kg i $\delta = 27^\circ$, więc $p = 0·210$, $p \cos \delta = 0·187$, $s = 0·375$ H.

*) Obrachowanie tych dodatków jest niepewne. Müller-Breslau zapowiada doświadczenia, w których będzie wyeliminowany wpływ tarcia o boczne ściany (str. 138).

**) Wielka, 7% wnosząca różnica, jest godna zaznaczenia.

5. Doświadczenie (str. 146). Obciążenie ciężarem 314·4 kg. Parcie wyniosło 301·5 kg bez dodatku; $p = 0\cdot342$, $p \cos \delta = 0\cdot289$, $s = 0\cdot464$ H.

6. Doświadczenie (str. 146). Obciążenie wyniosło 418·8 kg. Parcie wyniosło 324 kg bez dodatku; $p = 0\cdot348$, $p \cos \delta = 0\cdot310$, $s = 0\cdot438$ H.

7. Doświadczenie (str. 149). Obciążenie jednostajne 362 kg/m². Parcie wyniosło 213·5 kg. Jeżeli się doda 17 kg dodatku, obrachowanego stosunkowo podług dodatku z 3. doświadczenia, to parcie wynosi 230·5 kg. δ średnio 26°30'. Zatem $p = 0\cdot248$, $p \cos \delta = 0\cdot222$, $s = 0\cdot395$ H. Po usunięciu obciążenia pozostało jeszcze ciśnienie 177 + 13 kg dodatku, razem 190 kg, δ średnio 16°30', $p = 0\cdot204$ kg (o 33% większe niż przed obciążeniem), $p \cos \delta = 0\cdot196$, $s = 0\cdot371$ H.

To samo doświadczenie było powtórzone. Otrzymano parcie 216 kg, dodatek 16 kg, więc razem 232 kg. δ jak pierwiej. Zatem $p = 0\cdot250$, $p \cos \delta = 0\cdot224$ kg, $s = 0\cdot414$ H. Po odciążeniu: parcie 178 + 13·5 kg dodatku, razem 191·5 kg, $\delta = 17^{\circ}40'$ (większy niż przedtem), $p = 0\cdot206$, $p \cos \delta = 0\cdot196$ kg, $s = 0\cdot377$ H. Albo średnia z obydwu doświadczeń: $p = 0\cdot249$, $p \cos \delta = 0\cdot225$, $s = 0\cdot405$; po odciążeniu: $p = 0\cdot205$, $p \cos \delta = 0\cdot196$, $s = 0\cdot374$ H.

8. Doświadczenie (str. 151). Doświadczenia robione z gładką ścianą wykazały $\delta = 21^{\circ}$ i następujące wyniki:

ε	p	$s : H$
— ϱ	0·097	0·31
— $\frac{1}{2}\varrho$	0·129	0·33
0	0·151	0·38
+ $\frac{1}{2}\varrho$	0·215	0·40

Są one o kilka procentów większe niż dla szorstkiej ściany.

9. Doświadczenia fotograficzne (str. 133). One mają na celu skonstatowanie położenia powierzchni odłamu. Ryciny 100 i 102 okazują dla powierzchni od ściany spadającej nachylenia 58° i 59°, więc mniej więcej takie, jak je otrzymali Gobin i Forchheimer dla poziomej powierzchni. Rycina 101 okazuje dla poziomej powierzchni i nachyleniu ściany ku wnętrzu mniejszy kąt, podobnie jak Forchheimer. Ten kąt wynosi około 49°. Rycina 103, reprodukowana na

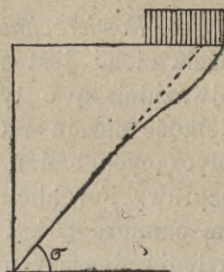
obok umieszczonej ryc. 22., okazuje pionową ścianę i poziomą obciążoną powierzchnię. Powierzchnia odłamu jest w dolnej części znów pod kątem 59° nachylona, co jest dowodem, że obciążenie nie ma wpływu na jej położenie, a tylko w górnej części odchyła się z powodu, że obciążenie sięga poza odłam. Ten objaw jest omówiony w § 20.

§ 35. *Rozpatrzenie wyników doświadczeń.*

1. *Gęstość materiału.* We wszystkich doświadczeniach wyznaczano gęstość dla zbyt małych ilości piasku, dlatego wypadła za mała. Przyczyna tego leży w próżnych miejscach, które wywierają znaczny wpływ przy małych wymiarach, zaś przy wielkich zespołach są prawie bez znaczenia, gdyż znajdują się tylko w górnych warstwach. Szczególnie wyraźnie okazuje się ten objaw u Forchheimera, u którego dla użytego piasku stosunek $\gamma : \gamma_0 = 0.545$ jest mniejszy, niż najmniejszy podług naszej I. tabeli, odpowiadający wartości $\zeta = 0.2$. Najbliżej prawdy jest prawdopodobnie gęstość wzruszanego piasku u Müller-Breslau'a. Niestety ani on ani Gobin nie podali gęstości ziarna γ_0 .

Podług Darwina i Forchheimera wynosi stosunek gęstości ubitego do luźno sypanego piasku 1:107.

2. *Skarpa naturalna i kąt tarcia.* Od dawna przyzwyczajaliśmy się uważać, że kąt nachylenia skarpy naturalnej jest równy kątowi tarcia. Tak jednak nie jest. Skarpa naturalna jest to układ ziarna o tak stałej równowadze, że nawet drobne wstrząśnienia nie są w stanie jej naruszyć (§ 7.). Jeżeli zatem materiał się usypuje aż do wytworzenia najstromej skarpy, a potem podda się go lekkim wstrząśnieniom, to się otrzyma prawdziwą wartość nachylenia skarpy równowagi, zwanej skarpią naturalną. Na tę skarpię można jednakże nakładać dalszy materiał tak długo, dopóki ziarna na niej leżące potrafią zapomocą tarcia utrzymać się w granicznym stanie równowagi. Kąt nachylenia takiej skarpy jest kątem tarcia. On utrzyma się, jeżeli pełne po brzegi naczynie będzie się powoli nachylało, aż się pokażą pierwsze ruchy piasku. Ponieważ w przytoczonych



Ryc. 22.

doświadczeniach wyznaczenie kąta tarcia uskuteczniiano przez usypanie skarpy, to otrzymano kąt tarcia za mały a kąt nachylenia skarpy naturalnej za wielki (Ob. § 36,2).

3. *Powierzchnia odłamu.* Najbardziej sporną kwestją w teorii parcia ziemi jest nachylenie powierzchni odłamu, a zarazem najważniejszą o tyle, że od niej w pierwszym rzędzie zależy wielkość parcia na ścianę. Interesujące zestawienie wyników dotyczących badań wielu teoretyków znajduje się na str. 121. rozprawy Forchheimera, dla poziomej powierzchni. Jeżeli jak tam oznacza φ kąt tarcia, ν kąt nachylenia ściany, γ kąt nachylenia płaszczyzny odłamu do poziomu, to dla pionowej ściany okazuje zestawienie przeważnie $\gamma = \frac{90^\circ + \varphi}{2}$, więc mniej więcej zgodnie z doświadczeniem. Natomiast różnią się wartości γ dla ścian pochylonych. Niektórzy autorowie przyjmują $\gamma = \frac{\nu + \varphi}{2}$, inni $\gamma = \frac{90^\circ + \varphi}{2}$ dla pewnych wartości ν i φ' (dla tarcia na ścianie); znów inni, jak Mohr, Rankine, Considères i Weyrauch ustanawiają $\gamma = \frac{90^\circ + \varphi}{2}$ dla ν między 90° a 180° , więc tak samo jak dla ściany pionowej. Doświadczenia pouczają, że ta stała wartość jest prawdziwa. Gobin stanowczo twierdzi, że on znalazł tę wartość niezależną od nachylenia ściany. To samo potwierdziły doświadczenia Müller-Breslau'a. Ob. § 14. Z rozlicznych doświadczeń Forchheimera nie można, pomimo niepewności spowodowanej zbyt wielkimi ruchami ściany, wyciągnąć innego wniosku, jak że kąt nachylenia płaszczyzny odłamu dla dowolnie nachylonej powierzchni, jakoteż dla dowolnego nachylenia ściany na zewnątrz posiada stałą wartość między 58° a 62° . Różnica 4° od tego zależy, który z układów posiada przewagę w zespole. Dla powierzchni od ściany spadającej i ściany pionowej okazują fotografie Müller-Breslau'a również kąty 58° i 59° .

Na ten kąt nie wpływa obciążenie, a także zdaje się być od materiału niezależny, skoro Forchheimer znalazł dla ołowianego śrutu o bardzo małym kącie tarcia także 58° . Gdzie ten kąt otrzymał wartości ponad 62° był albo wpływ spójności nie wykluczony ($65^\circ 46'$ dla piaszczystej ziemi, Gobin, str. 187), albo

było przy tych wielkich ruchach ściany utworzenie drugiej płaszczyzny odłamu prawdopodobne.

Tylko dla ściany ku wnętrzu pochylonej okazał się podług doświadczeń Forchheimera i fotograficznych zdjęć Müller-Breslau'a kąt zmniejszający się, czem większe nachylenie ściany. Spróbujmy ten objaw wytłómaczyć. W zespole kulowym znajduje się stroma płaszczyzna w granicznym stanie równowagi; jednakże jeżeli ona jest przykryta innym, w stanie równowagi będącym materiałem, to jej równowaga będzie stałą. W zespole piasku powierzchnia stroma nigdy bez przykrycia nie utrzyma się w równowadze. Jeżeli zatem ku wnętrzu nachylona ściana podda się, albo będzie poruszana, to naruszenie równowagi powierzchni odłamu tem łatwiej nastąpi, im ona mniej jest przykryta, to znaczy, im bardziej ściana jest od pionu odchylona. Wtedy musi się utworzyć druga powierzchnia odłamu, o mniejszym kącie nachylenia. To rozumowanie odnosi się tylko do przypadku, gdy ściana się porusza, bo dla stanu spokoju nie istnieje przyczyna do tworzenia się drugiej powierzchni odłamu, skoro pierwsza jest stale przykryta materiałem, znajdującym się przez podpierającą ścianę w stanie stałej równowagi.

Na podstawie powyższych rozważań można zatem przyjąć jako pewnik, że nachylenie powierzchni odłamu mieści się w stanie spokoju między ciasnemi, od układu ziarn piasku zależnemi granicami i nie zależy ani od nachylenia ściany, ani od obciążenia, ani od odgraniczenia powierzchni.

Zdaje się, że ono nie zależy również od kąta tarcia, a zatem od materiału; to jednak należy stwierdzić obszernemi doświadczeniami.

Takie samo nachylenie, jak dla nieograniczonego zespołu wykazały doświadczenia Forchheimera dla zespołu między blisko ustawionemi ścianami (skrzydła równoległe przyczółków). Jest to jeden dowód więcej, że to nachylenie nie jest zależne od kształtu odgraniczenia powierzchni.

Nareszcie okazuje także zdjęcie fotograficzne Müller-Breslau'a, że na jego wielkość nie wpływa obciążenie zespołu.

Dwa doświadczenia Forchheimera wykazały dla silnie ubitego materiału kąt 70° . Powyżej skonstatowana niezmiennosc

nachylenia powierzchni odłamu jest w zupełnej niezgodzie z obecną teorią parcia ziemi, która wykazuje to nachylenie zmienne z nachyleniem ściany i naziomu. Toteż wyniki tej teorii nie mogą być zgodne z rzeczywistością, a nawet są znacznie mniejsze niż wyniki doświadczeń Müller-Breslau'a, pomimo że one jeszcze nie wykazały największych wartości parcia ziemi, z przyczyn pod 5. podanych.

4. *Wpływ ukośnego sypania.* Tylko Darwin badał ten wpływ i znalazł, że parcie jest większe lub mniejsze, stosownie do nachylenia sypania ku ścianie lub od ściany, Jednakże dotyczące doświadczenia nie są bez zarzutu.

5. *Wielkość parcia ziemi i jego punkt przyłożenia.* Doświadczenia Darwina i Gobina wykazują wprost, a Müller-Breslau'a pośrednio, że po pierwszym najłżejszym ruchu ściany parcie raptownie się zmniejsza. Ponieważ nie jest możliwe uchwycenie tego pierwszego ruchu, to wszystkie doświadczenia wykazują mniejsze parcie, niż parcie w spokoju. Największe wartości otrzymał Müller-Breslau; one przenoszą przez Darwina otrzymane o 50%, od Gobina otrzymane w najlepszym razie o 12%; one przekraczają również wartości obrachowane podług istniejącej teorii. Są one zatem jedyne, które dla naszych celów uwzględnić należy, dlatego je bliżej omówimy.

Müller-Breslau przedsięwziął swoje doświadczenia w tym celu, by dojść do największej wartości parcia ziemi, t. j. parcia w spokoju, więc tej wartości, którą pod A wyznaczyliśmy dla zespołu kulowego. Jednakże on nie doszedł do zamierzonego celu, gdyż prawdziwa wielkość najpierwszych odchyień ściany także w jego doświadczeniach nie mogła być zmierzona. Gdy po tem odchyleniu nastąpiło raptowne zmniejszenie parcia na ścianę, to ściana będąca pod naciskiem sprężyn cofnęła się, a przeto pierwotny wymiar odchylenia zmniejszyła. Z poprzednich rozpatrywań wynika (§ 24 i 25), że zmniejszenie parcia powstało wskutek oporów tarcia, wywołanych ruchem ściany. Jeżeli ściana się cofa, to albo te opory się zmniejszą, tak że pod wpływem pozostałych oporów nastąpi obniżenie punktu przyłożenia parcia aż poniżej trzeciej trzeciej części ściany, — albo też nastąpią inne stosunki, które powodują podniesienie się punktu przyłożenia ponad położenie dla nieobciążonego zespołu (§ 25.). Znamienny jest objaw, że

z wzrostem kąta nachylenia powierzchni ε następuje podnoszenie się punktu przyłożenia parcia (§ 34.).

6. *Kierunek parcia ziemi.* Ponieważ przy wszystkich przytoczonych doświadczeniach było wyzyskane tarcie piasku o ścianę, to otrzymano nachylenie parcia większe niż dla parcia w spokoju. To samo dotyczy doświadczeń Müller-Breslau'a, gdyż przy pierwszym poddaniu się ściany, nim jeszcze jej cofnięcie nastąpiło, były na dynamometrach odczyty dobre tylko dla wyznaczenia wielkości parcia, natomiast dla kierunku okazywały stan, który nastąpił po poddaniu się ściany, a zatem podług § 25. za wielki, którego wartość dochodziła prawdopodobnie blisko kąta tarcia. Podany kąt 27° był już mniejszy, gdyż po cofnięciu się ściany zostało wywołane na ścianie tarcie w odwrotnym kierunku, które kąt δ zmniejszyło. Dla parcia w spokoju tarcie w grę nie wchodzi, więc δ jest w rzeczywistości znacznie mniejsze (§ 14.).

Że Müller-Breslau skonstatował niezależność kierunku od pochylenia naziomu, wspomniano w § 14.

7. *Położenie punktu przyłożenia parcia.* W luźno usypanym, płasko odgraniczonym zespole wzniesie się punkt przyłożenia ponad dolną trzecią część ściany, bo górne warstwy posiadające mniejszą gęstość i próżnie wywierają większe parcie. Jednakże przy większych wysokościach ściany ten wpływ jest mały, więc można przyjąć punkt przyłożenia w dolnej trzeciej części ściany.

8. *Obciążenie i odciążenie zespołu.* Doświadczenia z obciążonym zespołem wykonał tylko Müller-Breslau. Z tych doświadczeń należy podnieść, że także ciężar poza obrębem odłamu położony pewien wpływ wywiera (doświadczenie na str. 147), i że po odciążeniu część parcia wywołanego obciążeniem pozostaje, a punkt przyłożenia zmienia swoje położenie. Przyczyny tych objawów w kulowym zespole były omawiane w § 21. i 22.

9. *Odpór.* Doświadczenia z odporem wykonał Forchheimer w sposób nie dający się wyzyskać dla naszych celów. Czy inne doświadczenia z odporem były wykonywane, nie jest mi wiadome.

§ 36. *Porównanie zespołu piaskowego z kulowym.*

1. *Gęstość.* Różna wielkość ziarn piasku spowoduje, że drobniejsze ziarna wypełnią wolne przestrzenie między większemi

ziarnami, wobec czego przy równej wielkości modułu gęstości ζ , gęstość piasku będzie większa niż zespołu kulowego.

Jeżeli się wprowadzi zgodnie z Darwinem i Forchheimerem stosunek gęstości 1·107 zgęszczonego do luźnie usypanego piasku; jeżeli następnie przyjmie się dla zgęszczonego piasku ζ blisko zera, więc około 0·05, to podług I. tabeli $\gamma : \gamma_0 = 0·6896$, a dla luźnego materiału otrzyma się $\gamma : \gamma_0 = 0·6896 : 1·107 = 0·6230$. Tej wartości odpowiada $\zeta = 0·13$. Tę wartość dla ζ w dalszym ciągu wprowadzimy. Dla danego materiału wyznaczy się stosunek $\gamma : \gamma_0$ i znajdzie dokładną wartość ζ podług I. tabeli.

2. *Skarpa naturalna i kąt tarcia.* Podług § 35,2 wykazały doświadczenia za wielki kąt σ_0 skarpy naturalnej. Dla układów AI i AII zespołu kulowego otrzyma ten kąt następujące wartości:

Materiał zgęszczony: $\sigma_0 = 27^{\circ}4'$ do $33^{\circ}15'$, średnio $30^{\circ}30'$
 „ luźny: $\sigma_0 = 24^{\circ}55'$ do $30^{\circ}9'$, „ $27^{\circ}30'$

Styczne tych kątów 0·59 i 0·52 mieszczą się w granicach pochyleń skarp używanych dla nasypów, mianowicie 2 : 3 = 0·667 i 1 : 2 = 0·50, przyczem zauważyć należy, że z powodu spójności i zgęszczenia spowodowanego ubijaniem przez środki transportowe, skarpy nasypów mogą być stromsze. Dla równowagi zespołu na podstawie mogą być stosowane wzory § 8.

O ile większy może być kąt tarcia niż σ_0 , wykaże rozpatrzenie zespołu kulowego. Podług § 7. oznaczyliśmy skarpe równowagi jako taką, na której leżące kule nie doznają żadnego obciążenia. Jeżeli na ryc. 1. (lub 5.) na stopniach tej skarpy ułożymy jeszcze rzędy kul tak, że pierwsza kula każdego stopnia zostanie kulą obciążoną, to w piasku ziarno obciążające utrzyma się w równowadze zapomocą tarcia. Dla tego przypadku (układ AI) jest tangens kąta nachylenia skarpy = 0·5 tang σ , zamiast 0·4 tang σ , więc np. dla $\sigma_0 = 28^{\circ}$ jest $\varphi = 33^{\circ}37'$. Różnica $5^{\circ}37'$ między φ a σ_0 jest znaczna, może być jednak jeszcze większa. (Ob. także § 31.)

3. *Kąt nachylenia płaszczyzny odłamu.* Dla luźno sypanego materiału dały doświadczenia dla tego kąta 58° do 62° . Średnia rachowana dla $\zeta = 0·13$ wyznacza 58° , sięga jednak dla układu AII powyżej 62° (III. tabela). Dla zgęszczonego materiału zna-

laż Forchheimer 70° ; średnia dla $\zeta = 0.05$ daje 61° i dochodzi dla układu AII do 69° . U Forchheimera mogła już wejść w grę spójność materiału. Kąt odłamu będzie większy lub mniejszy, stosownie do przewagi układu AI lub AII. Większe wartości mógłby ktoś chcieć przypisać działaniu tarcia, gdyby nie było dowiedzione doświadczeniem Forchheimera, że dla śrutu, o bardzo małym tarcu, ten kąt wynosił również 58° .

Zgodność zespołu piaskowego z kulowym jest zatem zadowalająca. Jeżeliby można przez doświadczenia jeszcze dowieść, że nachylenie płaszczyzny odłamu jest także od materiału niezależne, toby nachylenie płaszczyzny odłamu w spokoju zależało jedynie od rodzaju układu. Wtedy byłaby zgodność z zespołem kulowym zupełna.

Nareszcie należy podnieść, że w żadnym doświadczeniu nie skonstatowano, żeby powierzchnia odłamu nie była płaską.

4. *Parcie ziemi w spokoju.* Widzieliśmy właśnie, że kąt nachylenia płaszczyzny odłamu piasku jest prawie (a może nawet dokładnie) równy takiemu kątowi w zespole kulowym, przezco powierzchnie odłamów stają się dla obu materiałów równe. Następnie należy zauważyć, co doświadczenia stwierdziły, że przy poddaniu się ściany ziarnka piasku zesuwać się równoległe do powierzchni odłamu, zaś w zespole kulowym ciśnienie na ścianę jest również równoległe do powierzchni odłamu. Gdy zatem w obu zespołach kierunek i wielkość parcia są zgodne, to wolno twierdzić, że parcie w spokoju piasku można obrachować podług wzorów ustawionych dla zespołu kulowego. Również można stosować sposoby wykreślne, podane w § 28., przyczem zauważyć należy, że są one najprostsze ze wszystkich dotychczas używanych.

Kąt δ dla kierunku parcia obierze się na razie podług wz. 29. lub 29 a., nim dokładniejsze doświadczenia jego wielkość ustalą. Jednakże różnica w tym kącie, wynosząca parę stopni, tylko nieznacznie wpływa na wielkość parcia. W zespole przeważa to jeden to drugi układ, co także doświadczenia potwierdzają, gdyż przy powtarzaniu doświadczeń z tym samym materiałem otrzymano w ciasnych granicach różniące się wartości tak dla kąta nachylenia płaszczyzny odłamu, jak dla wielkości parcia. (Ob. przypisek na str. 53).

O ile powyższe przyjęcia służące za podstawę do obrachowania parcia w spokoju, są prawdopodobne, wykażą porównania rachowanych wartości parcia z otrzymanymi z doświadczeń. Rachowane, jako odpowiadające parciu w spokoju, powinny być zawsze większe.

Do § 31. Doświadczenia wykazały zanadto małe wartości. Co do różnicy w wielkości parcia ziemi przy sypaniu ukośnem ku ścianie lub od ściany, to doświadczenia Darwina dały wynik odwrotny niż dochodzenia teoretyczne w § 13. Jednakże wykonanie doświadczeń było zbyt niedokładne, a różnice otrzymane są zbyt małe, aby na ich podstawie można stwierdzić pewne prawidło.

Do § 32,1. Wyznaczono tylko poziomą składową, o której z góry było wiadome, że jest za mała. Z rachunku wypadło $p \cos \delta = 0.160$, z doświadczenia 0.130 , zatem dał rachunek wynik o 23% większy.

Do 2. Z doświadczenia $p \cos \delta = 0.029$. Dla obrachowania odpada układ AII, bo σ jest większe niż nachylenie ściany ku wnętrzu. Jako średnia pozostaje zatem połowa wartości parcia dla AI. Rachunek wykazał $p \cos \delta = 0.0333$, więc więcej o 14%. Zatem także dla ściany tak silnie na wewnątrz pochylonej okazało się parcie w spokoju większe, pomimo że doświadczenia wykazały dla takich ścian mniejsze nachylenie powierzchni odłamu.

Do 3. i 4. Dla parcia w spokoju z małym kątem δ nie może istnieć równowaga. Tutaj zapewne nastąpił ruch ściany przed ukończeniem usypania.

Do 5. Przy wartości kąta $\delta = 5^\circ$ dla gładkiej ściany wynosi moment parcia 0.02547 kgm; dla $\delta = 14^\circ$ dla szorstkiej ściany moment równy o 0.01809 kgm. Różnica momentów pomnożona przez $\gamma = 1560$ kg wynosi 11.5 kgm, wobec 10.0 kgm otrzymanych z doświadczenia.

Doświadczenia Müller-Breslau'a, podług § 34. Przy porównaniu sypkiej ziemi z kulowym zespołem należy przy tych doświadczeniach zauważyć, że stosownie do poprzednich wywodów dają one za małe parcie a za wielki kąt δ . Stąd tak wielkie różnice pochodzą między wartościami $p \cos \delta$ obrachowanymi (podług $\delta = 14^\circ$) a otrzymanymi z doświadczeń. Następnie punkt przyłożenia parcia miał inne położenie przy

pierwszem poddaniu się ściany, a inne po cofnięciu się ściany, tak że daty odnoszące się do tego położenia również nie mają wartości dla parcia w spokoju.

- Do 1. $\varepsilon = -32^\circ$, $p = 0.1180$, o 17% większe niż doświadczenie
 $p \cos \delta = 0.1145$, o 27% " " "
- Do 2. $\varepsilon = -16^\circ$, $p = 0.1390$, o 14% " " "
 $p \cos \delta = 0.1349$, o 24% " " "
- Do 3. $\varepsilon = 0$, $p = 0.1648$, o 8%*) " " "
 $p \cos \delta = 0.1599$, o 18% " " "
- Do 4. $\varepsilon = +16^\circ$, $p = 0.2040$, o 3% mniejsze " " "
 $p \cos \delta = 0.1979$, o 6% większe " "

W tem ostatniem doświadczeniu jest rachowana średnia p mniejsza niż z doświadczenia. Otóż dla układu A1 jest $p = 0.2288$, więc o 9% większe niż doświadczenie. Widocznie więc w tym zespole miał układ A1 przewagę. Tu było odchylenie ściany znaczne, więc prawdopodobnie cały pryzmat odłamu się zesunął. Nastąpił nowy układ i dlatego wartość parcia uzyskana doświadczeniem jest prawdopodobnie do wartości parcia w spokoju bardzo zbliżona.

Do 5. Obciążenie 314.4 kg, $p = 0.3559$, większe o 10%,
 $p \cos \delta = 0.3453$, większe o 20%, $s : H = 0.493$, wobec 0.464.

Do 6. Obciążenie 418.8 kg, $p = 0.4193$, większe o 20%,
 $p \cos \delta = 0.4068$, większe o 31%, $s : H = 0.457$, wobec 0.438.

Do 7. Obciążenie całkowite 362 kg m², $p = 0.2930$; większe o 18% niż przy pierwszym, a o 16% niż przy powtórzonem doświadczeniu; $p \cos \delta = 0.284$, większe o 27%; $s : H = 0.4063$, wobec 0.395 przy pierwszym, a 0.414 przy powtórzonem doświadczeniu.

Doświadczenia 5, 6. i 7. z obciążonym naziomem wykazują większe różnice między rachunkiem a doświadczeniem, pomimo że tu były wielkie odchylenia ściany, przeto bogdaj częściowy nowy układ nastąpił. Dowodzi to słuszności twierdzenia z § 21., że mianowicie obciążenie należy do rachunku wprowadzić w zmniejszonej wartości; następnie dowodzą te doświadczenia, że wpływ obciążenia na wartość p maleje w stosunku oddalenia obciążenia od krawędzi ściany, również zgodnie z § 21.

*) Właściwie między 11.6 i 4.3%.

W 7. przykładzie mogło być obniżenie punktu przyłożenia, spowodowane wstecznym ruchem ściany, zrównoważone wpływem stożków rozdzielczych, tak że rachowana wartość s zgadza się z uzyskaną z doświadczeń.

Do 8.	$\varepsilon = - 32^{\circ}$,	$p = 0.1263$,	większe o	30%
	$\varepsilon = - 16^{\circ}$,	$p = 0.1488$,	"	"
	$\varepsilon = 0$,	$p = 0.1760$,	"	"
	$\varepsilon = + 16^{\circ}$,	$p = 0.2175$,	"	"

Do ostatniego doświadczenia odnosi się to samo, co przy 4. doświadczeniu powiedziano.

Także wzniesienie się punktu przyłożenia w 3. i 4. doświadczeniu znajduje uzasadnienie na końcu § 21. Następnie jest przez 7. doświadczenie udowodnione twierdzenie z § 22., że po odciążeniu jeszcze pozostaje zwiększone parcie ziemi.

Powyższe doświadczenia w całości potwierdzają wyniki dochodzeń, zawarte w § 24. i 25.

Dla ściany na zewnątrz pochylonej niema doświadczeń. O ile dla tego przypadku powyższe przyjęcia dadzą się zastosować, muszą dalsze doświadczenia wykazać. Dla odporu także brak doświadczeń.

5. *Wpływy zewnętrzne.* Ponieważ dla tej samej wartości ζ gęstość piasku jest prawdopodobnie trochę większa niż zespołu kulowego, to zwiększenie parcia spowodowane przesiąknięciem wodą może nie osiągnie 66% .

Wyniki innych wpływów zewnętrznych, omawianych dla zespołu kulowego, można wprost do piasku zastosować.

§ 37. *Możliwość wyznaczenia parcia w spokoju przez doświadczenie.* W tych dla parcia w spokoju jedynie do rozpatrywania możliwych doświadczeniach Müller-Breslau'a otrzymano parcie za małe, a kąt δ za duży, bo nie pierwszy ruch ściany był mierzony, lecz po cofnięciu się ściany. Otóż sądzę, że nie byłoby niemożliwe ustalenie pierwszego ruchu ściany, gdyby obok mierników sprężynowych ułożono czopy z tarciami w rurkach się poruszające, któreby wraz ze ścianą się przesunęły, a w wstecznym ruchu nie brały udziału. Podług mierzonych przesunięć czopków obrachuje się wielkość parcia i wyznaczy jego nachylenie. Przytem musiałby wpływ tarcia o boczne ściany skrzyni albo być wyłączony, albo należycie uwzględniony.

§ 38. *Obrachowanie parcia w spokoju.* Porównania przeprowadzone w § 36. dla wszystkich przypadków nieobciążonego i obciążonego zespołu, objętych doświadczeniami, wykazują, że rachowane wartości są większe, tak jak być powinno. One także tłumaczą, dlaczego punkt przyłożenia parcia w nieobciążonym zespole z dolną trzecią częścią się nie zgadza, a w obciążonym zespole doznaje obniżenia. W ten sposób jest dowiedzione, że przyjęcia, na których oparto obrachowanie, są prawdopodobne. Doświadczenia, któreby dozwoliły wprost wielkość parcia w spokoju wyznaczyć, te przyjęcia poprawią; sądzą jednak, że większe różnice się nie okażą.

Przebieg obrachowania parcia w spokoju jest następujący :

Podług § 12. obrachuje się g i p dla układów AI i AII, przyczem należy wprowadzić (luźno sypany materiał)

dla AI	dla AII
$\sigma = 49^{\circ}17'$	$66^{\circ}43'$
$\omega = 66^{\circ}43'$	$49^{\circ}17'$

δ wyznaczy się podług wz. 29 a.

Podług wartości p_I i p_{II} dla obu układów, wyznaczy się

$$p = \frac{p_I + p_{II}}{2}.$$

Dla małych wartości kąta ψ (ryc. 9.) służy wzór 27 a. Do obciążonego zespołu odnoszą się wzory 20. i 21. z uwagą, że obciążenie nie wpływa na wielkość parcia całą swoją wartością. Wpływ przesiąknięcia wodą wyznaczy się podług wz. 23., odpór podług wz. 24.

Nareszcie nadmienić należy, że wyznaczenie parcia w spokoju sposobem wykreślnym podług § 28 jest bardzo proste.

Przypadek, gdy ściana jest ku wnętrzu nachylona ($\psi \geq 90^{\circ}$), wymaga jeszcze rozpatrzenia. Jeżeli ściana spada ze stromą płaszczyzną układu AII ($\psi = 180^{\circ} - 66^{\circ}43' = 113^{\circ}17'$), to ciśnienie tego układu jest równe zeru; dla większych nachyleń wprowadzi się zatem $p = \frac{p_I}{2}$ (ob. § 36. do § 32,2). Jeżeli ściana spadnie ze stromą płaszczyzną układu AI ($\psi = 180^{\circ} - 49^{\circ}17' = 130^{\circ}43'$), to także $p_I = 0$, więc dla większych nachyleń zespół nie wywiera parcia. To się odnosi do luźno usypanego zespołu. Dla ubitego piasku są powyższe kąty ψ mniejsze.

§ 39. *Czy parcie w spokoju ma być wprowadzone do obrachowania wymiarów murów oporowych i przyczółków?* Ziemia usypana poza murem doznaje przez dłuższy czas ruchów, spowodowanych jej osiadaniem się. Ponieważ ten proces zużytkowuje tarcie na ścianie, to parcie jest mniejsze niż parcie w spokoju. Po ukończonym procesie osiadania doprowadzę wstrząśnienia do nowego układu zespołu. Ponieważ w tym stanie ściana już się nie podda, to wytwarza się przez dalszy czas istnienia muru parcie w spokoju, chyba że wpływy zewnętrzne ten stan zmieniają. To przedstawienie wykazuje dowodnie, że mury należy obrachować podług parcia w spokoju. Za tem przemawia także ta okoliczność, że wzory dla parcia w spokoju ustawione obejmują wszystkie przypadki, jak dowolnego odgraniczenia zespołu, zgęszczenia materiału, nachylenia ściany (na razie także ku wnętrzu), jakoteż obciążenia; w takim zakresie, jak wiadomo, istniejące teorie nie mają zastosowania.

§ 40. *Obrachowanie wymiarów murów oporowych i przyczółków.* Parcie ziemi wyznacza się podług gotowych na istniejącej teorii opartych tabel, np. znanych tabel Ott'a, przyczem nachylenie parcia do prostopadłej do ściany przyjmuje się podług Häselera *) pod kątem tarcia między ziemią a ścianą, podług innych pod mniejszym, zresztą dowolnej wielkości kątem. W doświadczeniach powyżej przytoczonych wynosił kąt tarcia piasku u Gobina 34° , u Müller-Breslau'a 32° . Dla tych kątów i najprostszego przypadku $\psi = 90^{\circ}$, $\varepsilon = 0^{\circ}$ podaje tabela Ott'a dla p wartość $0\cdot130$ i $0\cdot138$, wobec $0\cdot1648$ kg parcia w spokoju, liczby tabeli są zatem o 27 i 20% mniejsze. Jeżeli się jeszcze uwzględni, że kąt δ prawie zawsze przyjmuje się większy jak w naszych wzorach, to moment parcia ziemi, wprowadzony do obrachowania murów oporowych, znacznie będzie się różnić od momentu parcia w spokoju. Przy tem obrachowaniu stawia się warunek, albo żeby wypadkowa z parcia ziemi i ciężaru muru nie wyszła z środkowej trzeciej części podstawy, albo powierzchnię ciśnienia u podstawy przyjmuje się mniejszą, gdyż żąda się jedynie, żeby „środek ciśnienia działającego na przekrój muru, posiadał od najbardziej ciśnio-

*) Handbuch d. Ing. Wissensch., I. Band, II. Abteilung, Wien 1897, str. 249.

nej krawędzi muru odstęp ζ conajmniej równy $\frac{1}{6} d$, lepiej $\frac{1}{4} d$ (*), gdy d oznacza grubość muru. Podług tej zasady, w połączeniu z małym momentem parcia, obrachowane mury wydają mi się za słabe. Twierdzeniu, że one przecie utrzymują się w równowadze, trzeba przeciwstawić po pierwsze, że w naturze nie istnieją ziemie pozbawione zupełnie spójności, że zatem natura do ich stałości dopomaga (**), a po drugie, że zawalenia się murów oporowych i przybrzeżnych, za słabo obrachowanych, nie są rzadkością. Dowodem tego rozprawa z najnowszych czasów A. Horn'a (***)), w której przytoczono przypadek zawalenia się wszystkich za słabo wykonanych murów przybrzeżnych, gdy silniej wykonane się ostały. W tej rozprawie także podniesiono, że przy wszystkich budowlach wprowadza się wydatny stopień bezpieczeństwa, tylko nie przy murach narażonych na parcie ziemi.

Z powyższego przedstawienia sprawy dadzą się wysnuć pewne prawidła dla obrachowania murów oporowych i podporowych, przyczółków ****) i murów przybrzeżnych; będą one rozpatrywane w osobnej rozprawie.

ROZDZIAŁ II.

ównowaga materiałów sypkich spoistych.

Wstęp. W I. rozdziale rozpatrywano równowagę zespołów, nie posiadających zgoła spójności; obecnie przystępujemy do próby ustalenia warunków równowagi zespołów, posiadających spójność, na podstawie wyników tam otrzymanych.

Podobnie jak w I. rozdziale rozpoczniemy badaniem zespołu kul, poczem przejdziemy na materiał ziemny.

A. ZESPÓŁ KUL.

§ 41. *Określenia.* Przypuszcza się, że kule o dokładnym kształcie kulistym i jednakowe co do wielkości są otoczone

*) Müller-Breslau, Erddruck auf Stützmauern, Stuttgart 1906, str. 152.

**) Przy większej spójności ziemi należałoby mury odpowiednio do zmniejszonego parcia rachować.

***) Wochenschr. f. d. oeffentl. Baudienst, 1914, str. 749.

****) Mianowicie przyczółków z prostopadłemi lub ukośnemi skrzydłami. Przyczółki ze skrzydłami równoległemi powinny być inaczej obrachowane.

spoistą materją, która całkowicie wypełnia próżnie między kulami. Ta materja stawia opór tak wzajemnemu przesunięciu, jak też oderwaniu kul.

Ze skąpych doświadczeń, służących do wyznaczenia spójności materjału ziemnego, nie można wywnioskować, czy obydwa rodzaje oporów są równie wielkie. Wprowadzimy je jako równe, wynoszące c ton na metr kwadratowy; nie ulega wszakże trudności wprowadzić wielkości nierówne.

§ 42. *Układ i gęstość.* W I. rozdziale ustalono trzy układy kul AI, AII i AIII, należące do tego samego układu A, a różniące się kierunkiem stopy skarpy lub ściany. Takie same układy wprowadzimy dla spoistego zespołu. Co do gęstości zespołu, scharakteryzowanej tam modulem ζ , to tę ilość należy przyjąć równą zeru, gdyż podług § 41. przypuszcza się, że próżnie pomiędzy kulami są materją spoistą zupełnie wypełnione. Gęstość, na którą dwa materiały się składają, najlepiej wprost wyznaczyć. Będzie także luźno sypany zespół omawiany, dla którego obierzemy tę samą wartość $\zeta = 0.13$ jak w I. rozdziale.

§ 43. *Graniczna powierzchnia równowagi skarpy.* Widzieliśmy w I. rozdziale, że zespół niespoisty utrzyma się w równowadze granicznej podług płaskiej stromej skarpy, której kąt nachylenia σ zawisł od rodzaju układu i jego gęstości. W materjale spoistym występuje skarpa równowagi jako powierzchnia krzywa, w górnej części silniej zakrzywiona i naprzód wysunięta.

W naturze okazuje się ona pięknie i wyraźnie w wilgotnym śniegu, gdy zostaje zawiany do ściany lub żywoplotu, a z powodu przy tem powstałych wirów przyjmie kształt zakrzywionej skarpy. Podobny kształt okazują samopowstałe skarpy gliniastej ziemi, albo zwięzłego żwiru, albo też, i to nieraz szczególnie dobrze wykształcone, wyluszczenia zbyt stromo założonych skarp przekopów.

Do równowagi takich skarp dopomaga spójność w dwojakim kierunku; mianowicie oporem przeciw przesunięciu warstw i przeciw przełamaniu się wystającej części skarpy.

§ 44. *Stan graniczny zespołu przeciw przesunięciu.* Na ryc. 23. jest przedstawiona górna część zakrzywionej skarpy zespołu, odgraniczzonego pod kątem ϵ . W niespoistym zespole występują rzędy nachylone pod kątem stromości σ , jak AC, wytwarzające

płaskie warstwy. Na taką warstwę dowolnie nałożony spoisty materiał utrzyma się w równowadze, jeżeli składowa X jego ciężaru G równoległa do AC , będzie zrównoważona spójnością występującą na $AC = z$.

Drugą, pod kątem ω nachyloną składową Y przyjmuje zespół (§ 9). Zatem, na długość jednostki skarpy wgłąb ma być

$$45. \quad X = cz$$

jeżeli c oznacza spójność na metr kwadratowy.

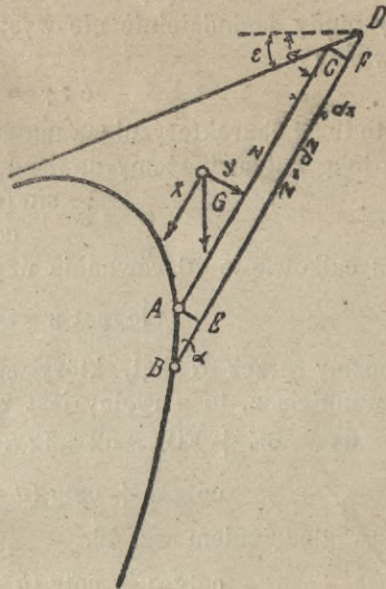
Tu przyjęto, że przesunięcie nastąpi wzdłuż stromych rzędów, gdyż jedynie w tym kierunku istnieją warstwy płaskie, które gładkie zesunięcie umożliwiają. W każdym innym kierunku, aż do pionowego, są kule w ten sposób podparte, że zesunięcie wymagałoby wyłamywania poszczególnych kul.

Jeżeli do ciężaru G dodamy element $ABCD$, to składowa X zwiększy się o składową ciężaru tego elementu. Jeżeli jego szerokość wynosi dx , gęstość materiału zespołu jest γ , to ciężar elementu równy $\gamma z dx$.

Podług § 12. otrzyma się wielkość składowej równoległej do stromej płaszczyzny, gdy się pomnoży ciężar przez $\cos \omega : \sin (\omega + \sigma)$. Zatem dla granicy równowagi wzdłuż $BD = z + dz$ istnieje równanie:

$$X + \gamma z dx \frac{\cos \omega}{\sin (\omega + \sigma)} = (z + dz) c$$

a gdy podług wz. 45. X i z się znoszą, to pozostanie, gdy jeszcze wyraz stały $c \sin (\omega + \sigma) : \gamma \cos \omega$ oznaczymy stałe literą a :



Ryc. 23.

$$46. \quad \frac{dz}{z} = \frac{dx}{a}, \text{ lub } \frac{dz}{dx} = \frac{z}{a}$$

jako wzór zasadniczy dla zakrzywionej skarpy. Ilość a jest długością.

Należy zauważyć, że w dalszym przeprowadzeniu ilości c i γ nigdy samodzielnie nie występują, lecz jako iloraz $c : \gamma$. Nazwiemy

$$47. \quad c : \gamma = k$$

Jest to ilość charakteryzująca materiał zespołu; ona jest również długością. Zatem możemy napisać

$$47 \text{ a.} \quad a = k \frac{\sin(\omega + \sigma)}{\cos \omega}$$

Przez całkowanie 46 równania uzyska się:

$$48. \quad \lognat z = \frac{x}{a} + C$$

Oznaczmy przez α kąt, który styczna w punkcie B zawiera z kierunkiem z , to z ryciny jest widoczne, że

$$dz = \overline{BE} + \overline{FD} = dx \cotg \alpha + dx \cotg(\sigma - \varepsilon), \text{ lub}$$

$$\cotg \alpha + \cotg(\sigma - \varepsilon) = \frac{dz}{dx}$$

a z uwzględnieniem wz. 46.

$$49. \quad \cotg \alpha + \cotg(\sigma - \varepsilon) = \frac{z}{a}$$

Weźmy pod uwagę na ryc. 24. punkt A, dla którego styczna do linii skarpy jest pionowa i nazwijmy jej przynależną a do stromej linii równoległą rzędną literą z_a , to gdy w wz. 49. podstawimy $\cotg \alpha = \text{tang } \sigma$, a za z wstawimy z_a , otrzymamy

$$50. \quad z_a = a \left[\text{tang } \sigma + \cotg(\sigma - \varepsilon) \right] = \frac{a \cos \varepsilon}{\cos \sigma \sin(\sigma - \varepsilon)}$$

Dla pionowego dostępu $AC = \eta_a$ będzie

$$51. \quad \eta_a = z_a \frac{\sin(\sigma - \varepsilon)}{\cos \varepsilon} = \frac{a}{\cos \sigma}$$

zatem od ε niezależne.

Ten wzór wykazuje znaczenie ilości a , mianowicie jest to długość prostopadłej, poprowadzonej z C na AO.

Gdy się oberze w kierunku z rzędne, a prostopadle do z kierunek odciętych x , i gdy na rzędnej z_a oberze się dowolny punkt D jako początek układu, to dla $z = z_a$ jest $x = 0$. Z temi wartościami wynika z wz. 48., że $C = \lognat z_a$, zatem

52.

$$\operatorname{lognat} \frac{z}{z_a} = \frac{x}{a}$$

a ostatecznie

53.

$$z = z_a e^{\frac{x}{a}}$$

jako równanie linii skarpy.

Nadal nazywać ją będziemy linią Z. Jej przebieg jest z jednej strony asymptotyczny do odgraniczenia zespołu, bo dla $x = -\infty$

jest $z = 0$, z drugiej strony

jest dla $x = +\infty$

także $z = +\infty$ a a równe

zeru, to znaczy, że styczna

spada z linią stromości, nachyloną

pod σ . Dla $c = k = 0$ jest

$a = \eta_a = 0$; punkt A przesuw

się do linii odgraniczenia zespołu,

a linia Z staje się prostą

wychodzącą z A, a nachyloną

pod kątem σ .

Gdy a i z_a są funkcjami

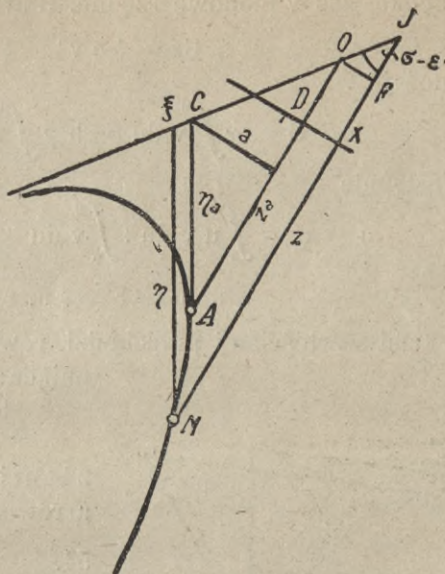
kątów σ i ω , a te kąty

są zależne od układu zespołu,

to dla każdego stałego układu

AI, AII, AIII istnieją osobne

linje Z.



Ryc. 24.

§ 45. Stan graniczny dla przełamania. Część zespołu przebiegająca asymptotycznie do górnego odgraniczenia oczywiście

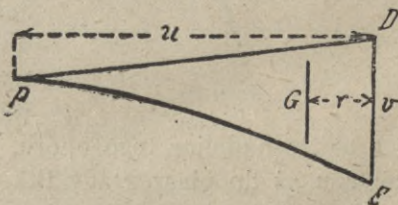
nie może istnieć w całej rozciągłości. W stanie granicznym

może się wyrobić jedynie jako wyskok, dźwigający swój własny

ciężar. Aby w przekroju DE na ryc. 25. nie nastąpiło

przełamanie, musi być moment

Gr ciężaru występu PDE zrównoważony momentem siły



Ryc. 25.

przylegania w DE. Przytem robimy najprostsze założenie, że natężenia na ciśnienie i ciągnienie są równe. Takie założenie, choćby z rzeczywistością nie było zupełnie zgodne, jest dopuszczalne, bo dokładny kształt występu w dalszym ciągu nie odgrywa roli (ob. § 56.).

Występ dźwigający własny ciężar jest dźwigarem o jednostajnym oporze, a jako taki jest odgraniczony parabolą o równaniu $v = b u^2$, jeżeli u oznacza od P rachowane p o z i o m e odcięte, zaś v pionowe rzędne. Równanie równowagi opiewa:

$$Gr = \frac{1}{8} c v^2 = \frac{1}{8} b^2 c u^4$$

Otóż jest

$$G = \gamma \int_0^u v \, du = b \gamma \int_0^u u^2 \, du = \frac{1}{3} b \gamma u^3$$

Następnie

$$u - r = \int_0^u u \, v \, du : \int_0^u v \, du = \int_0^u u^3 \, du : \int_0^u u^2 \, du$$

$$u - r = \frac{3}{4} u, \quad r = \frac{u}{4}$$

Z temi wartościami przechodzi równanie równowagi w następujące:

$$\frac{b \gamma u^4}{12} = \frac{c b^2 u^4}{6}$$

z której wynika $b = \gamma : 2c = 1 : 2k$,
a równanie paraboli

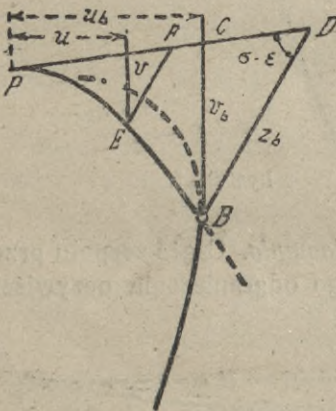
$$54. \quad v = \frac{u^2}{2k}$$

Jest ono od nachylenia ε powierzchni niezależne. Dla $k = 0.2$ m obrachowane współrzędne paraboli są zestawione w IX. tabeli.

§ 46. *Punkt załomu skarpy.*

Jeżeli się zbada dla dowolnego punktu E parabolicznego występu (ryc. 26.) opór przeciw zesunięciu wzdłuż stromej płaszczyzny EF, to

się okaże nadmiar tego oporu, zmniejszający się z rosnącą odciętą u aż do płaszczyzny BD, w której ten opór został całkowicie zużyty. Punkt B leży oczywiście na linii Z i jest jej punktem załomu. Dla niego musi składowa ciężaru partji



Ryc. 26.

BEPD nachylona pod kątem σ równać się oporowi $c z_b$. Ten ciężar składa się z ciężaru partji PEBC = $\frac{\gamma b u_b^3}{3}$ (§ 45.) i BCD, który równa się $\frac{1}{2} \gamma v_b$, pomnożone przez długość prostopadłej, poprowadzonej z D na kierunek BC, równęj $v_b \cos \sigma \cos \varepsilon : \sin(\sigma - \varepsilon)$. W celu otrzymania składowej równoległej do BC, należy sumaryczny ciężar pomnożyć wyrazem $\cos \omega : \sin(\sigma + \omega) = k : a$ (wz. 47 a.). Gdy się jeszcze podstawią $v_b = b u_b^2$ i $z_b = v_b \cos \varepsilon : \sin(\sigma - \varepsilon)$, to się uzyska równanie:

$$\frac{k}{a} \left[\frac{\gamma b u_b^3}{3} + \frac{1}{2} \gamma b^2 u_b^4 \frac{\cos \sigma \cos \varepsilon}{\sin(\sigma - \varepsilon)} \right] = c b u_b^2 \frac{\cos \varepsilon}{\sin(\sigma - \varepsilon)}$$

$$u_b^2 + \frac{2 u_b \sin(\sigma - \varepsilon)}{3 b \cos \sigma \cos \varepsilon} - \frac{6 a}{3 b \cos \sigma} = 0$$

$$55. \quad u_b^2 = \frac{-\sin(\sigma - \varepsilon) \pm \sqrt{\sin^2(\sigma - \varepsilon) + 18 a b \cos \sigma \cos^2 \varepsilon}}{3 b \cos \sigma \cos \varepsilon}$$

Jest to odcięta punktu załomu. Dla nas tylko znak + przed pierwiastkiem ma znaczenie. Przynależne rzędne są $v_b = b u_b^2$ i $z_b = v_b \cos \varepsilon : \sin(\sigma - \varepsilon)$. Zatem punkt załomu jest na obydwu krzywych ustalony.

Na ryc. 27. i 28. są paraboliczne występy PB układów AI i AII dla $k = 0.2$ wrysowane.

§ 47. *Współrzędne linii Z.* Wzór 53. linii Z odnosi się do ukośnych współrzędnych x i z . Dla dalszych badań należy przemieścić oś odciętych na prostą odgraniczającą zespół, zaś oś rzędnych przyjąć pionową. Jeżeli takie współrzędne oznaczymy, jak dla punktu M na ryc. 24. literami ξ i η , a obierzemy początek odciętych w punkcie O, w którym z A poprowadzona stroma prosta przecina odgraniczenie zespołu, to podług 24. ryciny

$$\xi = \frac{MJ}{\cos \varepsilon} - \frac{FJ}{\cos(\sigma - \varepsilon)} = z \frac{\cos \sigma}{\cos \varepsilon} - \frac{x}{\sin(\sigma - \varepsilon)}$$

$$\eta = z \frac{\sin(\sigma - \varepsilon)}{\cos \varepsilon} \text{ lub } z = \eta \frac{\cos \varepsilon}{\sin(\sigma - \varepsilon)}$$

Gdy uwzględnimy wz. 51. i 52., to wyniknie

$$\frac{z}{z_a} = \frac{\eta}{\eta_a}, \text{ zaś } x = a \lognat \frac{\eta}{\eta_a}$$

a z górną wartością dla z :

$$\xi = \frac{a}{\sin(\sigma - \varepsilon)} \left(\frac{\eta}{\eta_a} - \lognat \frac{\eta}{\eta_a} \right)$$

Dla $\eta = \eta_a$, to jest dla punktu A jest

$$56. \quad \xi_a = \frac{a}{\sin(\sigma - \varepsilon)}$$

długość CO, zatem równanie linii Z opiewa:

$$57. \quad \xi = \xi_a \left(\frac{\eta}{\eta_a} - \lognat \frac{\eta}{\eta_a} \right)$$

Ilość η_a jest wz. 51. ustalona.

§ 48. *Linje normalne. Wybór układu zespołu.* Wszystkie ilości dla linii Z miarodajne, są do ilości k proporcjonalne. Dla ilości a, z_a , ξ_a i η_a jest to z wzorów 47 a, 50., 51. i 56. wprost widoczne. Ponieważ x jest od k zależne, to $x : a$ i $e^{\frac{x}{a}}$ są od k niezależne, zatem z zależne od z_a jest również do k proporcjonalne. Podobnie istnieje taka proporcjonalność dla współrzędnych ξ i η .

Na podstawie tego wyniku wystarczy dla wszystkich wartości k, gdy się na razie tylko poziome odgraniczenie zespołu uwzględni, wyznaczyć jedną normalną linię Z dla pewnej wartości k. Dla innej wartości k_1 należy współrzędne krzywej w stosunku k do k_1 odpowiednio zmienić. To samo odnosi się do paraboli.

W tym celu, aby wyrysowana linja Z otrzymała wybitne zakrzywienie górnej części, obrano $k = 0.2$ m, co odpowiada wartości $c = 0.4$ t/m² przy $\gamma = 2$ t/m³. Ponieważ w zespole trzy stałe układy występują, to należałoby rysować trzy linje normalne, a przynajmniej dwie dla układów AI i AII jako granicznych. Wszystkie ilości odnoszące się do układu AIII mieszczą się między temi granicami.

Linje normalne powinny być rysowane w podziałce 1 : 10. Ryciny 27. i 28. przedstawiają linje

normalne w podziałce 1 : 20 razem z parabolicznymi występnymi, sięgającymi do punktu załomu B. Dla ich rysowania



Ryc. 27.

wprowadzono kąty przynależne podług I. rozdziału do wartości $\zeta = 0^{\circ}0$ (III. tabela):

Układ	AI	AII
$\sigma =$	$54^{\circ}44'$	$70^{\circ}32'$
$\omega =$	$70^{\circ}32'$	$54^{\circ}44'$

Na ryc. 28. są dla porównania obie linje uwidocznione.

§ 49. *Wpływ nachylenia powierzchni.* Wzory poprzednio ustawione uwzględniają nachylenie ε . Ilości a i η_a są od ε niezależne. Odcięta ξ doznaje z rosnącym kątem ε znacznego powiększenia przeto, że w mianowniku dotyczącego wzoru znajduje się $\sin(\sigma - \varepsilon)$. Ryc. 29. okazuje linję normalną wraz z występem dla układu AI, $\zeta = 0^{\circ}0$ i $\varepsilon = 30^{\circ}$, a dla porównania linję perlowaną wyciągniętą linję Z dla $\varepsilon = 0$. To porównanie okazuje niekorzystny wpływ nachylenia odgraniczenia zespołu. Dla zastosowania wypadaloby dla każdej wartości kąta ε współrzędne obrachować. Tę pracę można znacznie oszczędzić, jeżeli się te współrzędne urobi podług linji Z dla $\varepsilon = 0$. Gdy z i z_a odnosi się do nachylenia $\varepsilon = 0$, zaś z' i z'_a do nachylenia ε , to podług wz. 50. jest



Ryc. 28.

$$z_a = \frac{a}{\sin \sigma \cos \sigma}, \quad z'_a = \frac{a \cos \varepsilon}{\cos \sigma \sin(\sigma - \varepsilon)}, \quad \text{więc}$$

$$\frac{z'_a}{z_a} = \frac{\sin \sigma \cos \varepsilon}{\sin(\sigma - \varepsilon)} = \frac{1}{1 - \cotg \sigma \tang \varepsilon}, \quad \text{zatem ilość stała.}$$

Ponieważ ilość a posiada dla obu linji tę samą wartość, więc dla tej samej wartości x ani $\frac{x}{a}$, ani $e^{\frac{x}{a}}$ się nie zmienia, zatem nastąpi

58.
$$\frac{z'}{z} = \frac{z'_a}{z_a} = \frac{1}{1 - \cotg \sigma \tang \varepsilon}$$

więc także ilość stała. Jeżeli zatem dla obranej wartości x przynależną rzędnę z przez powyższą stałą ilość się pomnoży, co sposobem wykreślnym da się szybko uskutecznić, to się otrzyma do tej samej wartości x przynależną rzędnę. Podobnie, przez proste mnożenie otrzyma się

$$58 \text{ a. } \quad \xi'_a = \frac{a}{\sin(\sigma - \varepsilon)}, \quad \xi' = \xi \frac{\sin \sigma}{\sin(\sigma - \varepsilon)}$$

§ 50. Wprowadzenie średniego kąta stromości μ . W I, rozdziale wykazano, że układy AI i AII wyznaczają graniczne wartości tak dla kąta stromości,



Ryc. 29.

jak też dla parcia zespołu na ścianę. Jeżeli się chce znać te graniczne wartości, to trzeba obrachowania dla obu układów przeprowadzić. Dla zastosowania praktycznego wprowadzono średnią arytmetyczną parcia z błędem nie przekraczającym 4%. Dla materiału spoistego jest to tem bardziej usprawiedliwione, że wyznaczenie ilości c jest niepewne. Jeżeli się nadto zważy, że w zespole obydwu układy znajdują się pomieszane, to jest wskazane zamiast kątów σ i ω przynależnych do tych układów, wprowadzić jeden kąt, a tem samem wszelkie obrachowania znacznie upro-

ścić. Ten średni kąt μ został wyznaczony z warunku, że na jego podstawie dla zespołu niespoistego obrachowane parcie na ścianę równa się owej średniej parcia. Niestety okazała się przytem zależność tego kąta od nachylenia ε i od kąta nachylenia ściany ψ . Do dotyczących rachunków wprowadzono za ζ dwie wartości, mianowicie 0.0 i 0.13. Rachunek dał następujący wynik:

$$59. \quad \left\{ \begin{array}{l} \text{dla } \zeta = 0.0 : \mu^0 = 62^{\circ}56' + 0.0044 \psi^0 - 0.017 \varepsilon^0 \\ \text{„ } \zeta = 0.13 : \mu^0 = 58^{\circ}09' + 0.0044 \psi^0 - 0.035 \varepsilon^0 \end{array} \right.$$

Przytem przypuszcza się ε nie wiele większe niż 30° . Dla pionowej ściany ($\psi = 90^\circ$) wynosi μ $63^{\circ}20'$ i $58^{\circ}33'$.

Wszystkie poprzednio otrzymane wzory zatrzymują swoją wartość z następującymi zmianami:

$$60. \left\{ \begin{array}{l} a = 2k \sin \mu; \quad \cotg \alpha + \cotg (\mu - \varepsilon) = \frac{z}{a}; \\ z_a = \frac{a \cos \varepsilon}{\cos \mu \sin (\mu - \varepsilon)}; \quad \eta_a = \frac{a}{\cos \mu} = 2k \tan \mu; \\ u_b = \frac{-m + \sqrt{m^2 + 18 \tan \mu}}{3b}, \quad \text{gd}y \ m = \frac{\sin (\mu - \varepsilon)}{\cos \mu \cos \varepsilon}; \\ \xi_a = \frac{a}{\sin (\mu - \varepsilon)} = \frac{2k \sin \mu}{\sin (\mu - \varepsilon)}; \quad z = \eta \frac{\cos \varepsilon}{\sin (\mu - \varepsilon)} \end{array} \right.$$

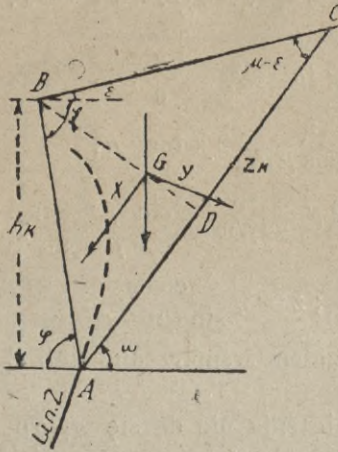
Inne wzory pozostają niezmienione, zatem współrzędne linii Z obrachuje się podług wz. 57.

Linja Z dla nachylonego odgraniczenia nie da się wyprowadzić z linii dla poziomego odgraniczenia, tak jak to w § 49. podano, a także nie zachodzi niezależność ilości η_a od ε , gdyż każdemu nachyleniu ε odpowiada podług wz. 51. inny kąt μ . Dla praktycznego zastosowania obrano $\tan \varepsilon = 0, 04$ i $0,8$ i obrachowano współrzędne dla $\zeta = 0$. Obrachowane współrzędne zestawiono w VIII. tabeli. W dalszym ciągu będzie wyłącznie stosowany kąt μ .

§ 51. *Skarpa naturalna*. Skarpa zakrzywiona podług linii Z znajduje się na granicy równowagi, dlatego na dłuższy przeciąg czasu się nie utrzyma. Definicja skarpy naturalnej, podana w § 7., nie da się zastosować dla zespołu spoistego. W naturze skarpa pierwotnie stromsza staje się z czasem mniej stromą, bo wpływy atmosferyczne zmniejszyły spójność do pewnej głębokości. W zastosowaniu do zespołu kulowego należy prawo linii Z zatrzymać, a tylko mniejszą spójność wprowadzić. Stopień zmniejszenia spójności ma być zastosowany do rodzaju spajającej materji.

§ 52. *Zespół usypany*. Poprzednie rozpatrywania dotyczyły zespołu, w którym spoista materja wypełniała zupełnie próżnie między kulami, więc moduł gęstości ζ obrano równy zeru. W zespole usypanym pozostają próżnie, które z czasem przez osiadanie zespołu się zmniejszają. Dla takiego zespołu należy wprowadzić, podobnie jak dla niespoistego zespołu, $\zeta = 0,13$.

§ 53. *Wysokość spójni.* Pod wysokością spójni rozumiemy, jak wiadomo, tę wysokość, w której dowolnie nachylona i pod dowolnym nachyleniem płasko skopana ziemia utrzyma się w granicznym stanie równowagi. W zastosowaniu do zespołu kulowego niech będzie na ryc. 30. AC pod kątem μ nachylona stroma linja, AB pod kątem φ nachylona skarpa, zaś h_K jej przynależna wysokość spójni. Równowaga będzie istnieć, skoro składowa X ciężaru pryzmatu ABC, równoległa do stromej AC, będzie zrównoważona oporem spójności płaszczyzny AC. Jeżeli to nastąpi, to w każdej innej płaszczyźnie równoległej do AC istnieje nadmiar oporu.



Jeżeli BD jest prostopadłe do AC poprowadzone, to ciężar G pryzmatu równa się

$$\frac{1}{2} \gamma \overline{AC} \cdot \overline{BD} = \frac{1}{2} \gamma z_K^2 \frac{\sin(\mu + \varphi) \sin(\mu - \epsilon)}{\sin(\varphi + \epsilon)}$$

Składową X otrzyma się przez pomnożenie ciężaru G przez $\cos \omega : \sin(\sigma + \omega)$, a po wprowadzeniu kąta μ przez $1 : 2 \sin \mu$. Równanie równowagi opiewa:

$$\frac{1}{4} \gamma z_K^2 \frac{\sin(\mu + \varphi) \sin(\mu - \epsilon)}{\sin \mu \sin(\varphi + \epsilon)} = c z_K$$

z którego otrzyma się

$$z_K = \frac{4 k \sin \mu \sin(\varphi + \epsilon)}{\sin(\mu + \varphi) \sin(\mu - \epsilon)}$$

a gdy $= \overline{AB} \sin \varphi = z_K \frac{\sin(\mu - \epsilon) \sin \varphi}{\sin(\varphi + \epsilon)}$, to się wyznaczy

$$61. \quad h_K = \frac{4 k \sin \mu \sin \varphi}{\sin(\mu + \varphi)}$$

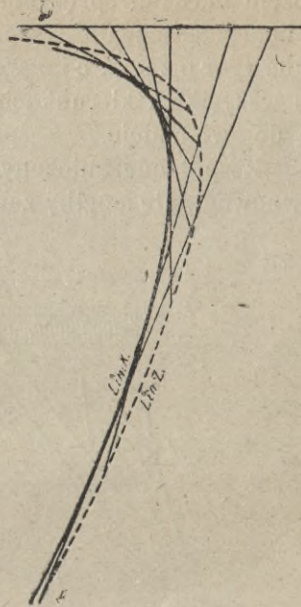
Ten wzór okazuje, że wysokość spójni jest od ϵ niezależna. Dla pionowej skarpy, więc dla $\varphi = 90^\circ$ jest

$$62. \quad z_K = \frac{4 k \sin \mu \cos \epsilon}{\cos \mu \sin(\mu - \epsilon)}, \quad h_K = 4 k \tan \mu$$

Jeżeli ten wzór porówna się z wz. 60., to się okaże, że dla pionowej skarpy jest $z_K = 2 z_a$, zaś $h_K = 2 \eta_a$.

Dolny punkt A skarpy na ryc. 30. leży na tej linii Z, która przynależy do odgraniczenia BC, w punkcie o ukośnej rzędnej z_K . Każdemu kątowi φ odpowiada inny punkt na linii Z położony. Dla wyznaczenia tych punktów oberzemy linię Z dla poziomego odgraniczenia ($\varepsilon = 0$) Dla nich jest $\eta = h_K$, zaś ξ obrachuje się podług wz. 57. Jeżeli się wyznaczy kilka takich punktów i od nich na ryc. 31. poprowadzi skarpy pod przynależnym kątem φ , to te skarpy otoczą krzywą linię, linię K, która ma tę własność, że styczna do niej pod kątem φ poprowadzona wyznacza punkt dolny na linii Z i wysokość spójni. W celu skonstruowania linii K są obrachowane współrzędne spodków skarp dla $\zeta = 0$ i $\varepsilon = 0$ zestawione w XI. tabeli.

§ 54. *Obciążenie zespołu skupionym ciężarem. Głębokość rozpraszania t. Rozparcie.* W § 20. był omówiony wpływ ciężaru skupionego na niespoisty zespół. W materiale spoiстым, w którym podług definicji podanej w § 41. wszystkie puste miejsca pomiędzy kulami są wypełnione spoiстą masą, nastąpi przebieg ciężaru ku wnętrzu zespołu w podobny sposób podług stożka rozpraszającego, tylko to rozpraszanie nastąpi intensywniej.

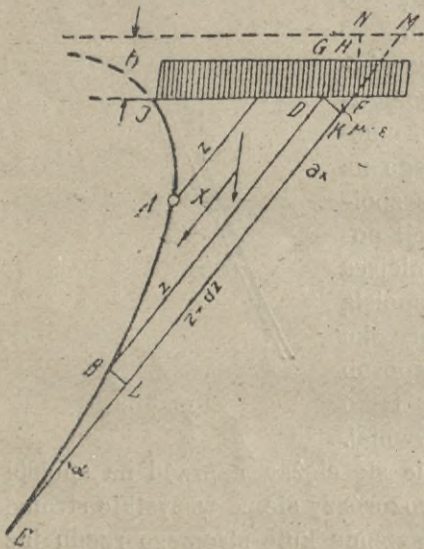


Ryc. 31.

Przez kulę obciążoną przeniesie się ciężar naprzód na spoiстą masę; on ją zgęści i przez nią rozprószy się na wszystkie strony, nawet ku górze, tak że na następną kulę stromeego rzędu już tylko mniejsza część ciężaru się przeniesie. Jeżeli masa spoiста jest plastyczna, to rozprzestrzenienie się tego działania będzie mniejsze niż w masie sprężystej. Z powodu tego szybkiego rozprzestrzeniania się nastąpi szybsze zmniejszanie się składowej ciężaru niż w niespoistym materiale, a będzie ono tem szybsze, czem gęstsza i czem bardziej sprężysta jest spoiста masa.

W pewnej głębokości nastąpi rozpróśnienie ciężaru na tak wielką powierzchnię, a jej obciążenie będzie tak nieznaczne (ob. § 20.), że przez ewentualnie wywołane opory wewnętrzne wpływ ciężaru będzie zupełnie pokonany. Tę głębokość nazwiemy głębokością rozpraszenia i oznaczymy ją literą t . Ponieważ wewnętrzne opory rosną równomiernie z obciążeniem, to głębokość rozpraszenia danego materiału jest ilością stałą, od wielkości obciążenia niezależną. Podług powyższego jest ta głębokość tem mniejsza, czem gęstsza i czem bardziej sprężysta jest spoista masa. Wywołane obciążeniem zgęszczenie, wespół z poprzecznym odkształceniem kul, stanowi rozparcie wewnątrz zespołu, które zatem również we wszystkich kierunkach się rozprzestrzeni i tak samo szybko ku dołowi maleje.

Zespół odgraniczony linią Z znajduje się w skrajnym stanie równowagi, nie mógłby zatem bez odpowiedniego przekształcenia tej linii utrzymać jakiegokolwiek ciężar. Jeżeli natomiast jest odgraniczony skarżą naturalną, a więc skarżą stałą równowagi, urobionej podług § 51. na podstawie zmniejszonej spójności, to w każdym stromym rzędzie istnieje nadmiar spójności, który dopomoże do dźwigania ciężarów o określonej wielkości. Zresztą ob. § 55.



Ryc. 32.

§ 55. *Wpływ obciążenia na zespół zeskarpowany podług linii Z .* Naprzód rozpatrzmy całkowite jednostajne obciążenie powierzchni zespołu. Na ryc. 32. jest powierzchnia pod ϵ nachylona, obciążona ciężarem q na jednostkę poziomą długości. Jeżeli to obciążenie zastąpi się materialem zespołu o wysokości h , to $q = \gamma h$. Dla równowagi części zespołu powyżej BD położonego, musi jej składowa X wraz z obciążeniem na JD równać się $c z$.

Jeżeli się doda element BDFE o szerokości dx , to powinna składowa X , powiększona o składową ciężaru elementu, wraz z obciążeniem na DF być zrównoważona spójnością na $EF = z + dz$. Składowę otrzymamy, gdy ciężar pomnożymy ilością $1 : 2 \sin \mu$, równą $k : a$ (wz. 60.). Otóż $\overline{DF} = dx : \sin(\mu - \varepsilon)$, a obciążenie spoczywające na DF równa się $\gamma h dx \cos \varepsilon : \sin(\mu - \varepsilon)$. Z powyższych rozważań wynika równanie

$$X + \gamma z dx \frac{k}{a} + \frac{\gamma h dx \cos \varepsilon}{\sin(\mu - \varepsilon)} \cdot \frac{k}{a} = c(z + dz)$$

a gdy $X = cz$, to pozostaje

$$\left[z + h \frac{\cos \varepsilon}{\sin(\mu - \varepsilon)} \right] dx = a dz$$

Nazwijmy drugi człon w nawiasie literą i , to z trójkąta FNM , w którym $\overline{FN} = h$ wynika, że i jest przedłużeniem rzędnej z przynależnym do wysokości h . Powyższe równanie opiewa teraz $(z + i) dx = a dz$ zatem

$$63. \quad \frac{dz}{z + i} = \frac{dx}{a}, \text{ więc } \lognat(z + i) = \frac{x}{a} + C$$

$$64. \quad \frac{dz}{dx} = \frac{z + i}{a}$$

Na długość dz składają się długości \overline{EL} i \overline{KF} . Gdy znowu kąt przy E oznaczymy literą α , to $\overline{EL} = dx \cotg \alpha$, $\overline{KF} = dx \cotg(\mu - \varepsilon)$, zatem

$$65. \quad \frac{dz}{dx} = \cotg \alpha + \cotg(\mu - \varepsilon) = \frac{z + i}{a}$$

Dla punktu A ze styczną pionową, więc dla $\alpha = 90^\circ - \mu$, niech będzie $z = z_q$, to z wz. 65.

$$\frac{z_q + i}{a} = \tan \mu + \cotg(\mu - \varepsilon) = \frac{\cos \varepsilon}{\cos \mu \sin(\mu - \varepsilon)}, \text{ więc}$$

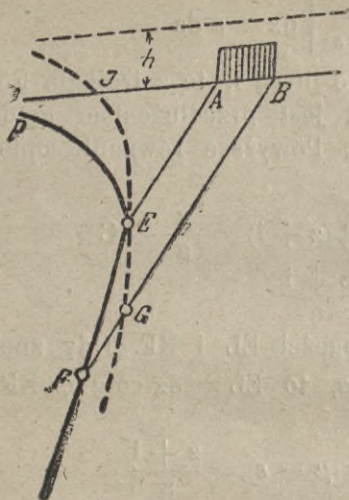
$$66. \quad z_q = \frac{a \cos \varepsilon}{\cos \mu \sin(\mu - \varepsilon)} - i$$

Gdy się obierze oś x prostopadle do BD z początkiem na z_q , to dla $z = z_q$ jest $x = 0$ a podług wz. 63. $C = \lognat(z_q + i)$, zatem równanie linii skarpy

$$67. \quad \lognat \frac{z + i}{z_q + i} = \frac{x}{a}, \text{ więc } \frac{z + i}{z_q + i} = e^{\frac{x}{a}}$$

Jeżeli się porówna wz. 66. z wz. 50., to się okaże, gdy σ zastąpi się kątem μ , że $z_q + i = z_a$. Następnie wynika z poró-

wnania wzorów 67. i 53., że dla tej samej wartości x (a jest także to samo), z \pm i równa się rzędnej z przy nieobciążonej powierzchni. Pozostaje zatem ta sama linja Z , tylko jej rzędne z są o stały wymiar i skrócone. A ponieważ już poprzednio widzieliśmy, że wymiarowi i w kierunku z odpowiada pionowa wysokość h , to przy obciążeniu pozostaje pierwotna linja Z , tylko linja odgraniczenia obniża się o wymiar h . Stan jest zatem taki, jakoby linja Z była wykreślona dla zespołu o h podwyższonego. Przytem dla większych wartości h zniknie wystep.



Ryc. 33.

Gdy powierzchnia jest tylko częściowo obciążona, na długości AB (ryc. 33.), to pomiędzy P i EA wchodzi w działanie linja Z oznaczona przez PEG aż do punktu E . Od tego punktu wchodzi w grę linja JEF , wykreślona dla odgraniczenia o h podwyższonego, aż do punktu F , przynależnego do końca obciążenia. Od F zaczyna się linja Z odpowiadająca odgraniczeniu zespołu, której rzędne z są o stały wymiar FG przedłużone. W ten sposób powstają punkty załomu przy E i F .

Pozostaje jeszcze do zbadania, jaki wpływ wywiera obciążenie na wysokość spójni h_k .

Jeżeliby na ryc. 30. BC miało obciążenie $q = \gamma h$ na poziomej jednostkę długości, to należałoby do składowej X dodać składową obciążenia:

$$\frac{1}{2} \gamma h z_k \frac{\cos \varepsilon \sin (\mu + \varphi)}{\sin \mu \sin (\varphi + \varepsilon)}$$

Podobnie jak w § 53. wynika równanie:

$$\frac{1}{2} \gamma z_k^2 \frac{\sin (\mu + \varphi) \sin (\mu - \varepsilon)}{\sin \mu \sin (\varphi + \varepsilon)} + \frac{1}{2} \gamma h z_k \frac{\cos \varepsilon \sin (\mu + \varphi)}{\sin \mu \sin (\varphi + \varepsilon)} = c z_k$$

Z tego równania otrzyma się

$$z_k = \frac{4 k \sin \mu \sin (\varphi + \varepsilon)}{\sin (\mu + \varphi) \sin (\mu - \varepsilon)} - \frac{2 h \cos \varepsilon}{\sin (\mu - \varepsilon)}$$

Drugi wyraz po prawej stronie jest to znana nam długość $2i$, zatem długość z_k zmniejsza się przy obciążeniu o długość $2i$. Podług wzoru poprzedzającego wz. 61. otrzyma się ostatecznie

$$68. \quad h_k = \frac{4k \sin \mu \sin \varphi}{\sin(\mu + \varphi)} - \frac{2h \sin \varphi \cos \varepsilon}{\sin(\varphi + \varepsilon)}$$

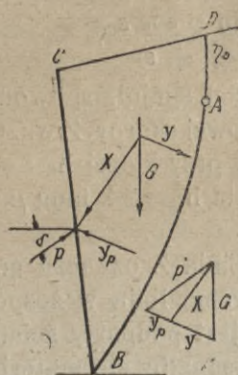
Drugi wyraz oznacza zmniejszenie wysokości spójni, spowodowanej obciążeniem; ona wynosi $2h$ dla pionowej skarpy. Z wz. 68. można wyznaczyć tę wysokość obciążenia h , przy której $h_k = 0$. Specjalnie dla $\varphi = 90^\circ$ i $\varepsilon = 0$ nastąpi to dla $h = 2k \operatorname{tang} \mu = = \eta_a$ (wz. 60.).

§ 56. *Parcie w spokoju na ścianę.* Linja Z oznacza graniczny stan równowagi, podobnie jak stroma linja w zespole nie posiadającym spójności. Jeżeli zespół jest podparty ścianą, to przy jej poddaniu się tak tu jak tam zesunąłby się materiał, znajdujący się przed temi linjami. Zatem linja Z tworzy podobnie jak stroma linja odgraniczenie odłamu. Ku temu celowi należy linję Z zmodyfikować. Jej górne odgraniczenie tworzy paraboliczny występ, znajdujący się w granicznym stanie równowagi; on załamie się przy najłżejszem wstrząśnieniu i przyczyni się do obciążenia odłamu. Zatem nie należy uwzględniać tego występu przy wyznaczaniu parcia. Wprowadzimy górne odgraniczenie linji Z podług pionowej stycznej w punkcie A , której długość równa się η_a (ob. ryc. 24.). Takie przyjęcie wytworzy stan prawdopodobny, uprości rachowanie i przyczyni się do zwiększenia stopnia bezpieczeństwa.*) Ponieważ układ kul jest taki sam, jak w niespoistym zespole; ponieważ, jak w § 44. wykazano, zesunięcie warstw najłatwiej wzdłuż stromych płaszczyzn nastąpić może, to rozkład ciężaru odłamu na składowe X i Y , a również siły X na składowe P i Y_p nastąpi dokładnie podług § 12. I. rozdziału.

Ryc. 34. okazuje pryzmat odłamu $DABC$ i ten rozkład na składowe X i Y , jak też rozkład siły X na parcie P nachylone do poziomu pod kątem δ i na dodatkową składową Y_p . Zamiast kątów σ i ω wprowadzi się średni kąt μ .

*) Właściwie rzecz się ma inaczej. Odłamanie występu oznaczy ulżenie dla zespołu, które nie może być bez wpływu na przebieg linji Z . Jednakże wywołana zmiana jest tak drobna, że niema praktycznego znaczenia. Z tego powodu, jakoteż dla większego uproszczenia i większej pewności pozostawiamy niezmienną linję Z .

§ 57. Wyznaczenie parcia w spokoju przy płaskim odgraniczeniu zespołu, na pionową ścianę ($\psi = 90^\circ$). Jeżeli na ryc. 35.



Ryc. 34.

elementy powierzchni o wysokości η i poziomej szerokości $d \xi \cos \varepsilon$ zesumujemy w granicach η_a i wysokości ściany H , to uzyskamy powierzchnię F odłamu

$$F = \int_{\eta_a}^H \eta d \xi \cos \varepsilon$$

Otóż podług wz. 57. jest

$$\xi = \xi_a \left[\frac{\eta}{\eta_a} - \operatorname{lognat} \frac{\eta}{\eta_a} \right], \text{ więc}$$

$$d \xi = \xi_a \left[\frac{d \eta}{\eta_a} - \frac{d \eta}{\eta} \right], \text{ zatem}$$

$$F = \xi_a \cos \varepsilon \int_{\eta_a}^H \left(\frac{\eta}{\eta_a} - 1 \right) d \eta =$$

$$= \xi_a \cos \varepsilon \int_{\eta_a}^H \left(\frac{\eta^2}{2 \eta_a} - \eta \right) = \xi_a \cos \varepsilon \left(\frac{H^2}{2 \eta_a} - H - \frac{\eta_a^2}{2 \eta_a} + \eta_a \right) =$$

$$= \frac{\xi_a \cos \varepsilon}{2 \eta_a} (H - \eta_a)^2$$

Jeżeli za ξ_a i η_a wstawi się wartości z wz. 60., to będzie ostatecznie

$$69. \quad F = \frac{\cos \mu \cos \varepsilon}{2 \sin (\mu - \varepsilon)} (H - \eta_a)^2$$

Podług § 12. jest $P = G \frac{\cos \mu}{\sin (\mu + \delta)}$, a ponieważ $G = \gamma F$, to parcie na ścianę

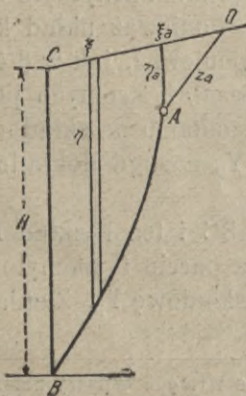
$$70. \quad P : \gamma = F \frac{\cos \mu}{\sin (\mu + \delta)} = \pi F; \quad p = P : H^2 \gamma$$

Dla zespołu niespoistego jest $\eta_a = 0$, zaś

$$71. \quad F_0 = \frac{\cos \mu \cos \varepsilon}{2 \sin (\mu - \varepsilon)} H^2; \quad P_0 : \gamma =$$

$$= F_0 \frac{\cos \mu}{\sin (\mu + \delta)} = \pi F_0; \quad p_0 = P_0 : H^2 \gamma$$

zgodnie z wz. 28 b.



Ryc. 35.

Dla odgraniczenia poziomego ($\varepsilon = 0$) będzie prościej:

$$F = \frac{1}{2} (H - \eta_a)^2 \cotg \mu; \quad F_0 = \frac{1}{2} H^2 \cotg \mu.$$

§ 58. *Parcie jak przedtem, lecz na ścianę dowolnie nachyloną.* Parcie na ścianę BD nachyloną pod kątem ψ na ryc. 36. o wysokości H sumuje się z parcia na pionową ścianę BC o wysokości η i z parcia przyzmatu BCD. Powierzchnia BCD = $\frac{1}{2} \eta \overline{CD} \cos \varepsilon$, a gdy $\overline{CD} = \eta \frac{\cos \psi}{\sin(\psi + \varepsilon)}$, to powierzchnia

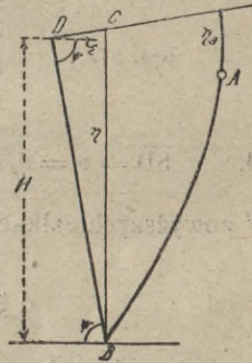
$$72. \quad BCD = \frac{1}{2} \eta^2 \frac{\cos \psi \cos \varepsilon}{\sin(\psi + \varepsilon)}$$

Ta powierzchnia ma być zesumowana z powyższemi powierzchniami F lub F_0 , w których wysokość H należy zastąpić wysokością η . Ostatecznie należy η przez H wyrazić:

$$73. \quad \eta = \overline{DB} \frac{\sin(\psi + \varepsilon)}{\cos \varepsilon} = H \frac{\sin(\psi + \varepsilon)}{\sin \psi \cos \varepsilon}$$

Wzory na P i P_0 pozostają te same, jeżeli za F lub F_0 wprowadzi się sumaryczne powierzchnie.

§ 59. *Obrachowanie parcia na ścianę.* Dla układów AI i AII przy poziomem odgraniczeniu podług § 48. wykreślone linie normalne wystarczą do rozwiązania wszelkich zagadnień dotyczących parcia na ścianę, i to dla dowolnego nachylenia odgraniczenia ze społu i dla dowolnej wartości k. Jak dla tych ostatnich ma być zużytkowana linja normalna, pouczają § 48 i 49. Jeżeli się wprowadzi kąt średni μ , to podług § 50. trzeba dla każdego nachylenia ε osobną linję Z wprowadzić. Dla pionowej ściany i nachyleń odgraniczenia $\tan \varepsilon = 0,0, 0,4$ i $0,8$ obrachowano podług wz. 69. i 70. wartości p i zestawiono w X. tabeli. η wyznaczono dla $k = 0,2$. W tę tabelę wciągnięto także wartości p_0 , obrachowane podług wz. 71. dla niespoistego ze społu i $\tan \varepsilon = 0$, jakoteż procentowy stosunek $p : p_0$. To zestawienie okazuje, jak szybko wpływ spójności maleje z rosnącą wysokością ściany.



Ryc. 36.

Przytem należy jeszcze zauważyć: parcie na ściany, których wysokość jest równa lub mniejsza niż wysokość spójni

$$74 \text{ a. } \left\{ \begin{aligned} \text{a. } F &= \frac{\cos \varepsilon \xi_a^2}{12 \eta_a^2} \left[2 \eta_a^2 (8 \eta_n - \eta_a) + (2 \eta_n - 9 \eta_a) (\eta_n^2 + \eta_a^2) \right] - \\ &\quad - \frac{1}{2} \cos \varepsilon \xi_a^2 \eta_a \operatorname{lognat} \frac{\eta_n}{\eta_a} \\ \frac{1}{2} \int_{\xi_a}^{\xi_n} \eta^2 d\xi \cos \varepsilon &= \frac{1}{2} \cos \varepsilon \xi_a \int_{\eta_a}^{\eta_n} \left[\frac{\eta^2}{\eta_a} - \eta \right] d\eta \\ \text{b. } F &= \frac{\cos \varepsilon \xi_a (\eta_n - \eta_a)}{12 \eta_a} (2 \eta_n^2 - \eta_a \eta_n - \eta_a^2) \end{aligned} \right.$$

Powierzchnię F wyznaczy się podług wz. 69. W ten sposób są a i b, a podług wz. 74. s wyznaczone.

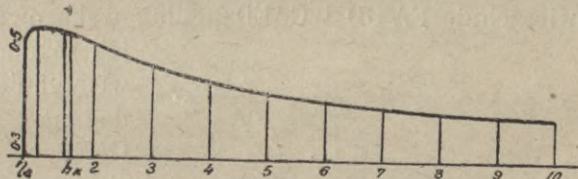
Jeżeli w ostatnie równanie wzoru 74 a. wstawimy wartość za F, to się otrzyma:

$$74 \text{ b. } \quad b = \frac{2 \eta_n^2 - \eta_a \eta_n - \eta_a^2}{6 (\eta_n - \eta_a)}$$

Wartość b jest od ε niezależna. Dla $\eta_n = \eta_a$ jest oczywiście $b = \frac{1}{2} \eta_a$, co także z wzoru 74 b. wynika; w tym przypadku jest także $s = \frac{1}{2} \eta_a$. Z wzrostem η_n wzrasta s silnie ponad wartość $\frac{1}{2} \eta_a$, a po osiągnięciu maximum silnie spada, poczem powoli zmniejsza się ku granicznej wartości $\frac{1}{3} \eta_a$ w nieskończoności.

Dla różnych

wysokości
ścian obra-
chowane sto-
sunki s : H za-
wiera tabela
X. Te same
stosunki od-
noszą się



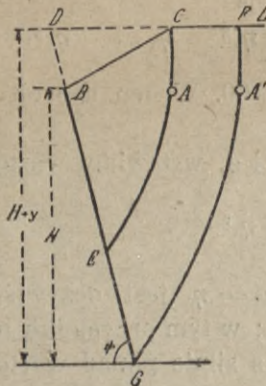
Ryc. 38.

także do $\operatorname{tang} \varepsilon = 0.4$ i 0.6 , gdyż rachowane przykłady wykazały, że s, podobnie jak b, jest od kąta ε niezależne. Na ryc. 38. jest linja s : H przedstawiona.

Zamiast rachowania powierzchni F w § 57., a BCD w § 58., można powierzchnię odłamu splanimetrować. Środek ciężkości można albo wprost wykreslnie wyznaczyć, albo też poprowadziwszy np. na ryc. 34. cięciwę DB, rozdzielić powierzchnię odłamu na trójkąt CDB i odcinek DABD. Uważając krzywą DAB jako parabolę, nie trudno dla obu części wyznaczyć środki ciężkości, a z nich środek ciężkości powierzchni odłamu.

Jeżeli ściana jest nachylona, to należy jeszcze wyznaczyć środek ciężkości trójkąta, jak BCD na ryc. 36., poczem z obydwu środków ciężkości wyznaczy się wspólny, który posłuży do ustalenia punktu przyłożenia parcia, sposobem wykreślnym.

§ 61. *Kierunek parcia.* Ponieważ kule przylegające do ściany przenoszą na nią ciśnienie w ten sposób, jak w nie-spoistym zespole, to wszystko ma ważność, co w §§ 14. i 20. o kierunku parcia powiedziano.



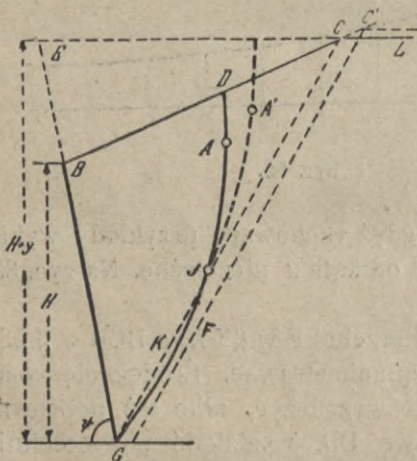
Ryc. 39.

§ 62. *Parcie na ścianę przy załamaniu odgraniczeniu zespołu.* Najprostszemu przypadkowi, gdy od krawędzi ściany wznosząca się skarpa przechodzi w poziom, przedstawiono na ryc. 39. i 40. Tu należy rozróżnić dwa przypadki:

a. Punkt załomu C leży blisko krawędzi ściany (ryc. 39.), tak mianowicie, że linja Z przynależna do odgraniczenia BC trafia ścianę (w E). Dla poziomej części CF przynależna linja Z została

wrysowana dla wysokości ściany $H + y$. Jeżeli się obrachuje powierzchnie FA'GD i CAED podług wskazówek § 56. i 57., to

ich różnica wyznaczy powierzchnię FA'GEAC, która dodana do powierzchni CAEB wyznaczy powierzchnię odłamu. Ta powierzchnia pomnożona przez π z wz. 70. wyznaczy parcie $P : \gamma$. Punkt przyłożenia ustali się wykreślnie jak w § 59.



Ryc. 40.

BD, należy z C wykreślić stromą linię i przekonać się, czy

ona przecnie linję Z, czy też wypadnie poza nią. W ostatnim przypadku, jak linja C'F, punkt załomu niema wpływu na parcie. Jeżeli zaś linja stroma trafi linję Z w punkcie J, to należy wykreślić linję Z przynależną do wysokości $H + y$ ściany i poziomego odgraniczenia. Ona musi przejść przez punkt J. Od J począwszy w dół ma ważność ta druga linja. Różnica obu linii w partji JG będzie często tak nieznaczna, że wystarczy pierwsza linja Z.

§ 63. *Parcie przy obciążonym zespole.* W § 54. doszło się do wyniku, że przy obciążeniu zespołu linja Z nie doznaje zmiany, tylko że się dopiero od tego punktu rozpoczyna, w którym o h obniżona linja odgraniczenia ją przecina. W zastosowaniu tego wyniku została na ryc. 41. i 42. linja odgraniczenia o h do EO podniesiona. Jeżeli dla niej wykreślimy linję Z, to ona przecnie się w punkcie J z daną linją odgraniczenia. Dla dalszego rozpatrywania należy dwa przypadki rozróżnić:

a. Punkt J wypada powyżej punktu A (ryc. 41.), więc $h < \eta_a$. Powierzchnia DACK obrachuje się podług wz. 69., w który wstawi się $\eta + h$ zamiast H:

$$DACK = \frac{\cos \mu \cos \varepsilon}{2 \sin (\mu - \varepsilon)} (\eta + h - \eta_a)^2$$

W niej jest już obciążenie na długości GJ uwzględnione. To jest już powierzchnia odłamu dla pionowej ściany o wysokości η . Jeżeli ściana jest nachylona jak na ryc. 41., to należy do powyższej powierzchni dodać

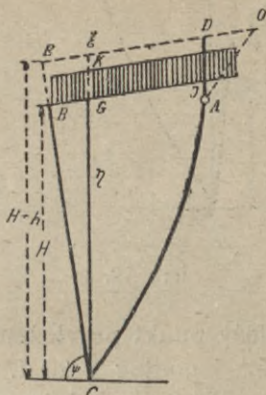
$$GCB = \frac{1}{2} \eta^2 \frac{\cos \psi \cos \varepsilon}{\sin (\psi + \varepsilon)}$$

jakoteż na BG spoczywające obciążenie

$$\eta h \frac{\cos \psi \cos \varepsilon}{\sin (\psi + \varepsilon)}$$

Zatem całkowita powierzchnia odłamu

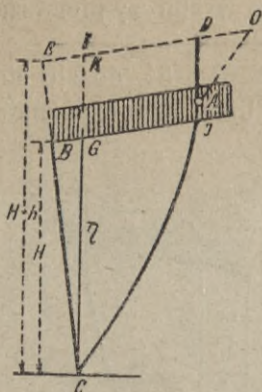
$$75. F_q = (\eta + h - \eta_a)^2 \frac{\cos \mu \cos \varepsilon}{2 \sin (\mu - \varepsilon)} + \frac{1}{2} (\eta + 2h) \frac{\cos \psi \cos \varepsilon}{\sin (\psi + \varepsilon)} \eta$$



Ryc. 41.

Na końcu trzeba η wyrazić przez H podług wz. 73. Parcie $P_q : \gamma = \pi F_q$.

b. Punkt J wypada poniżej A , czyli $h > \eta_a$ (Ryc. 42.). Różnica między tym a poprzednim przypadkiem w tem leży, że odgraniczenie odłamu z prawej strony nie tworzy styczna w A , lecz pionowa styczna w J o długości h . Badanie tego przypadku doprowadza do skomplikowanych wzorów*). Jeżeli się jednak zważy, że w praktycznym zastosowaniu przy niezbyt małych wartościach k wymiar \overline{AJ} jest mały, tak że różnica między długościami \overline{BJ} i \overline{BA} jest znikoma (ryc. 41.), to wyniki w przypadku a. otrzymane można także dla przypadku b. zastosować.



Ryc. 42.

Obrachowanie w przypadkach przedstawionych na ryc. 39. i 40., jeżeli obciążenie leży na poziomej CL , nie trudno z poprzedniego wyprowadzić. We wszystkich przypadkach obciążonego zespołu

należy punkt przyłożenia parcia wyznaczyć podług wskazówek § 59. i podług § 20 d.

Do § 63. należy zauważyć, że ponieważ wpływ obciążenia ku dołowi i w miarę jego oddalenia od krawędzi ściany maleje, to w rzeczywistości jest parcie na ścianę mniejsze.

§ 64. *Różne wpływy.* W §§ 22, 25, 26 i 27 I. rozdziału omawiane wpływy mogą mieć zastosowanie także dla spoiстого materiału, z wyjątkiem tych, dla których opór wytwarza tarcie.

Wpływ poddania się ściany na zmniejszenie parcia będzie tu wogóle większy. Jeżeli w górnej części ściany na wysokość mniejszą lub równą wysokości spójni ruch ściany przekroczy miarę ściśnienia materiału zespołu, to w tej partji będzie parcie

$$*) \text{ 76. Mianowicie } F_q = H^2 \frac{\sin(\psi + \mu)}{2 \sin \psi \sin(\mu - \varepsilon)} \left[\frac{\sin(\psi + \varepsilon)}{\sin \psi} + \frac{2h \cos \varepsilon}{H} - \frac{2\eta_a}{H} \frac{\cos \mu \cos \varepsilon \sin(\psi + \varepsilon)}{\sin(\psi + \mu)} \right]$$

Dla niespoistego materiału jest $\eta_a = 0$, wtedy ten wzór przez $\gamma \pi$ pomnożony zgadza się z wz. 32 a. I. rozdziału, gdy kąty σ i ω zastąpi się kątem μ .

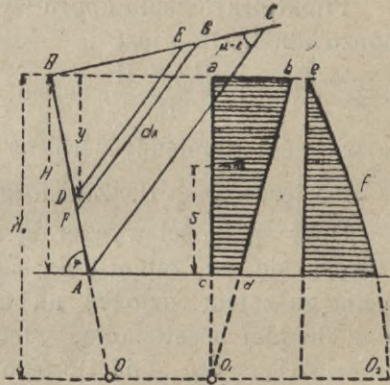
równe zero, przeczco nastąpi nie tylko znaczniejsze zmniejszenie parcia, lecz także wydatniejsza zmiana w położeniu punktu przyłożenia parcia.

Osiadanie usypanego materiału będzie silniejsze i dłużej trwałe. Nareszcie wstrząśnienia będą miały mniejszy wpływ.

§ 65. *Wpływ wody.* W zespole kulowym całkiem wypełnionym masą spoiwą ($\zeta = 0$), miara przepojenia wodą będzie od rodzaju tej masy zawisła. W wielu przypadkach nastąpi tylko pochłonięcie wody na nieznaczną głębokość; wtedy wpływ wody na stosunki równowagi zespołu nie może być znaczny. Jeżeli jednak masa spoiwa jest przepuszczalna, jakoteż w zespole usypanym, należy wpływ wody wyznaczyć podług wskazówek § 23. Obecność wody zmniejszy spójność.

§ 66. *Odpór zespołu.* Odpór, podług definicji podanej w § 24., rozpatrzmy dla tego samego przypadku, gdy ściana może się obracać około poziomej, w jej płaszczyźnie położonej osi.

Jeżeli na ścianę AB (ryc. 43.) działa siła zewnętrzna, to przesunięciu elementu DEFG, nachylonego pod stromym kątem, stawia opór spójnością. Różnica oporów w rzędach DE i CF o dx odległych wynosi $c(\overline{FG} - \overline{DE})$. Z tego przy-



Ryc. 43.

chodzi do działania tylko ta część, która odpowiada stosunkowi $(H_0 - y) : H_0$, w przypuszczeniu, że w punkcie B całkowita spójność została wyzyskana. Otóż

$$\begin{aligned} \overline{FG} - \overline{DE} &= dx \left[\cotg(\mu - \varepsilon) - \cotg(\mu + \psi) \right] = \\ &= dx \frac{\sin(\psi + \varepsilon)}{\sin(\mu - \varepsilon) \sin(\mu + \psi)} \quad *) \end{aligned}$$

Ten wyraz należy przez $c(H_0 - y) : H_0$ pomnożyć, a w celu wyznaczenia oporu na jednostkę wysokości, jeszcze przez $dh =$

*) Kąt przy F jest $180^\circ - (\mu + \psi)$; $\cotg[180^\circ - (\mu + \psi)] = -\cotg(\mu + \psi)$.

$= \frac{dx \sin \psi}{\sin(\mu + \psi)}$ podzielić. Zatem opór na jednostkę wysokości wynosi:

$$77. \quad \frac{\sin(\psi + \varepsilon)}{\sin(\mu - \varepsilon) \sin \psi} \cdot c \frac{H_0 - y}{H_0} = m \frac{H_0 - y}{H_0}$$

Wzór okazuje, że ten opór jest ograniczony linią prostą (b O_1 na rycinie); on wynosi m dla punktu B, zaś zero dla O_1 . Jeżeli te opory zesumujemy na wysokość H , to otrzymamy całkowity opór spójności

$$78. \quad O_k = \frac{1}{2} m H \left(2 - \frac{H}{H_0} \right)$$

Dla zmiennej wartości H przedstawia ten wzór parabolę (ef O_2) z pionową styczną w O_2 . Dla $H_0 = \infty$ (równoległe przesunięcie ściany) jest $O_k = m H$; dla $H = H_0$ jest $O_k = \frac{1}{2} m H$.

Punkt przyłożenia oporu wyznaczmy jako środek ciężkości trapezu $abcd$. Otóż jest

$$79. \quad \overline{cd} = m \frac{H_0 - H}{H_0}, \text{ zatem } s = \frac{H}{3} \cdot \frac{3H_0 - H}{2H_0 - H}$$

Dla wartości H między zero a H_0 jest $s = \frac{1}{2} H$ do $\frac{2}{3} H$; dla $H = \infty$ jest $s = \frac{1}{2} H$. Zatem zawsze $s \geq \frac{1}{2} H$.

Opór spójności wywierają na ścianę wsparte na niej kule, przenosi się on zatem tak samo jak parcie pod kątem δ . Trzeba go zatem rozłożyć na składową w tym kierunku i na drugą do niej prostopadłą, wtedy opór przeniesiony na ścianę wyniesie $O_k \cos(\mu - \delta)$. Do tego należy doliczyć parcie zespołu. Ponieważ przy obrocie ściany cały pryzmat ABC byłby poruszony, to parcie powinno być rachowane jako P_0 dla niespoistego materiału. Zatem wyniesie odpór dla wysokości H :

$$80. \quad O = P_0 + \frac{\sin(\psi + \varepsilon) \cos(\mu - \delta)}{2 \sin(\mu - \varepsilon) \sin \psi} c H \left(2 - \frac{H}{H_0} \right) = P_0 +$$

K . W tym wzorze jest $K = O_k \cos(\mu - \delta)$, gdy O_k z wz. 78. Jeżeli s_p oznacza odstęp punktu przyłożenia parcia, zaś s_k punktu przyłożenia oporu spójności, to dla odporu otrzyma się

$$81. \quad s_0 = \frac{P_0 s_p + K s_k}{P_0 + K}$$

Dla małych wysokości ścian jest $s_0 > \frac{1}{2} H$, dla większych między H i $\frac{1}{3} H$.

K nie jest wprost do H^2 proporcjonalne ani do P_0 , dlatego musi być dla każdej wartości H osobno rachowane. Toteż stosunek odporu do parcia P będzie dla każdej wysokości ściany inny.

Przykład. Dla najprostszego przypadku, gdy ściana jest pionowa a odgraniczenie poziome, jest

$$K = \frac{\cos(\mu - \delta)}{2 \sin \mu} \cdot c H \left(2 - \frac{H}{H_0} \right)$$

Obieramy $H_0 = \infty$, μ dla $\zeta = 0$, $\delta = 14^\circ$, $c = 0.4 \text{ t/m}^2$, $\gamma = 2.0 \text{ t/m}^3$, to otrzymamy $K = 0.2917 H$, $s_k = \frac{1}{2} H$, $s_p = \frac{1}{8} H$, $P_0 = 0.231 H^2$. Wartości dla P wyjmiemy z X. tabeli i mnożymy przez $\gamma = 2$. Tabela:

H =	2	4	6	8	10
$P_0 =$	0.924	3.696	8.316	14.784	23.100
K =	0.583	1.167	1.750	2.334	2.917
O =	1.507	4.863	10.066	17.118	26.017
P =	0.335	2.371	6.255	11.987	19.568
O : P =	4.50	2.05	1.61	1.43	1.33
$s_0 : H =$	0.400	0.373	0.362	0.356	0.352

Ta tabela okazuje szybkie zmniejszenie stosunku odporu do parcia, który już dla $H = 8 \text{ m}$ spada poniżej takiego stosunku dla zespołu niespoistego, wynoszącego średnio 1.5. Stosunek $s : H$ rośnie ze zmniejszającą się wysokością.

Podobną tabelę zestawiamy dla $c = 1.0$, aby wykazać wpływ spójności na wielkość odporu.

H =	2	4	6	8	10
$P_0 =$	jak w powyższej tabeli				
K =	1.458	2.917	4.375	5.835	7.292
O =	2.382	6.613	12.691	20.619	30.392
P =	0	0.922	3.696	8.945	14.786
O : P =	∞	7.17	3.43	2.30	2.05
$s_0 : H =$	0.436	0.407	0.391	0.380	0.373

Stosunek O : P jest znacznie większy niż przedtem.

§ 67. *Zespół o małej spójności.* Parcie zespołu o małej spójności nie wiele się różni od parcia niespoistego zespołu. Tak np. dla $c = 0.1 \text{ t/m}^2$ wynosi parcie dla $H = 2$ do 12 m, 81 do 97% parcia dla $c = 0$. Pod innym względem może być taki materiał nawet słabszy niż bez spójności, mianowicie w tych

przypadkach, w których spójność ma zastąpić tarcie. W szczególności nie jest dopuszczalne, aby opór tarcia sumować z oporem spójności, więc może się zdarzyć, że równowaga zespołu na podstawie da się prędzej utrzymać przy niespoistym zespole. Również odpór będzie mniejszy.

B. MATERJAŁ ZIEMNY.

§ 68. *Wstęp.* W I. rozdziale rozpatrywanie stosunków równowagi zespołu kul nie posiadającego spójności doprowadziło do wyznaczenia skarpy równowagi, największego parcia na ścianę, — parcia w spokoju, — i do wyznaczenia odporu. Studium nad doświadczeniami, choć niedostatecznymi, robionymi z piaskiem, dozwoliło na wnioskowanie, że wyniki otrzymane dla zespołu kul, mogą być zastosowane do materiału ziemnego.

Dla spoistego materiału ziemnego, o ile mi wiadomo, nie istnieją doświadczenia, z wyjątkiem wyznaczenia dla kilka gatunków ziemi wielkości spójności i wysokości spójni. Niektóre wskazówki daje nam natura; pokazuje ona mianowicie, że materiał speisty może wytworzyć zakrzywioną skarpy równowagi, że posiada pewną wysokość spójni, że nareszcie wywiera na ścianę parcie, zmniejszające się z wzrostem spójności. To wszystko.

Teoria jeszcze mniej przyczyniła się do rozwiązania zagadnień dotyczących takich ziem. Wyznaczenie skarpy równowagi, wysokości spójni i podług niej ustalonej paraboli spójności, uskuteczniło na podstawie równoczesnego działania oporów tarcia i spójności, co, mojem zdaniem, nie jest dopuszczalne, a doprowadza niewątpliwie do zbyt korzystnych wyników. Z tego powodu jest wyznaczenie nachylenia elementów zakrzywionej skarpy z paraboli spójności również niedopuszczalne, tem bardziej, że nie uwzględnia się dodatkowego obciążenia ziemią, leżącą nad elementem. Żmudne teoretyczne badania doprowadziły do rysowania po kawałku linii równowagi skarpy, które wyklucza praktyczne zastosowanie*). Również z wielkim nakładem teorii próbowano ustawić wzory dla parcia ziemi, lecz one także dla praktyki nie są przydatne

*) A. Franke. Die natürliche Böschung von Erdarten starken Zusammenhaltes. Organ f. d. F. im E. 1914. Str. 403.

i prawdopodobnie nigdy nie były stosowane*). Nareszcie nie istnieje teoretyczne badanie równowagi wydrżeń podziemnych.

W takim stanie rzeczy nie pozostawało nic innego, jak rozpatrywanie zespołu kul także dla spoiстого materiału. Z góry było mi jasnym, że nie jest dopuszczalne, by wyniki stąd otrzymane wprost zastosować do ziemi, gdyż tylko świadome celu i obszernie doświadczenia mogłyby wytworzyć analogje, na których podstawie możnaby rozwiązać zagadnienia dotyczące ziemi spoiстей. Mimoto spróbujemy zużytkować, o ile się da, wyniki otrzymane przy zespole kul.

§ 69. *Stroma skarpa, wysokość spójni, parcie ziemi.* Zakrzywiona, na granicy równowagi znajdująca się linja skarpy, — linja Z, — była wyprowadzona z jedyne go przyjęcia stałych układów kul AI i AII, które dla piasku okazały się prawdopodobne. Nie jest zatem wykluczone, że takie przyjęcie będzie ważne także dla ziemi spoiстей. To przypuściwszy, jest dalszy wniosek prawdopodobny, że linja równowagi skarpy ziemnej pomieści się między granicznymi dla tych układów linjami Z (ob. ryc. 28.). Wprowadzenie średniego kąta stromego (μ) służyło tylko dla uproszczenia badań. Wysokość spójni była obrachowana li tylko na podstawie spójności; ona nie zgadza się z wartością obrachowaną podług istniejącej teorii.

Parcie na ścianę było w ten sposób rachowane, jak dla niespójnego materiału, gdy prostą stromą zastąpiło się linją Z. Jeżeli doświadczenia wykażą, że linja Z może być do ziemi stosowana, to wątpić należy, żeby się okazały większe różnice między parciem zespołu kulowego a parciem ziemi w spokoju. Jego obrachowanie mogłoby nastąpić podług wskazówek § 56. do 58., albo zapomocą X. tabeli, jakoteż wykreślnej konstrukcji dla ścian pochyłonych i dla wyznaczenia punktu przyłożenia parcia.

§ 70. *Zakończenie.* Brak doświadczeń z materiałem spoiстым należy przypisać trudności ich przeprowadzenia. Już wyznaczenie ciężaru własnego i wielkości spójności nie jest bez zarzutu, skoro się nie wykonuje w stanie pierwotnym z zachowaniem naturalnej wilgoci, a przy silnem zgęszczaniu otrzymuje się za wielkie wyniki. Następnie wyznaczenie wysokości spójni przez skopywanie jest bardzo niepewne.

*) Np. Boussinesq w Ann. d. p. et. ch.

Jeszcze trudniejsze byłoby wykonanie w rodzimej ziemi skarpy równowagi. Dla jej przebiegu możnaby jednak otrzymać wskazówki, jeżeliby inżynierowie konserwujący drogi i koleje nie szczydzili trudu, by przy każdej nadającej się sposobności dokonywali zdjęć łuszczących się skarp przekopów i usuwisk już osiadłych nasypów. Mogliby także notować spostrzeżenia poczynione przy badaniu murów podporowych; one mogłyby się przyczynić do wyjaśnienia sprawy wielkości parcia ziemi.

ROZDZIAŁ III.

Równowaga podziemnych wydrzeń.

A. W ZESPOLE KULOWYM.

§ 71. *Gęstość i poziome rozparcie.* Pomyślmy sobie górotwór utworzony z kul i rozpatrzmy, jakie zachodzą stosunki równowagi w podziemnej odbudowie takiego górotworu. Przedtem omówimy niektóre górom właściwe objawy.

Przedewszystkiem należy zbadać, jakich z głębokością doznają zmian gęstość i poziome rozparcie. Oboje wzajemnie na siebie wpływają. Gęstość dlatego zwiększa się z głębokością, bo ciśnienie góry wywołuje w pionowym kierunku skrócenie kul i sciskanie materiału otaczającego kule. Jeżeliby obie deformacje były wprost proporcjonalne do głębokości, toby gęstość w znacznych głębokościach była bardzo wielką. Jednakże tak nie jest. Pionowa deformacja wywołuje poprzeczną, a ta nie może się swobodnie rozwinąć, gdyż poziome rozparcie stawia jej opór. Z tego powodu także pionowa deformacja nie osiągnie wartości odpowiedniej do głębokości, zaczem wzrost gęstości będzie powolny. Wzrost będzie szybszy, gdy kule są sprężyste, a masa otaczająca jest plastyczna. Co do poziomego rozparcia, to ono również z głębokością wzrasta, ale ponieważ jest również zależne od powyższych deformacji, więc i jego wzrost będzie powolny.

§ 72. *Rozszerzanie się górotworów.* Innym objawem jest rozszerzanie się (płynięcie), które zawsze występuje, skoro jakaś przestrzeń, np. strop sztolni, odbudowana zostaje. Piasek nie posiadający spójności bezzwłocznie wypłynie, naprzód

między ścianami nachylenymi pod stromym kątem (σ), poczem nastąpi dalsze spływanie materiału. Materiał spoisty także wypłynie, jeżeli szerokość odbudowanej przestrzeni jest dostatecznie wielka; jeżeli jednak pewnej granicy nie przekroczy, wtedy tylko wystąpi na zewnątrz, poczem nastanie spokój. Taki co do czasu i wielkości ograniczony ruch okaże każdy spoisty materiał, a jego przyczyną jest wspólne działanie pęcznienia i prostowania, lub tylko prostowania.

Pęcznienie jest objawem zwiększenia objętości, spowodowanego wchłanianiem wilgoci, właściwym materiałom gliniastym. Pochłanianie następuje do pewnej ograniczonej głębokości, poczem zwykle ustaje.

Prostowanie jest działaniem mechanicznym. Kule znajdujące się ponad odbudowaną przestrzenią, wraz z otaczającym je materiałem, znajdowały się w stanie odkształcenia, spowodowanego obciążeniem góry. W chwili odbudowania będą się starały odkształcone masy odzyskać pierwotny im właściwy stan; one będą się prostować. Prostowanie w kierunku pionowym pociągnie za sobą zwężenie rozszerzenia poprzecznego. Prostowanie będzie sięgać w głąb góry tak daleko, jak na to zezwolią wewnętrzne opory. Także na ukośnych przestrzeniach ten objaw się okaże, lecz w tym mniejszym stopniu, im silniejsze nachylenie. Zanik odkształcenia w poziomym kierunku powoduje w skalistym materiale pionowe rysy, które mogą wywołać kruszenie się skały, mianowicie, jeżeli materiał w znacznej głębokości silnie rozgrzany, zostaje raptownie ochłodzony.

Na pionowych odbudowanych powierzchniach następuje prostowanie w kierunku poziomym, gdyż rozparcie, które nie znajduje przeciwdziałania na odbudowanej powierzchni, stara się kule na zewnątrz wysunąć. Jeżeli ten ruch zostanie również wspomógłszy szybkim ochłodzeniem, następuje znany objaw odkakowania płyt skalnych.

Podobnie jak na stropie okaże się działanie prostowania na spądze.

Tak więc objawy pęcznienia i prostowania okażą się na całym obwodzie odbudowanego wydrążenia. Pęcznienie występuje zwykle silniej na spądze, z powodu większego nagromadzenia wilgoci.*)

*) Niezwykle silne objawy pęcznienia na spądze omawia inż. E. Wiesmann w „Denkschrift über den Bau des Hauenstein-Basistunnels“.

§ 73. *Równowaga wydrążeni w zespole.* W ziemi spoistej można wykonać podziemne wydrążenia, które bez podparcia utrzymują się w równowadze. Ich rozmiary zawisły od wielkości spójności. Spróbujmy zbadać warunki, pod którymi takie wydrążenia mogą się utrzymać w zespole kulowym.

Niech OB na ryc. 44. przedstawia wewnątrz góry pionową oś symetrii. Jeżeli się znów przypuści stały układ kul, to się okażą, podobnie jak na 1. rycinie, wewnątrz zespołu rzędy pod stromym kątem nachylone, jak AO, CD. Partja zespołu ograniczona dwoma rzędami znajdzie w OD oddziaływanie takiej samej symetrycznie ułożonej partji. Jeżeli EAF jest linią wydrążenia dla większej, a zresztą dowolnej wysokości zespołu, to na elemencie AC tej linii tylko wtedy będzie istnieć równowaga, jeżeli siła ciężkości będzie zrównoważona wewnętrznymi oporami, wytworzonymi przez spójność. Przyjmijmy, że ciężar G partji zespołu poniżej CD jest zrównoważony spójnością na $CD = z$, to także ciężar elementu CDKJ o szerokości dx będzie zrównoważony, jeżeli na to zezwoli opór o c dz zwiększony. Z pierwszego warunku wynika $G = c z$; drugi warunek doprowadza do równania:

$G + \gamma z dx = (z + dz) c$, albo ponieważ G i $c z$ się znoszą

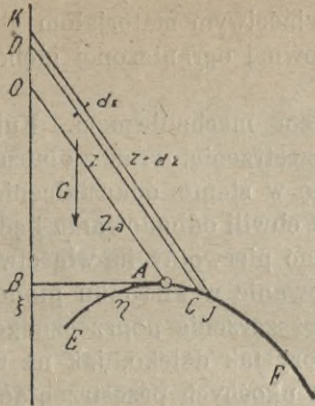
$$82. \quad \frac{dz}{z} = \frac{dx}{k}; \quad \text{lognat } z = \frac{x}{k} + C$$

Jeżeli znów kąt przy J pomiędzy styczną a stromą linią oznaczmy literą α i uwzględnimy, że kąt przy K wynosi $90^\circ - \mu$, to $dz = dx (\cotg \alpha + \text{tang } \mu)$, zatem z uwzględnieniem wz. 82.

$$83. \quad \cotg \alpha + \text{tang } \mu = \frac{dz}{dx} = \frac{z}{k}$$

Dla punktu A niech będzie styczną pozioma, więc $\alpha = \mu$, to gdy długość \overline{AO} oznaczmy przez z_a

$$84. \quad \frac{z_a}{k} = \cotg \mu + \text{tang } \mu = \frac{1}{\sin \mu \cos \mu}$$



Ryc. 44.

Jeżeli punkt początkowy odciętych x obierzemy na z_a , to dla $z = z_a$ jest $x = 0$, a zatem podług wz. 38. jest $C = \lognat z_a$. Z tą wartością opiewa wz. 82.:

$$85. \quad \lognat \frac{z}{z_a} = \frac{x}{k}; \quad x = k \lognat \frac{z}{z_a}; \quad z = z_a \cdot e^{\frac{x}{k}}.$$

Jest to znów równanie linii logorytmicznej, jak dla linii Z , tylko z innymi stałymi i o położeniu o 90° skręconem. Tę linię równowagi nazwiemy linię T . Część jej AE jest nieskończenie długa, osymptotyczna do pionowej linii symetrii.

Wyznamy jeszcze odcięte ξ położone w osi symetrii i prostopadłe do nich rzędne η . Gdy początek dla ξ obierzemy w punkcie O , to dla dowolnego punktu C

$$\xi = z \sin \mu - \frac{x}{\cos \mu}$$

Z ryciny jest widoczne, że $z = \frac{\eta}{\cos \mu}$ i $\frac{z}{z_a} = \frac{\eta}{\eta_a}$, gdy długość \overline{AB} oznaczymy przez η_a . Zatem

$$\xi = \eta \operatorname{tang} \mu - \frac{k}{\cos \mu} \lognat \frac{\eta}{\eta_a}$$

Otóż jest $\eta_a = z_a \cos \mu = k : \sin \mu$, lub $\sin \mu = k : \eta_a$. Wprowadziwszy tę wartość, otrzyma się

$$86. \quad \left\{ \begin{array}{l} \xi = \frac{k}{\cos \mu} \left[\frac{\eta}{\eta_a} - \lognat \frac{\eta}{\eta_a} \right]; \quad \eta = z \cos \mu \\ \xi_a = \frac{k}{\cos \mu}; \quad \eta_a = \frac{k}{\sin \mu} \end{array} \right.$$

Na poziomej AB wisząca i do nieskończoności sięgająca partja zespołu nie może się ustalić. Jeżeli się uwzględni, że odgraniczenie zespołu po tej stronie niema znaczenia dla dalszego badania, a nadto przy wykonaniu wydrążenia otrzyma strop zawsze poziomy element, to wprowadzimy odgraniczenie linii T podług poziomej AB . Przetem powstanie nieznaczne odciążenie zespołu, to znaczy, że w stromych rzędach spójność nie zostanie zupełnie wyzyskana.

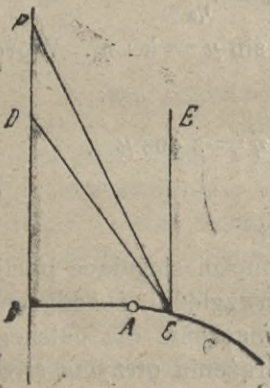
Z powyższych wzorów wynika przedewszystkiem, że wszystkie wartości są zależne li tylko od ilości k . Otóż $k = c : \gamma$. Z głębokością rośnie gęstość, a zatem γ , ale także rośnie wartość c , więc k nie może znacznie z głębokością się zmieniać. Dlatego jest uzasadnione twierdzenie, że linja równo-

wagi T tylko w małym stopniu jest zależna od głębokości. Ponieważ wszystkie ilości są do długości k , charakteryzującej materiał zespołu proporcjonalne, zatem także dla linii T może być normalna linja ustalona. Dla niej obieramy tę samą wartość $k = 0.2$ jak dla linii Z. Obrachowane współrzędne zawiera XII. tabela.

Ta na ryc. 46. w podziałce 1 : 25 przedstawiona linja okazuje jej silne spadanie od punktu A. Kąt, który styczna w dowolnym punkcie do niej poprowadzona zawiera z poziomem, jest mniejszy niż μ , a osiąga tę wartość w nieskończoności.

§ 74. *Równowaga wydrążenia w innych kierunkach.* Poprzecznie rozważania odnosiły się do równowagi przeciw oderwaniu się wzdłuż stromych warstw od osi symetrii spadających, wzdłuż których oderwanie najłatwiej nastąpić może. Teraz trzeba zbadać, jak się ukształtują stosunki równowagi wzdłuż innych kierunków.

Przypatrzmy się kierunkowi pionowemu CE na ryc. 45., to wiemy, że każda kula w tym przekroju jest podpartą innemi



Ryc. 45.

kulami, na które swój ciężar rozdziela. Przeto jest zesunięcie słupa w pionowym kierunku nie łatwo możliwe. To potwierdzają podkopy wykonane w zwiezłym materiale ziemnym, a utrzymujące się bez podparcia.

Dla kierunku CF między pionowym a CD wchodzi w grę oprócz większego oporu spójności z powodu większej długości także ta okoliczność, że oderwanie nie mogłoby gładko nastąpić, bo poszczególne kule musiałyby być wrywane, przezco opór się zwiększy.

Zupełnie inaczej przedstawiają się stosunki dla stromych rzędów ku osi symetrii spadających. W celu badania tego przypadku odgraniczono zespół na ryc. 46. poziomo, w dowolnej wysokości UF. Nie trudno zauważyć, że partja zespołu BCFJA wzdłuż stromych płaszczyzn BC i FJ częściowo lub w całości może się zesunąć, jeżeli spójność na nich działająca nie da dostatecznego oporu. Dla równowagi musi zatem składowa cięż-

przeciw przesunięciu wzdłuż stromych rzędów, jest punktem stałym, tylko od ilości k zależnym.

Od rzędnej JF temu punktowi przynależnej wchodzi w grę dla równowagi przeciw przesunięciu linja Z , która zamyka wydrążenie od J do M . Jest to linja MJL przynależna do odgraniczenia UF , jest zatem zależna od wysokości u . Gdy się jednak zważy, że różnica między styczną do linii Z a stromą linią wynosi dla $u = 10$ m tylko $1^{\circ}51'$, a dla $u = 20$ m $0^{\circ}55'$, to można, popołniając praktycznie dozwolony błąd, przypuścić, że odgraniczenie JM , szczególnie dla większych wysokości u , następuje podług stromej linii, zatem jest także od wysokości u niezależne.

W ten sposób jest stwierdzona możliwość równowagi wydrążenia i jej niezależności od wysokości u obciążającego zespołu. Ryc. 46. okazuje kształt $BAJMJ'$ tej linii równowagi wydrążenia.

Jej wymiary są do wartości k proporcjonalne. Dla normalnej linii T ($k = 0.2$) wynosi szerokość $\overline{JJ'} = 2 \eta_i = 1.20$ m, strzałka linii $BJJ' = \xi_i - \xi_a = 0.302$ m, zaś $BM = \xi_i - \xi_a + \eta_i \operatorname{tang} \mu = 1.48$ m (ob. XII. tabelę). Dla $k = 0.5$, więc dla c około 1 t/m^2 wynoszą te ilości: $JJ' = 3.0$ m, $\xi_i - \xi_a = 0.755$ m, $BM = 3.70$ m.

Wydrążenie znajduje się w granicznym stanie równowagi, więc zmniejszenie spójności, spowodowane zetknięciem z powietrzem, lub też wstrząśnienia tę równowagę naruszają.

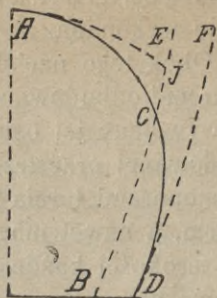
§ 75 *Linja równowagi wydrążenia, a budowla. Parcie boczne.*
Linja równowagi ma zastosowanie do wszystkich materiałów. Dla sztolni o takich wymiarach, że się pomieszczą wewnątrz tej linii, istnieje zatem chwilowa równowaga bez wszelkiego podparcia. Budowle tunelowe o wielkich szerokościach i wysokościach pomieszczają się w obrębie tej linii tylko przy znacznych wartościach spójności. Zresztą wypadnie linja odgraniczająca budowlę po części lub całkowicie poza linię równowagi wydrążenia i przetnie strome rzędy jak JF , $QN...$ na ryc. 46*). Jeżeli to przecięcie nastąpi np. w punkcie P , to odpadnie opór spójności wzdłuż PQ , który musi zastąpić budowla. To stanowi ciśnienie, które jako parcie boczne objawia się na boki budowli. Czem wyżej to przecięcie nastąpi, czem szersza jest

*) Na ryc. 46. brakuje punkt Q na linii JM .

partja, która takimi linjami jak BE i DF na ryc. 47. jest odgraniczona, tem większe boczne parcie. Linje (jak PQ na ryc. 46.), na których należy opór zastąpić, będą tem dłuższe, im stromsza linja Z, zatem czem większa wysokość góry, lecz znów nie proporcjonalnie do wysokości, bo z głębokością rośnie gęstość i spójność.

Ryc. 47. okazuje częściowe otoczenie linji budowli linją równowagi, gdyż tylko linja Z swoją częścią od C poniżej znajduje się wewnątrz linji tunelowej. Zatem na przestrzeni AC istnieje równowaga, zaś partja CD jest narażona na boczne parcie. Jeżeli partja BD posiada większą szerokość, wtedy to parcie rzeczywiście wystąpi; przy mniejszej szerokości mogą wzdłuż linji CE i DF wywołane opory znieść działanie parcia.

Gdy spójność jest jeszcze większa (skała), to i linja BJ wypadnie już poza obrębem linji budowli, a wtedy istnieje równowaga na całym obwodzie budowli.



Ryc. 47.

Ten przypadek zajdzie, gdy szerokość JJ' linji T (ryc. 46.) osiągnie dla jednotorowego tunelu około 10 m, a dla dwutorowego około 13 m, co odpowiada współczynnikom spójności 3 i 4 t/m². Te liczby wskazują także, jaki wpływ ma wymiar budowli na stosunek jej równowagi.

§ 76. *Nacisk gór.* Nacisk wywarty na podpory odbudowanej przestrzeni należy w pierwszej linji przypisać tendencji do pęcznienia i prostowania górotworu. Pęcznienie wymaga pewnego czasu do wyrobienia się, poczem może wyrzucić znaczny nacisk, powodujący nieraz pęknięcie części tymczasowej obudowy. Gdy jednak proces pęcznienia ukończył się, wtedy oprócz wystąpienia materiału na zewnątrz nie okażą się inne objawy*),

*) Przy oglądaniu sztolni kierunkowej pewnego tunelu w Karpatach, znalazłem na dłuższej przestrzeni przeważnie popękane podciągi i palowanie. Personal budowy na to nie zważał, gdyż nie zachodziła obawa niebezpiecznych ruchów. Przebijane górotwory składały się z właściwego Karpatom łupku ilowego, silnie pęczniącego i cienkich warstw piaskowca. Pod silnym naciskiem pęcznienia obudowa się poddała, wtedy mogło pęcznienie swobodnie się rozwijać, poczem nastąpił stan równowagi. Defektna obudowa wystarczyła na zrównoważenie jeszcze pozostałego nacisku gór.

jak długo szerokość odbudowy nie przekroczy pewnego, każdemu górotworowi właściwego wymiaru. Prostowanie będzie wymagało, szczególnie w plastycznym materiale, także pewnego czasu do wytworzenia się. Nacisk przezeń wywarty na jednostkę kwadratową jest przy tej samej głębokości ilością stałą, niezależną od szerokości odbudowy; rośnie jednak z głębokością, lecz nie wprost proporcjonalnie, jak to było omówione w § 72. Zaczem jest nacisk gór wywołany ich prostowaniem tylko nieznacznie zależny od głębokości, w której budowla zostaje wykonana.

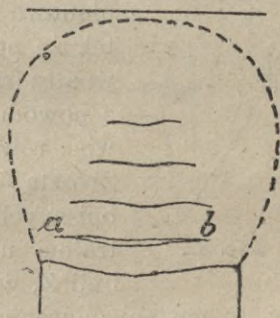
Obok tego nacisku wytwarza się inny, spowodowany ciężarem nad odbudowaną powierzchnią wiszącej partji góry, a zatem wywołany jej osiadaniem; ten nacisk rośnie z szerokością odbudowanej przestrzeni. Tendencja do osiadania jest zmniejszona oporami tarcia lub spójności, wywołanymi poziomem rozparciem, a nawet mogą ją całkowicie zrównoważyć. To nastąpi dla szerokości każdemu górotworowi właściwych. Nawet w niespójnym ale ostrym piasku może na niewielką szerokość nastąpić odbudowa zrównoważona, bez nacisku góry. Ta szerokość rośnie szybko z wzrastającą spójnością, a może otrzymać wielkie wymiary, jak tego dowodzą kopalnie soli w Wieliczce, w Slatinie (Węgry), lub wapienne pieczary.

§ 77. *Wpływ osiadania się podpór.* Pomyślmy sobie wykonany przez górę przekrój poziomą płaszczyzną, to na nią działa ciśnienie całej nad nią położonej góry. Jeżeliby część tej płaszczyzny odbudowano i bezpośrednio podparto absolutnie nie poddającą się obudową, to ona musiałaby przyjąć na nią przypadającą część całego ciężaru. Wtedy przybrałby nacisk w wielkich głębokościach tak olbrzymie rozmiary, że wykonanie budowli ziemnych byłoby niemożliwe. Jednakże w rzeczywistości każde podparcie się podda, przezco powstaje wolne miejsce naprzód dla częściowego wyrobienia prostowania się i zmniejszenie nacisku, ponieważ w tem pierwszym poddaniu się powstanie nacisk tylko z powodu tej, obecnie zmniejszonej tendencji do prostowania.

Prostowanie będzie się starało ku górze rozszerzyć, natrafi jednak na wewnętrzne opory. Nadto może wydłużenie pionowe nastąpić tylko przy równoczesnem zwiężeniu poziomem, które również znajdzie opór w warstwie wyżej położonej. Z tych

powodów będzie prostowanie ku górze się zmniejszać, aż zaniknie na pewnej warstwie, którą nazwiemy warstwą neutralną, gdyż ona wraz z całą górą nad nią położoną nie wywiera wpływu na odbudowaną przestrzeń. Rozluźnienie materiału, spowodowane prostowaniem, będzie oczywiście mniejsze na końcach odbudowanej przestrzeni, z powodu oporu na przylegającej a nie naruszonej górze, będzie się jednak zwiększać w miarę odległości od końców, a wysokość położenia warstwy neutralnej będzie rość w miarę szerokości odbudowy, aż prawdopodobnie osiągnie pewną wysokość od dalszego rozszerzania odbudowy niezależną.

Taki, jedynie z powodu prostowania występujący nacisk, okaże się tylko w obrębie takich szerokości odbudowy, dla których ciężar wiszącej góry został zrównoważony przez wewnętrzne opory. Przy większych szerokościach nastąpi osiada nie górotworu. W miarę poddania się podpór warstwy naprzód się wygną, materiał wystąpi i wyrzuci nacisk na podpory. Długość wygiętych warstw będzie z powodu wewnętrznych oporów ku górze maleć, aż zniknie pod warstwą neutralną. Te objawy okażą się jednakże tylko przy niewielkich szerokościach odbudowy, gdyż przy większych dolna warstwa od górnej się odłączy, tak że powstanie rys a b (ryc. 48.). Przeto utworzy się wolne miejsce na dalsze prostowanie, które się posunie ku górze wraz z warstwą neutralną. Przy dalszem poddawaniu się podpór nie utrzyma się ciężar warstwy ponad a b się znajdującej, która również się odłączy, a warstwa neutralna jeszcze bardziej się odsunie. W dalszym przebiegu nastąpi runięcie całej partji góry, przy raptownem a znacznem zwiększeniu nacisku. Rozdrobiony materiał będzie miał większą objętość, przezco nastąpi po pewnym czasie spokój. Wszystkie opisane objawy nastąpią w ograniczonym obszarze. Jego górnem odgraniczeniem będzie warstwa neutralna, zaś boczne odgraniczenie może być tylko takie, które gwarantuje chwilową równowagę, a więc linjami Z, odpowiadają-



Ryc. 48.

jącami wysokości położenia warstwy neutralnej (ryc. 48.). O ile opisane ruchy i objawy nacisku są zawisłe od głębokości, poczy następujące rozważanie: Widzieliśmy, że z głębokością rośnie powoli tendencja do prostowania, a równocześnie i w tym samym stopniu rośnie rozparcie i wewnętrzny opór, który prostowanie powstrzymuje, tak że wysokość położenia warstwy neutralnej zapewne nie dozna znaczniejszej zmiany. Przeciwnie mogą być w większych głębokościach, przy tej samej szerokości odbudowy, tak wygięcia warstw, jakoteż z tem połączony nacisk gór nawet mniejsze, z powodu zwiększonego rozparcia.

Jeżeli odbudowana powierzchnia jest nachylona, to w miarę pochylania zmniejszy się wpływ pionowego prostowania, aż zniknie na pionowej powierzchni, natomiast zwiększy się nacisk, spowodowany poziomem rozparciem. Na pionową powierzchnię działa tylko to ostatnie. Jeżeli podparcie pionowych boków się podda, to nastąpi parcie kul na zewnątrz, przy równoczesnem zanikaniu poprzecznego odkształcenia. W tym przez to rozluźnionym materiale może także pionowe prostowanie częściowo się rozwinąć, tak że powstaną siły ukośne, pracę kule na zewnątrz (ryc. 49.). Ku wnętrzu będzie rozluźnienie z powodu oporów wewnętrznych również maleć, więc również wytworzy się warstwa neutralna. Zresztą okażą się ruchy podobne do powyżej opisanych. Dolne odgraniczenie warstwy neutralnej uskutechni się prawdopodobnie podług linii Z, gdyż jeżeliby doszło do załamania partji



Ryc. 49.

góry, to nastąpi odgraniczenie tej partji podług dwóch linii Z, podobnie jak na ryc. 47.

Nareszcie i na spądze okaże się odgraniczenie pionowego prostowania warstwą neutralną.

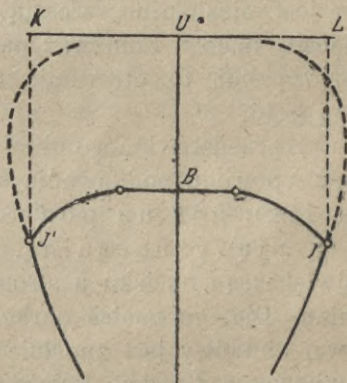
Materiał skalisty. Powyżej opisane objawy dotyczą łagodnych górotworów. Z wzrostem spójności rosną wewnętrzne opory, wzniesienie warstwy neutralnej, jakoteż nacisk będą mniejsze. Już poprzednio skonstatowano, że w skale znaczne szerokości odbudowanej przestrzeni mogą się utrzymać w równowadze, mimo to podlegają objawom powyżej opisanym. Już w § 72. wspomniano o kruszeniu się skały na stropie, tu dodamy, że tendencja do oddzielania się warstw wiszącej skały doprowadza

przy silniejszym oziębieniu do znanego w głęboko położonych tunelach objawu odskakiwania całych płyt. Podobne objawy skonstatowano na bokach tunelu. Również na spądze powstają rysy, a przy silniejszym nacisku spowodowanym bocznem parciem, może nastąpić zgruchotanie warstw tworzących spągę. *)

§ 78. *Tunel.* Jeżeli zastosujemy poprzednie wywody na budowlę tunelową, to okazuje się przede wszystkim, że ona jest dokoła otoczona warstwą neutralną, odgraniczającą partje gór, wywierających nacisk. Jej położenie, jakoteż wywarty nacisk są mniej zależne od głębokości, w której budowla jest wykonana, jak od postępu poddawania się podpór i z tem związanego osiadania gór. Czem więcej warstw się osiada, tem bardziej oddala się warstwa neutralna. Równocześnie wzrasta nacisk, szczególnie u stropu, tak że on znacznie przeważa nacisk na reszcie obwodu budowli, a może być bardzo znaczny i może raptownie się zwiększyć.

Na bokach zachodzi przy silniejszym poddaniu się podpór obawa osiadania góry w ukośnym kierunku, a nawet jej załamania, co będzie przyczyną bardzo znacznych nacisków gór. Jest zatem wskazany staranny nadzór tymczasowej obudowy boków, a w razie spostrzeganych jej ruchów należy w czas, a w każdym razie przed rozpoczęciem murowania tunelu, zaciągnąć sklepienie spągowe.

Czem większa masa góry na budowli ciężąca, tem silniejsze poziome rozparcie, tem mniejszych ruchów wewnątrz góry spodziewać się należy. Natomiast przy mniejszych wysokościach ciężącej góry mogą się wywiązać silniejsze naciski. Na ryc. 50. przedstawia partja JLKJ' dźwigar ziemny, utwierdzony w JL i KJ', który przy poddaniu się podpór musi własny ciężar utrzymać w równowadze.



Ryc. 50.

*) Jako przykład niech posłuży sztolnia równoległa tunelu przez Simplon. Schweiz. Bautg. Brandau, t. LIII. i Rothpletz, t. LXIV.

Otóż istnieje pewna wysokość krytyczna h , przy której dźwigar już nie zdoła utrzymać swego ciężaru i załamie się. Wtedy masa góry wywiera nacisk całym swym ciężarem, co wywoła raptowne wystąpienie linii ciśnienia ze sklepienia. W celu użyczenia pojęcia o wielkości krytycznej wysokości, wykonano pobieżne obrachowanie dla jednotorowego tunelu. Otrzymano dla bardzo słabo spoiściego materiału o $c = 0,4$, następnie dla $c = 1,0$ i $c = 4,0 \text{ t/m}^2$, wartości dla h 35, 16 i 5 m. Przypuściwszy, że tylko środkowa połowa dźwigara się załamie, to powstaje nacisk na sklepienie wynoszący 190, 88 i 44 t na metr bieżący tunelu. Ten ciężar zwiększy się jeszcze przez wsiąkające opady atmosferyczne. W tunelu dwutorowym są wysokości i obciążenia znacznie większe. Powyższe wysokości przytrafiają się nad tunelami stokowymi, a jeszcze mniejsze nad portalami tunelów, które już nieraz raptownie się zawaliły.

§ 79. *Nacisk gór na obwodzie tunelu. Profil tunelu.* Widzieliśmy, że silny nacisk u stropu pochodzi od osiadania gór. Od stropu ku bokom kaloty zmniejsza się osiadanie i działa tylko składową ciężaru zmniejszającą się aż do nasady kaloty. Na tej partji działa przeważnie składowa z nacisku wywołanego pionowem prostowaniem i poziomem rozparciem. Na partji przyczółkowej tunelu działa tylko rozparcie, jeżeli poddanie się podpór jest nieznaczne, zresztą powstaje ukośny, nieraz bardzo znaczny nacisk. Ponieważ nacisk przenosi się na budowlę zapomocą kul, to otrzymuje kąt nachylenia δ do poziomu podług § 14.

Z przedstawionego obrazu ruchów, które powstają wewnątrz góry z powodu poddawania się podpór, wynika, że wielkość nacisku gór na podparcie wydrążenia jest ilością niewyznaczalną. Najbardziej dotyczy to właśnie największego nacisku u stropu, który może doznać raptownych zmian. Dlatego nacisk obrachowany z zachowania się tymczasowej obudowy jest zupełnie niepewny, gdyż odpowiada tylko chwilowemu stanowi. Byłoby zatem niebezpiecznie do tego nacisku stosować wymiary grubości sklepienia, tem bardziej, że po usunięciu krążyn może silniejsze osiadanie sklepienia stosunki nacisku gór zupełnie zmienić.

Dla tych samych przyczyn jest niemożliwe ustalenie przebiegu linii ciśnienia w sklepieniu. Można o niej tyle tylko po-

wiedzieć, że jest najostrzej zakrzywiona u stropu, a na bokach kaloty ma przebieg płaski. Na przyczółkach należy odróżnić pomiędzy słabszym a silniejszym materiałem góry. Słabszy materiał wywiera większy nacisk, a przy silniejszym poddaniu się przyczółka mogą się wytworzyć wielkie naciski, które wywołają silne zakrzywienie linii ciśnienia. Z tego powodu powinna być wewnętrzna linja przyczółka zakrzywiona łukiem o małym promieniu. Jego zewnętrzna linja nie musi być pionowa; przeciwnie, jej zakrzywienie wpłynie korzystnie na przebieg linii ciśnienia i ułatwi jej przeprowadzenie do sklepienia spągowego, tak, że będzie możliwe wytworzenie jednej ciągłej linii ciśnienia w całym sklepieniu. Czem silniejszy materiał, tem bardziej płaska ma być linja przyczółka.

§ 80. *Sklepienie spągowe. Wykonanie sklepienia tunelowego.* Przeznaczeniem sklepienia spągowego jest rozłożenie na większą powierzchnię gruntu całego na sklepieniu ciężącego pionowego nacisku wraz z ciężarem własnym sklepienia, a przeto zapobieżenie grzęźnięciu sklepienia, a następnie zrównoważenie bocznego parcia, działającego na przyczółki. Podczas budowy przyczółka rozłoży się jego ciężar na fundament i na grunt pod sklepieniem spągowym. Taki sam rozkład nastąpi całego ciężaru po usunięciu krążyn, przy równoczesnem wytworzeniu się linii ciśnienia w sklepieniu. Jeżeli jednak wykona się sklepienie spągowe dopiero po wykończeniu budowli i usunięciu krążyn, to całe ciśnienie przeniosło się na fundament przyczółków, szkodliwe wgrzęźnięcie przyczyni się do zwiększenia nacisku gór, a sklepieniu spągowemu przypadnie tylko zadanie zrównoważenia składowej bocznego nacisku. Taka jedynie z boku działająca siła bez reakcji gruntu, nie zdoła wytworzyć w sklepieniu spągowym korzystnej linii ciśnienia, co może spowodować jego pęknięcie.

Nad sklepieniem powinny być większe drewna tymczasowej obudowy usunięte, a wolne miejsce między sklepieniem i górą należy starannie kamieniem wyklinować. Te zasady są ogólnie uznawane, lecz nie zawsze przestrzegane. Jeżeli się kamień silnie zaklinuje, to się zgęszcza bezpośrednio przytykająca warstwa góry; to spowoduje o tyle zmniejszenie wpływu osiadania sklepienia, o ile nastąpiło to zgęszczenie.

B. MATERJAŁ ZIEMNY I SKALISTY.

§ 81. *Równowaga podziemnych budowli.* W §§ 71. do 80. dokonano próby rozpatrywania trudnego problemu równowagi budowli, wykonanych w wnętrzu gór. Dla górotworów urobionych z kul ustawiono możliwe warunki równowagi, które można wprost zastosować do ziemi i skały, ponieważ otrzymane wyniki są zgodne z doświadczeniami uzyskanymi przy budowie tunelów. Do tych należą: sztolnie utrzymujące się bez podparcia w równowadze; istnienie warstwy neutralnej; mała zależność od głębokości, w której budowla zostaje wykonana; powolny wzrost gęstości i poziomego rozparcia z głębokością; stałe lub też raptowne zwiększenie nacisku u stropu i na bokach; zmniejszenie ciśnienia od stropu na boki kaloty; pęcenie i prostowanie spągi; nareszcie niekorzystny wpływ małego wzniesienia góry nad budowlą.

Z powodu trudności ogłaszania drukiem podczas wojny, leżał manuskrypt powyższej pracy przez trzy lata. W tym czasie zapewne niejedna rozprawa o temacie tej pracy się okazała, która mi nie jest znaną, gdyż z powodu wojny zagraniczne druki przeważnie nie były i obecnie jeszcze nie są dostępne. W czasopiśmie, które miałem do dyspozycji, znalazłem tylko dwie rozprawy, mające związek z powyższą pracą; o nich chcę pokrótce wspomnieć.

Pierwsza p. t. „Ueber Bodensenkungen durch Berg- und Tunnelbau“ von V. Pollack, ogłoszona w Zeitschr. d. oesterr. Ing. u. Arch. V. z r. 1919, jako sprawozdanie z doświadczeń Fayol'a, okazuje potwierdzenie wywodów § 77. mojej pracy, szczególnie w rozdziałach „Setzung und Senkung“, jakoteż „Erfahrungen über Bodenbewegungen“, a przytoczone tam ryciny 18, 19, 20 i 81 okazują tak wybitną analogię z ryc. 48. mojej rozprawy, że mogą służyć za dowód też wypowiedzianych w § 77.

Druga okazała się w czasopiśmie „Engineering News-Record, September 30. 1920, p. t. „Old Earth-Pressure Theories, and New Test Results, by Dr. Charles Terzaghi“, z powołaniem na moją pracę w wstępie w przypisku zaznaczoną. Autor twierdzi,

że wykonał lepsze niż dotychczasowe doświadczenia z wielkością i kierunkiem parcia ziemi w s p o k o j u. Jednakże sposobem przeprowadzenia doświadczeń celu zupełnie nie dopiął, gdyż to, co uzyskał, nie jest ani wielkością, ani kierunkiem parcia w spokoju. Stały stosunek 0·42, istniejący rzekomo między parciem a obciążeniem, jest właściwie stosunkiem między poziomem rozparciem a obciążeniem dla małej wysokości piasku 5 cm, a w tem zrozumieniu jest ta liczba cenna. Studium trzech faz, które powstają przy poddawaniu się ściany, jest interesujące, ale z wielkością parcia w spokoju niema nic wspólnego.

Trzecia praca p. Boussinesq, ogłoszona w paryskim Comptes rendus z r. 1917, opiera się całkowicie na tarcie wewnętrznej ziemi, więc w sprawie parcia ziemi w spokoju nie wchodzi w rachubę.

Gdy niniejsza książka była już w druku, znalazłem w czasopiśmie „Zeitschr. des oesterr. Ing. u. Arch. Vereins“ z 16. września 1921 r. pracę tego samego p. Terzaghi nad badaniem piasku i gliny. W 11. ustępie, zatyt. „Erddruck von Sand gegen Stützmauern“, powiada autor, że mur oporowy 5 m wysoki doznaje 7·9 t parcia piaskiem. Podług mojej tabeli V. dla AI, $\zeta = 0·135$ i δ między 5 a 14°, wynosi p około 0·177, zatem parcie $P = p H^2 \gamma = 0·177 \cdot 25 \cdot 0·18 = 7·96$ t, zgodnie z powyższą wartością. Następnie przy poddaniu się tej ściany otrzymał autor $P = 3·0$ t; a gdy na końcu § 24. mojej pracy podany jest dla pewnego stadjum spólczynnik zmniejszenia parcia równy 0·4, więc zmniejszone parcie wynosi $7·96 \times 0·4 = 3·18$ t. Są to wyniki, których obecną teorią parcia uzyskać nie można.

Uwaga. Na ryc. 17. siły Y i Y_p nie są prostopadłe do DE, lecz do tej prostopadłej nachylone pod kątem $\sigma + \omega - 90^\circ$. Prostopadłą do DE składową tych sił otrzyma się, gdy się je pomnoży przez $\cos(\sigma + \omega - 90^\circ)$. Ponieważ tarcie ma być podług tych składowych obliczone, to we wzory na str. 40 do 43 należy wstawić $r \cos(\sigma + \omega - 90^\circ)$ za r. Ta zmiana tylko nieznacznie wpłynie na zmniejszenie wyników z wz. 44. i wartości za W, podanych na str. 43.

I. Tabela.

Gęstość (§ 2.).

Układ	Wzór	$\zeta =$	0·00	0·05	0·10	0·13	0·135	0·15
A	1	h : d	0·8165	0·7953	0·7724	0·7579	0·7554	0·7478
		$\gamma : \gamma_0$	0·7405	0·6896	0·6469	0·6248	0·6213	0·6114
Minimum gęstości dla $\zeta = 0·414$, $\gamma : \gamma_0 = 0·5236$								
B na czterech kulach	3	h : d	0·7071	0·6699	0·6285	0·6012	0·5966	0·5820
		$\gamma : \gamma_0$	0·7405	0·7089	0·6885	0·6819	0·6813	0·6802
Minimum gęstości dla $\zeta = 0·155$, $\gamma : \gamma_0 = 0·6801$								

II. Tabela.

Kąt rozdzielczy τ (§ 4.).

Układ	Wzór	$\zeta =$	0·00	0·05	0·10	0·13	0·135	0·15
A	6	$\text{tang} \tau$	1·4142	1·3114	1·2163	1·1617	1·1528	1·1264
		τ	54°44'	52°40'	50°34'	49°17'	49°04'	48°24'
B na czterech kulach	8	$\text{tang} \tau$	1·0000	0·9023	0·8080	0·7525	0·7433	0·7158
		τ	45°00'	42°04'	38°56'	36°58'	36°37'	35°36'

III. Tabela.

Kąt stromości σ (§ 6.), kąt ω (§ 9.), kąt równowagi skarpy σ_0 (§ 7.).

Układ	Wzór	$\zeta =$	0·00	0·05	0·10	0·13	0·135	0·15	
AI	9	tang σ	1·4142	1·3114	1·2163	1·1617	1·1528	1·1264	= tang τ
		σ	54°44'	52°40'	50°34'	49°17'	49°04'	48°24'	= τ
	20	tang ω	2·8284	2·6230	2·4325	2·3234	2·3056	2·2527	= 2 tang τ
		ω	70°32'	69°08'	67°39'	66°43'	66°33'	66°04'	
	11	tang σ_0	0·5627	0·5246	0·4865	0·4647	0·4611	0·4506	
		σ_0	29°30'	27°41'	25°57'	24°55'	24°46'	24°15'	
AII	9	tang σ	2·8284	2·6230	2·4325	2·3234	2·3056	2·2527	= 2 tang τ
		σ	70°32'	69°08'	67°39'	66°43'	66°33'	66°04'	—
	20	tang ω	1·4142	1·3114	1·2163	1·1617	1·1528	1·1264	= tang τ
		ω	54°44'	52°40'	50°34'	49°17'	49°04'	48°24'	= τ
	11	tang σ_0	0·7071	0·6558	0·6081	0·5809	0·5764	0·5632	
		σ_0	35°16'	33°15'	31°18'	30°09'	29°55'	29°23'	
AIII	9	tang σ	1·6330	1·5144	1·4044	1·3414	1·3311	1·3006	
		σ	58°31'	56°34'	54°33'	53°18'	53°05'	52°27'	
	20	tang ω	2·4495	2·2714	2·1067	2·0121	1·9966	1·9510	
		ω	67°48'	66°15'	64°36'	63°34'	63°24'	62°52'	
	11	tang σ_0	0·8165	0·7572	0·7022	0·6707	0·6655	0·6503	
		σ_0	39°14'	37°08'	35°04'	33°51'	33°39'	33°02'	

IV. Tabela.

$g = G : H^2 \gamma$ (§ 12. wz. 27.), dla $\psi = 90^\circ$, $\varepsilon = 0^\circ$.

Układ $\zeta =$	0·00	0·05	0·10	0·13	0·135	0·15
AI	0·3535	0·3813	0·4112	0·4304	0·4337	0·4440
AII	0·1768	0·1906	0·2056	0·2152	0·2169	0·2220

V. Tabela.

$p = P : H^2 \gamma$ (§ 12. wz. 28.), dla $\psi = 90^\circ$, $\varepsilon = 0^\circ$.

Układ $\zeta =$	0·00	0·05	0·10	0·13	0·135	0·15
$\delta = 0^\circ$						
AI lub AII	0·1250	0·1454	0·1691	0·1852	0·1881	0·1971
$\delta = 5^\circ$						
AI	0·1217	0·1412	0·1637	0·1792	0·1819	0·1904
AII	0·1182	0·1368	0·1583	0·1729	0·1755	0·1835
$\delta = 14^\circ$						
AI	0·1184	0·1368	0·1580	0·1724	0·1750	0·1829
AII	0·1095	0·1259	0·1446	0·1572	0·1594	0·1663
$\delta = 27^\circ$						
AI	0·1189	0·1366	0·1569	0·1705	0·1729	0·1804
AII	0·1031	0·1175	0·1337	0·1445	0·1464	0·1523

VI. Tabela.

(§ 17.)

a =	0·0	0·2	0·4	0·6	0·8	1·0	1·37
AI.							
p_1	0·1698	0·2572	0·2858	0·3289	0·3622	0·3855	0·4026
p_2	0·0423	0·0580	0·0713	0·0820	0·0903	0·0961	0·1004
3 s : H	1·000	1·015	1·192	1·098	1·065	1·032	1·000
AII.							
p_1	0·1546	0·2013	0·2176	—	—	—	—
p_2	0·0386	0·0502	0·0542	—	—	—	—
3 s : H	1·000	1·040	1·000	—	—	—	—

VII. Tabela.

(§ 18.)

a =	0·0	0·2	0·4	0·6	0·739
Al.					
p ₁	0·0913	0·1232	0·1449	0·1567	0·1591
p ₂	0·0228	0·0331	0·0380	0·0395	0·0397
3 s : H	1·000	1·079	1·053	1·012	1·000

VIII. Tabela.

(§ 47.). Współrzędne linii normalnej Z,
dla kąta średniego μ , $k = 0·2$, $\zeta = 0·0$.

η	ξ dla			η	ξ dla		
	tang $\varepsilon = 0·0$	tang $\varepsilon = 0·4$	tang $\varepsilon = 0·8$		tang $\varepsilon = 0·0$	tang $\varepsilon = 0·4$	tang $\varepsilon = 0·8$
0·01	1·756	2·368	3·811	3·5	1·166	1·607	2·633
0·05	1·132	1·524	2·450	4·0	1·363	1·880	3·081
0·1	0·880	1·184	1·901	4·5	1·567	2·161	3·542
0·3	0·541	0·989	1·615	5·0	1·776	2·450	4·015
0·5	0·437	0·852	1·394	6·0	2·206	3·041	4·984
1·0	0·411	0·559	0·905	7·0	2·646	3·648	5·978
1·5	0·500	0·685	1·115	8·0	3·095	4·267	6·990
2·0	0·632	0·874	1·428	9·0	3·550	4·893	8·017
2·5	0·798	1·099	1·798	10·0	4·010	5·527	9·054
3·0	0·976	1·345	2·203	11·0	4·474	6·166	10·099
				12·0	4·942	6·809	11·152
$\eta_a =$	0·797	0·784	0·774				
$\xi_a =$	0·400	0·541	0·874				
$h_k =$	1·594	1·568	1·548				

IX. Tabela.

Parabola $v = u^2 : 2k$ (§ 45.).

u	0·1	0·2	0·3	0·4	0·5	0·6	0·7
v	0 025	0·100	0·225	0·400	0·625	0·900	1·225

X. Tabela.

Parcie na ścianę (§ 59.).

$\eta = H$	tang $\varepsilon = 0\cdot0$				tang $\varepsilon = 0\cdot4$	tang $\varepsilon = 0\cdot8$
	p	s : H	p_0	%	p	p
h_k	0·0288	0·5120	0·1155	25·0	0·0370	0·0520
2	0·0418	0·4990		36·2	0·0553	0·0835
3	0·0623	0·4597		54·0	0·0816	0·1145
4	0·0741	0·4357		64·4	0·0967	0·1353
5	0·0816	0·4187		70·7	0·1063	0·1486
6	0·0869	0·4063		75·2	0·1131	0·1578
7	0·0907	0·3976		78·5	0·1179	0·1645
8	0·0935	0·3903		81·1	0·1217	0·1697
9	0·0960	0·3847		83·1	0·1246	0·1737
10	0·0978	0·3800		84·7	0·1270	0·1770

XI. Tabela.

Do § 53.

φ^0	$\zeta = 0.0, \varepsilon = 0^0$	
	h_k	ξ_k
60	0.741	0.401
75	1.039	0.415
90	1.593	0.523
100	2.455	0.783
110	5.787	2.113

XII. Tabela.

Do § 73. $\zeta = 0.0, \eta_a = 0.2238.$

$\eta =$	η_a	0.25	0.30	0.35	0.40	0.45	0.50	0.55	0.60	0.65
$\xi =$	0.446	0.449	0.467	0.498	0.538	0.585	0.637	0.695	0.755	0.819
$\eta =$	0.7	0.8	0.9	1.0	1.1	1.2	1.3	1.4	1.5	1.6
$\xi =$	0.886	1.025	1.172	1.324	1.481	1.641	1.805	1.971	2.139	2.309

SPIS RZECZY.

	Str.		Str.
Słowo wstępne	3	§ 16. Parcie na ścianę i punkt przyłożenia, przy załamaniu odgraniczeniu zespołu	27
ROZDZIAŁ I.			
Równowaga materiałów sypkich niespoistych.			
Wstęp	4	§ 17. Obrachowanie do § 16. parcia na ścianę i położenia punktu przyłożenia dla pionowej ściany	29
A. ZESPÓŁ KUL.			
§ 1. Układ kul	5	§ 18. To samo dla nachylonej ściany	30
§ 2. Gęstość zespołu	6	§ 19. Ważność wzorów. Najprawdopodobniejsza wartość parcia na ścianę	30
§ 3. Luźne sypanie i zgęszczenie	9	§ 20. Obciążenie zespołu ciężarem skupionym	31
§ 4. Rozkład ciśnień we wnętrzu zespołu	9	§ 21. Obciążenie rozłożone wzdłuż ściany podpierającej	35
§ 5. Skarpa zespołu. Kierunki	10	§ 22. Odciążenie zespołu	38
§ 6. Stroma skarpa. Kąt tarczości σ	11	§ 23. Wpływ wody	38
§ 7. Skarpa równowagi. Kąt σ_0	13	§ 24. Odpór zespołu	39
§ 8. Równowaga zesarpowanego zespołu na jego podstawie	14	§ 25. Wpływ poddania się ściany	43
§ 9. Ciśnienie zespołu kul na ścianę dowolnie nachyloną, przy poziomem odgraniczeniu powierzchni	16	§ 26. Wpływ osiadania	45
§ 10. Parcie na dowolnie pochyłą ścianę, gdy powierzchnia zespołu jest pod kątem ε pochyłą płaszczyzną	20	§ 27. Wpływ wstrząśnień	45
§ 11. Szczególne przypadki. Parcie gdy kąt ψ jest mały	21	§ 28. Wyznaczenie parcia sposobem wykreślnym	45
§ 12. Odmienne pojęcie parcia na ścianę. Równowaga sił. Parcie w spokoju	23	§ 29. Zespół, którego kształt ziarna nie jest kulistym	46
§ 13. Usypywanie zespołu wukosnych warstwach	24	B. SYPKA ZIEMIA.	
§ 14. Kierunek parcia na ścianę	25	§ 30. Doświadczenia	47
§ 15. Położenie punktu przyłożenia parcia	26	§ 31. Doświadczenia Darwina z r. 1877	47
		§ 32. Doświadczenia Gobina	49
		§ 33. Doświadczenia Forchheimer'a	50
		§ 34. Doświadczenia Müller-Bresau'a	52
		§ 35. Rozpatrzenie wyników doświadczeń	55
		§ 36. Porównanie zespołu piaskowego z kulowym	59

	Str.
§ 37. Możliwość wyznaczenia parcia w spokoju przez doświadczenie	64
§ 38. Obrachowanie parcia w spokoju	65
§ 39. Czy parcie w spokoju ma być wprowadzone do obrachowania murów oporowych i przyczółków?	66
§ 40. Obrachowanie wymiarów murów oporowych i przyczółków	66

ROZDZIAŁ II.

Równowaga materiałów sypkich spoistych.

Wstęp	67
-----------------	----

A ZESPÓŁ KUL.

§ 41. Określenie	67
§ 42. Układ i gęstość	68
§ 43. Graniczna powierzchnia równowagi skarpy	68
§ 44. Stan graniczny zespołu przeciw zesunięciu	68
§ 45. Stan graniczny dla przełamania	71
§ 46. Punkt załomu skarpy	72
§ 47. Współrzędne linii Z	73
§ 48. Linje normalne. Wybór układu zespołu	74
§ 49. Wpływ nachylenia powierzchni	75
§ 50. Wprowadzenie średniego kąta stromości μ	76
§ 51. Skarpa naturalna	77
§ 52. Zespół usypany	77
§ 53. Wysokość spójni	78
§ 54. Obciążenie zespołu skutownym ciężarem. Głębokość rozpraszania t. Rozparcie	79
§ 55. Wpływ obciążenia na zespół zeskarpowany podług linii Z	80

	Str.
§ 56. Parcie w spokoju na ścianę	83
§ 57. Wyznaczenie parcia w spokoju przy płaskim odgraniczeniu zespołu, na pionową ścianę	84
§ 58. Parcie jak przedtem, lecz na ścianę dowolnie nachyloną	85
§ 59. Obrachowanie parcia na ścianę	85
§ 60. Punkt przyłożenia parcia na ścianę	86
§ 61. Kierunek parcia	88
§ 62. Parcie na ścian przy zalamanem odgraniczeniu zespołu	88
§ 63. Parcie przy obciążonym zespole	89
§ 64. Różne wpływy	90
§ 65. Wpływ wody	91
§ 66. Odpór zespołu	91
§ 67. Zespół o małej spójności	93

B. MATERJAŁ ZIEMNY.

§ 68. Wstęp	94
§ 69. Stroma skarpa, wysokość spójni, parcie ziemi	95
§ 70. Zakończenie	95

ROZDZIAŁ III.

Równowaga podziemnych wydrążeń.

A. W ZESPOLE KULOWYM.

§ 71. Gęstość i poziome rozparcie	96
§ 72. Rozszerzanie się górotworów	96
§ 73. Równowaga wydrążeń w zespole	98
§ 74. Równowaga wydrążeń w innych kierunkach	100
§ 75. Linja równowagi wydrążenia a budowla. Parcie boczne	102
§ 76. Nacisk gór	103

	Str.		Str.
§ 77. Wpływ osiadania się pod- pór	104	B. MATERJAŁ ZIEMNY I SKALISTY.	
§ 78. Tunel	107	§ 81. Równowaga podziemnych budowli	110
§ 79. Nacisk gór na obwodzi tunelu. Profil tunelu . .	108	Z nowszej literatury	110
§ 80. Sklepienie spągowe	109	Uwaga dotycząca ryc. 17.	111
		Tabele I. do XII.	112—117

S-96

BIBLIOTEKA POLITECHNICZNA
KRAKÓW

S. 61

KSIĘGARNIA NAUKOWA

POLSKIE TWO PED. LWÓW — M. ARCT — WARSZAWA
SKA Z OGR. ODP. LWÓW.

KSIĘGARNIA SORTYMENTOWA

LWÓW — HOTEL GEORGE'A
BIURA ZARZĄDU: LWÓW — ZIMOROWICZA 17.

===== POLECA =====

PRACE TECHNICZNE

DRA Inż. KAROLA SKIBIŃSKIEGO
PROF. HONOR. POLITECHNIKI LWOWSKIEJ

MURY OPOROWE I PODPOROWE Mp. 750
TYCZENIE TRAS Część I. w druku
TYCZENIE TRAS Część II. tabele Mp. 700

Z drukarni i litografji Piller-Neumanna we Lwowie.

Biblioteka Politechniki Krakowskiej



10000231410

Biblioteka Politechniki Krakowskiej



II-1951

Biblioteka Politechniki Krakowskiej



10000231410